



OFICINA ESPAÑOLA DE PATENTES Y MARCAS

ESPAÑA



①Número de publicación: 2 600 080

(51) Int. CI.:

C12N 15/13

(2006.01) A61P 37/06

(2006.01)

C07K 16/24

(2006.01) C07K 16/46

(2006.01)

A61K 47/48

(2006.01) (2006.01)

C07K 19/00 C12N 15/62

(2006.01)

C12N 15/70

C12N 1/21 A61K 39/395 (2006.01) (2006.01)

A61P 19/02

(2006.01)

(12)

TRADUCCIÓN DE PATENTE EUROPEA

T3

(96) Fecha de presentación y número de la solicitud europea:

05.06.2001

E 10010795 (2)

(97) Fecha y número de publicación de la concesión europea:

10.08.2016

EP 2308975

(54) Título: Moléculas de anticuerpo que tienen especificidad por el factor de necrosis tumoral alfa humano y sus usos

(30) Prioridad:

06.06.2000 GB 0013810

(45) Fecha de publicación y mención en BOPI de la traducción de la patente: 07.02.2017

(73) Titular/es:

UCB PHARMA, S.A. (100.0%) Allée de La Recherche 60 1070 Brussels, BE

(72) Inventor/es:

ATHWAL, DILJEET SINGH; **BROWN, DEREK THOMAS;** WEIR, ANDREW NEIL CHARLES; POPPLEWELL, ANDREW GEORGE; **CHAPMAN, ANDREW PAUL y** KING, DAVID JOHN

(74) Agente/Representante:

DE ELZABURU MÁRQUEZ, Alberto

DESCRIPCIÓN

Moléculas de anticuerpo que tienen especificidad por el factor de necrosis tumoral alfa humano y sus usos

5

10

15

25

30

45

50

55

La presente invención se refiere a una molécula de anticuerpo que tiene especificidad por determinantes antigénicos del factor de necrosis tumoral alfa humano (TNFa). La presente invención también se refiere a los usos terapéuticos de la molécula de anticuerpo y a procedimientos para producir la molécula de anticuerpo.

Esta invención se refiere a moléculas de anticuerpo. En una molécula de anticuerpo, hay dos cadenas pesadas y dos cadenas ligeras. Cada cadena pesada y cada cadena ligera tiene en su extremo N-terminal un dominio variable. Cada dominio variable está compuesto de cuatro regiones 5 estructurales (FR) que se alternan con tres regiones determinantes de complementariedad (CDR). Los restos de los dominios variables convencionalmente se numeran de acuerdo con un sistema ideado por Kabat y col. Este sistema se explica en Kabat y col., 1987, en Sequences of Proteins of Immunological Interest, US Departament of Health and Human Services, NIH, USA (en lo sucesivo Kabat y col. (supra)). En la presente memoria descriptiva se usa este sistema de numeración, excepto cuando se indique otra cosa.

Las denominaciones de Kabat de los restos no siempre corresponden directamente con la numeración lineal de los restos de aminoácidos. La secuencia lineal de aminoácidos real puede contener menos aminoácidos o más aminoácidos que en la numeración estricta de Kabat, que corresponden a un acortamiento o a una inserción dentro de un componente estructural, ya sea una porción estructural o una CDR, de la estructura básica del dominio variable. La numeración correcta de Kabat de los restos para un anticuerpo dado puede determinarse por alineación de restos de homología en la secuencia del anticuerpo con una secuencia numerada de Kabat convencional.

Las CDR del dominio variable de la cadena pesada están localizadas en los restos 31-35 (CDRH1), en los restos 50-65 (CDRH2) y en los restos 95-102 (CDRH3) de acuerdo con la numeración de Kabat.

Las CDR del dominio variable de la cadena ligera están localizadas en los restos 24-34 (CDRL1), en los restos 50-56 (CDRL2) y en los restos 89-97 (CDRL3) de acuerdo con la numeración de Kabat.

En la Solicitud de Patente Europea EP-A-0239400, que describe un procedimiento en el que las CDR de un anticuerpo monoclonal de ratón se injertan en las regiones estructurales de los dominios variables de una inmunoglobulina humana por mutagénesis de localización dirigida usando oligonucleótidos largos, se describe la construcción de anticuerpos con CDR injertadas. Las CDR determinan la especificidad de unión de antígenos de los anticuerpos y son secuencias peptídicas relativamente cortas llevadas en las regiones estructurales de los dominios variables.

Los trabajos previos sobre la humanización de anticuerpos monoclonales por injerto de CDR se realizaron sobre anticuerpos monoclonales que reconocían antígenos sintéticos, tales como NP. Sin embargo, Verhoeyen y col. (Science, 239, 1534-1536, 1988) y Riechmann y col. (Nature, 332, 323-324, 1988), respectivamente, han descrito ejemplos en los que un anticuerpo monoclonal de ratón que reconocía una lisozima y un anticuerpo monoclonal de rata que reconocía un antígeno presente sobre las células T humanas se humanizaron por injerto de CDR.

Riechmann y col., descubrieron que la transferencia de las CDR solas (como se definen por Kabat (Kabat y col. (supra) y Wu y col., J. Exp. Med. 132, 211-250, 1970) no era suficiente para proporcionar una actividad de unión a antígenos satisfactoria en el producto en el que se habían injertado las CDR. Se descubrió que tenían que alterarse varios restos estructurales de manera que correspondieran a los de la región estructural donadora. Los criterios propuestos para la selección de los restos estructurales que necesitan alterarse se describen en la Solicitud de Patente Internacional WO 90/07861.

Se han publicado varias revisiones que describen anticuerpos con CDR injertadas, incluyendo Vaughan y col. (Nature Biotechnology, 16, 535-539, 1998).

El TNF α es una citocina pro-inflamatoria que se libera e interacciona con las células del sistema inmune. De esta forma, el TNF α se libera por macrófagos que se han activado por lipopolisacáridos (LPS) de bacterias gram negativas. Como tal, el TNF α parece ser un mediador endógeno de importancia central implicado en el desarrollo y en la patogénesis del choque endotóxico asociado con las sepsis bacterianas. También se ha demostrado que el TNF α está regulado positivamente en varias enfermedades humanas, incluyendo enfermedades crónicas tales como la artritis reumatoide, la enfermedad de Crohn, la colitis ulcerosa y la esclerosis múltiple. Los ratones transgénicos para el TNF α humano producen altos niveles de TNF α constitutivamente y desarrollan una poliartritis espontánea destructiva que se parece a la artritis reumatoide (Kaffer y col., EMBO J., 10 4025-4031, 1991). Por lo tanto, el TNF α se denomina citocina pro-inflamatoria.

En la técnica anterior se han descrito anticuerpos monoclonales contra el TNF α . Meager y col., (Hybridoma, 6 305-311, 1987) describen anticuerpos monoclonales murinos contra el TNF α recombinante. Fendly y col., (Hybridoma, 6, 359-370, 1987) describen el uso de anticuerpos monoclonales murinos contra el TNF α recombinante en la definición de epítopos neutralizadores sobre TNF. Shimamoto y col., (Immunology Letters, 17, 311-318, 1998) describen el uso de anticuerpos monoclonales murinos contra el TNF α y su uso en la prevención del choque endotóxico en ratones.

Además, en la Solicitud de Patente Internacional WO 92/11383 se describen anticuerpos recombinantes, incluyendo anticuerpos con CDR injertadas, específicos para el TNF α . Rankin y col., (British J. Rheumatology, 34, 334-342, 1995) describen el uso de tales anticuerpos con CDR injertadas en el tratamiento de la artritis reumatoide. El documento US-A-5 919 452 describe anticuerpos quiméricos anti-TNF y su uso en el tratamiento de patologías asociadas con la presencia de TNF.

5

10

15

20

25

30

35

40

50

55

Se han propuesto anticuerpos contra el TNF α para la profilaxis y el tratamiento del choque endotóxico (Beutler y col., Science, 234, 470-474, 1985). Bodmer y col. (Critical Care Medicine, 21, S441-S446, 1993) y Wherry y col., (Critical Care Medicine, 21, S436-S440, 1993) discuten el potencial terapéutico de anticuerpos anti-TNF α en el tratamiento del choque séptico. Kirschenbaum y col., (Critical Care Medicine, 26, 1625-1626, 1998) también discuten el uso de anticuerpos anti-TNF α en el tratamiento del choque séptico. La artritis inducida por colágeno puede tratarse eficazmente usando un anticuerpo monoclonal anti-TNF α (Williams y col. (PNAS-USA, 89, 9784-9788, 1992)).

Existen niveles elevados de TNF α tanto en el líquido sinovial como en la sangre periférica de pacientes que sufren artritis reumatoide. Cuando se administran agentes bloqueantes de TNF α a pacientes que sufren artritis reumatoide, estos agentes reducen la inflamación, mejoran los síntomas y retrasan las lesiones de las articulaciones (McKown y col. (Arthritis Rheum, 42, 1204-1208, 1999).

En Feldman y col., (Transplantation Proceedings, 30, 4126-4127, 1998), Adorini y col., (Trends in Immunology Today, 18, 209-211, 1997) y en Feldman y col., (Advances in Immunology, 64, 283-350, 1997) se describe el uso de anticuerpos anti-TNFα en el tratamiento de la artritis reumatoide y de la enfermedad de Crohn. Los anticuerpos contra TNFα usados en tales tratamientos generalmente son anticuerpos quiméricos, tales como los descritos en el documento US-A-5 919 452.

Actualmente están autorizados dos productos bloqueantes de TNFα para el tratamiento de la artritis reumatoide. El primero, denominado etanercept, se comercializa por Immunex Corporation como EnbreITM. Es una proteína de fusión recombinante que comprende dos dominios p75 del receptor de TNF solubles asociados a la porción Fc de una inmunoglobulina humana. El segundo, denominado infliximab, se comercializa por Centocor Corporation como RemicadeTM. Es un anticuerpo quimérico que tiene dominios variables murinos anti-TNFα y dominios constantes de la IgG1 humana.

Las moléculas de anticuerpo anti-TNF α recombinante de la técnica anterior generalmente tienen una menor afinidad por el TNF α que los anticuerpos de los que proceden las regiones variables o CDR, generalmente tienen que producirse en células de mamífero y su fabricación es cara. En Stephens y col., (Immunology, 85, 668-674, 1995), y en los documentos GB-A-2 246 570 y GB-A-2 297 145 se describen anticuerpos anti-TNF α de la técnica anterior. Stephens describe un anticuerpo anti-hTNF α (CPD 571) derivado del anticuerpo murino CB0010 con una vida media de aproximadamente 13 días e inmunogenicidad reducida que es adecuada para terapia de repetición.

Existe la necesidad de una molécula de anticuerpo para tratar enfermedades inflamatorias crónicas que pueda usarse repetidamente y producirse fácil y eficazmente. También existe la necesidad de una molécula de anticuerpo que tenga alta afinidad por el $TNF\alpha$ y baja inmunogenicidad en los seres humanos.

En la presente memoria se decribe una molécula de anticuerpo que tiene especificidad por $\mathsf{TNF}\alpha$, que comprende una cadena pesada en la que el dominio variable comprende una CDR (como se define por Kabat y col., (supra)) que tiene la secuencia indicada como H1 en la Figura 3 (SEC ID NO: 1) para CDRH1, como H2' en la Figura 3 (SEC ID NO: 2) o como H2 en la Figura 3 (SEC ID NO: 7) para CDRH2 o como H3 en la Figura 3 (SEC ID NO: 3) para CDRH3.

La molécula de anticuerpo comprende al menos un CDR seleccionado de H1, H2' o H2 y H3 (SEQ ID NO:1; SEQ ID NO:2 o SEQ ID NO:7 y SEQ ID NO:3) para el dominio variable de cadena pesada. Preferiblemente, la molécula de anticuerpo comprende al menos dos y más preferiblemente todas las tres CDR en el dominio variable de cadena pesada.

En la presente memria se describe una molécula de anticuerpo que tiene especificidad por el TNFα, que comprende una cadena ligera en la que el dominio variable comprende una CDR (como se define por Kabat y col., (supra)) que tiene la secuencia indicada como L1 en la Figura 3 (SEC ID NO: 4) para CDRL1, L2 en la Figura 3 (SEC ID NO: 5) para CDRL2 o L3 en la Figura 3 (SEC ID NO: 6) para CDRL3.

La molécula de anticuerpo comprende al menos una CDR seleccionada de L1, L2 y L3 (SEQ ID NO:4 a SEQ ID NO:6) para el dominio variable de cadena ligera. Preferiblemente, la molécula de anticuerpo comprende al menos dos y más preferiblemente todas las tres CDR en el dominio variable de cadena ligera.

Las moléculas de anticuerpo tienen una cadena ligera complementaria o una cadena pesada complementaria, respectivamente, Los anticuerpos comprenden una cadena pesada en donde el dominio variable comprende una CDR (como se define en Kabat y col., (supra)) que tiene la secuencia dada como H1 en la Figura 3 (SEQ ID NO:1) para CDRH1, como H2' o H2 en la Figura 3 (SEQ ID NO:2 o SEQ ID NO:7) para CDRH2 o como H3 en la Figura 3 (SEQ ID NO:3) para CDRH3 y una cadena ligera en donde el dominio variable comprende una CDR (como definen Kabat et col (supra)) que tiene la secuencia dadda como L1 en la Figura 3 (SEQ ID NO:4) para CDRL1, como L2 en

la Figura 3 (SEQ ID NO:5) para CDRL2 o como L3 en la Figura 3 (SEQ ID NO:6) para CDRL3.

5

30

35

50

55

Las CDR indicadas en la SEC ID NOS: 1 y 3 a 7 y en la Figura 3 mencionadas anteriormente proceden de un anticuerpo monoclonal de ratón hTNF40. Sin embargo, la SEC ID NO: 2 consta una CDR híbrida. La CDR híbrida comprende parte de la CDR2 de la cadena pesada del anticuerpo monoclonal de ratón hTNF40 (SEC ID NO: 7) y parte de la CDR2 de la cadena pesada de una secuencia de región V de la línea germinal del grupo 3 humano.

Las secuencias completas de los dominios variables del anticuerpo hTNF40 de ratón se muestran en la Figura 6 (cadena ligera) (SEC ID NO: 99) y en la Figura 7 (cadena pesada) (SEC ID NO: 100). Este anticuerpo de ratón se denomina más adelante anticuerpo donador.

- En la presente memoria se describe el anticuerpo monoclonal de ratón hTNF40, que tiene las secuencias de los dominios variables de cadena ligera y pesada mostradas en la Figura 6 (SEC ID NO: 99) y en la Figura 7 (SEC ID NO: 100), respectivamente. La región constante de la cadena ligera de hTNF40 es kappa y la región constante de la cadena pesada es IgG2a.
- En la presente memoria se describe una molécula de anticuerpo quimérico de ratón/humano denominada en este documento molécula quimérica de anticuerpo hTNF40. La molécula quimérica del anticuerpo comprende los dominios variables del anticuerpo monoclonal de ratón hTNF40 (SEC ID NOS: 99 y 100) y los dominios constantes humanos. Preferiblemente, la molécula quimérica del anticuerpo hTNF40 comprende el dominio C kappa humano (Hieter y col., Cell, 22, 197-207, 1980; número de acceso del Genebank J00241) en la cadena ligera y los 4 dominios gamma humanos (Flanagan y col., Nature, 300, 709-713, 1982) en la cadena pesada.
- 20 En la presente memoria se describe una molécula de anticuerpo con CDR injertadas. La expresión una molécula de anticuerpo con CDR injertadas, como se usa en este documento, se refiere a una molécula de anticuerpo en la que la cadena pesada y/o ligera contiene una o más CDR (incluyendo, si se desea, una CDR híbrida) procedentes del anticuerpo donador (por ejemplo, un anticuerpo monoclonal murino) injertadas en una estructura de región variable de cadena pesada y/o ligera de un anticuerpo aceptor (por ejemplo, un anticuerpo humano).
- 25 Preferiblemente, tal anticuerpo con CDR injertadas tiene un dominio variable que comprende regiones estructurales aceptoras humanas así como una o más de las CDR del donador mencionadas anteriormente.
 - Cuando se injertan las CDR, puede usarse cualquier estructura apropiada de región variable del aceptor con respecto a la clase/tipo de anticuerpo donador del cual proceden las CDR, incluyendo regiones estructurales de ratón, de primate y humanas. Son ejemplos de estructuras humanas que pueden usarse en la presente invención KOL, NEWM, REI, EU, TUR, TEI, LAY y POM (Kabat y col., (supra)). Por ejemplo, pueden usarse KOL y NEWM para la cadena pesada, puede usarse REI para la cadena ligera y pueden usarse EU, LAY y POM tanto para la cadena pesada como para la cadena ligera. La regiones estructurales preferidas para la cadena ligera son las regiones estructurales humanas del grupo 1 mostradas en la Figura 1 (SEC ID NOS: 83,(85,(87 y 89). La regiones estructurales preferidas para la cadena pesada son las regiones estructurales humanas del grupo 1 y del grupo 3 mostradas en la Figura 2 (SEC ID NOS: 91, 93, 95 y 97 y SEC ID NOS: 106, 107, 108 y 109), respectivamente.
 - En un anticuerpo con CDR injertadas de la presente invención, se prefiere usar como anticuerpo aceptor uno que tenga cadenas que sean homólogas a las cadenas del anticuerpo donador. Las cadenas pesada y ligera del aceptor no necesariamente tienen que proceder del mismo anticuerpo y, si se desea, pueden comprender cadenas compuestas que tienen regiones estructurales derivadas de diferentes cadenas.
- Además, en un anticuerpo con CDR injertadas de la presente invención, las regiones estructurales no necesitan tener exactamente la misma secuencia que las del anticuerpo aceptor. Por ejemplo, ciertos restos inusuales pueden cambiarse a restos que se producen con más frecuencia para esa clase o tipo de cadena aceptora. Como alternativa, pueden cambiarse restos seleccionados en las regiones estructurales del aceptor de forma que correspondan al resto encontrado en la misma posición en el anticuerpo donador. Tales cambios deben mantenerse en el mínimo necesario para recuperar la afinidad del anticuerpo donador. En el documento WO 91/09967 se indica un protocolo para seleccionar los restos de las regiones estructurales del aceptor que pueden necesitar cambiarse.
 - Preferiblemente, en una molécula de anticuerpo con CDR injertadas de la presente invención, si la cadena pesada del aceptor tiene regiones estructurales humanas del grupo 1 (mostradas en la Figura 2) (SEC ID NOS: 91, 93, 95 y 97), entonces las regiones estructurales del aceptor de la cadena pesada comprenden, además de una o más CDR del donador, restos del donador en las posiciones 28, 69 y 71 (de acuerdo con Kabat y col., (supra)).
 - Como alternativa, si la cadena pesada del aceptor tiene regiones estructurales del grupo 1, entonces las regiones estructurales del aceptor de la cadena pesada comprenden, además de una o más CDR del donador, restos del donador en las posiciones 28, 38, 46, 67, 69 y 71 (de acuerdo con Kabat y col., (supra)).
 - Preferiblemente, en una molécula de anticuerpo con CDR injertadas de la presente invención, si la cadena pesada del aceptor tiene regiones estructurales humanas del grupo 3 (mostradas en la Figura 2) (SEC ID NOS: 106, 107,

108 y 109), entonces las regiones estructurales del aceptor de la cadena pesada comprenden, además de una o más CDR del donador, restos del donador en las posiciones 27, 28, 30, 48, 49, 69, 71, 73, 76 y 78 (de acuerdo con Kabat y col., (supra)).

Preferiblemente, en una molécula de anticuerpo con CDR injertadassegún la presente invención, si la cadena ligera del aceptor tiene regiones estructurales humanas del grupo 1 (mostradas en la Figura 1) (SEC ID NOS: 83, 85, 87 y 89), entonces las regiones estructurales del aceptor de la cadena ligera comprenden restos del donador en las posiciones 46 y 60 (de acuerdo con Kabat y col., (supra)).

5

20

25

30

35

40

45

50

55

Los restos del donador son restos del anticuerpo donador, es decir, del anticuerpo del cual procedían originalmente las CDR.

En la presente memoria se describe una molécula completa de anticuerpo que tiene cadenas pesada y ligera de longitud completa; un fragmento de la misma, tal como un fragmento Fab, Fab modificado, Fab', F(ab')2 o Fv; un monómero o dímero de cdena pesada o cadena ligera, un anticuerpo de una sola cadena, por ejemplo, un Fv de una sola cadena en el que los dominios variables de la cadena pesada y de la cadena ligera están unidos por un engarce peptídico. De forma similar, las regiones variables de la cadena pesada y de la cadena ligera pueden combinarse con otros dominios de anticuerpos cuando sea apropiado.

Preferiblemente, la molécula de anticuerpo de la presente invención es un fragmento Fab. Preferiblemente, el fragmento Fab tiene una cadena pesada que tiene la secuencia indicada como SEC ID NO: 111 y una cadena ligera que tiene la secuencia indicada como SEC ID NO: 113. Las secuencias de aminoácidos indicadas en la SEC ID NO: 111 y en la SEC ID NO: 113 preferiblemente se codifican por las secuencias de nucleótidos proporcionadas en la SEC ID NO: 110 y en la SEC ID NO: 112, respectivamente.

Se prefiere que la molécula de anticuerpo de la presente invención sea un fragmento Fab modificado en el que la modificación es la adición al extremo C-terminal de su cadena pesada de uno o más aminoácidos para permitir la unión de una molécula efectora o reportera. Preferiblemente, los aminoácidos adicionales forman una región de bisagra modificada que contiene uno o dos restos de cisteína a los que puede unirse la molécula efectora o reportera. Tal fragmento Fab modificado preferiblemente tiene una cadena pesada que tiene la secuencia proporcionada como SEC ID NO: 115 y la cadena ligera que tiene la secuencia proporcionada como SEC ID NO: 113. La secuencia de aminoácidos proporcionada en la SEC ID NO: 115 preferiblemente se codifica por la secuencia de nucleótidos proporcionada en la SEC ID NO: 114.

Un grupo efector preferido es una molécula polimérica, que puede unirse al fragmento Fab modificado para aumentar su vida media in vivo.

La molécula polimérica, en general, puede ser un polímero sintético o un polímero que se produce de forma natural, por ejemplo, un polialquileno, polialquenileno o polioxialquileno de cadena lineal o ramificada opcionalmente sustituido o un polisacárido ramificado o no ramificado, por ejemplo, un homo- o hetero-polisacárido.

Los sustituyentes opcionales particulares que pueden estar presentes en los polímeros sintéticos mencionados anteriormente incluyen uno más grupos hidroxi, metilo o metoxi. Los ejemplos particulares de polímeros sintéticos incluyen poli(etilenglicol), poli(propilenglicol) o poli(alcohol vinílico) de cadena lineal o ramificada, opcionalmente sustituidos, o derivados de los mismos, especialmente poli(etilenglicol) opcionalmente sustituido tal como metoxipoli(etilenglicol) o derivados del mismo. Los polímeros particulares que se producen de forma natural incluyen lactosa, amilosa, dextrano, glucógeno o derivados de los mismos. Derivados, como se usa en este documento, pretende incluir derivados reactivos, por ejemplo, grupos reactivos selectivos para tiol tales como maleimidas y similares. El grupo reactivo puede unirse al polímero directamente o por medio de un segmento de engarce. Se apreciará que, en algunos casos, el resto de tal grupo formará parte del producto como grupo de unión entre el fragmento de anticuerpo y el polímero.

El tamaño del polímero puede variarse cuando se desee, pero generalmente estará en un intervalo de pesos moleculares medios de 500 Da a 50000 Da, preferiblemente de 5000 a 40000 Da y, más preferiblemente, de 25000 a 40000 Da. El tamaño del polímero puede seleccionarse, en particular, basándose en el uso deseado del producto. De esta forma, por ejemplo, cuando el producto está destinado a dejar la circulación y penetrar en un tejido, por ejemplo, para uso en el tratamiento de un tumor, puede ser ventajoso usar un polímero de bajo peso molecular, por ejemplo, con un peso molecular de aproximadamente 5000 Da. Para aplicaciones en las que el producto permanece en la circulación, puede ser ventajoso usar un polímero de mayor peso molecular, por ejemplo, con un peso molecular en el intervalo de 25000 Da a 40000 Da.

Los polímeros particularmente preferidos incluyen un polímero de polialquileno, tal como poli(etilenglicol) o, especialmente, un metoxipoli(etilenglicol) o un derivado, del mismo, y especialmente con un peso molecular en el intervalo de aproximadamente 25000 Da a aproximadamente 40000 Da.

Cada molécula de polímero unida al fragmento de anticuerpo modificado puede unirse covalentemente al átomo de azufre de un resto de cisteína localizado en el fragmento. El enlace covalente generalmente será un enlace disulfuro o, en particular, un enlace de sulfuro-carbono.

Cuando se desee, el fragmento de anticuerpo puede tener una o más moléculas efectoras o reporteras unidas al mismo. Las moléculas efectoras o reporteras pueden unirse al fragmento de anticuerpo a través de cualquier grupo funcional de aminoácido terminal o de cadena lateral disponible localizado en el fragmento, por ejemplo, cualquier grupo amino, imino, hidroxilo o carboxilo libres.

En la preparación de los fragmentos de anticuerpo modificados con polímeros como se han descrito anteriormente, puede usarse un polímero activado como material de partida. El polímero activado puede ser cualquier polímero que contenga un grupo reactivo con tiol tal como un ácido o éster □ -halocarboxílico, por ejemplo, yodoacetamida, una imida, por ejemplo, maleimida, una vinilsulfona o un disulfuro. Tales materiales de partida pueden obtenerse en el mercado (por ejemplo, en Shearwater Polymers Inc., Huntsville, AL, USA) o pueden prepararse a partir de materiales de partida disponibles en el mercado usando procedimientos guímicos convencionales.

15

20

25

30

35

40

45

50

55

Por lo que respecta a la unión de restos de poli(etilenglicol) (PEG), se hace referencia a Poli(etilenglicol) Chemistry, Biotechnical y Biomedical Applications, 1992, J. Milton Harris (ed), Plenum Press, Nueva York, Poli(etilenglicol) Chemistry and Biological Applications, 1997, J. Milton Harris y S. Zalipsky (eds), American Chemical Society, Washington DC y Bioconjugation Protein Coupling Techniques for the Biomedical Sciences, 1998, M. Aslam y A. Dent, Grove Publishers, Nueva York.

Cuando se desea obtener un fragmento de anticuerpo unido a una molécula efectora o reportera, éste puede prepararse por procedimientos químicos convencionales o de ADN recombinante en los que el fragmento de anticuerpo se une directamente o por medio de un agente de acoplamiento a la molécula efectora o reportera antes o después de la reacción con el polímero activado según sea apropiado. Los procedimientos químicos particulares incluyen, por ejemplo, los descritos en los documentos WO 93/06231, WO 92/22583, WO 89/00195 y WO 89/01476. Como alternativa, cuando la molécula efectora o reportera en una proteína o polipéptido, la unión puede conseguirse usando procedimientos de ADN recombinante, por ejemplo, como los descritos en los documentos WO 86/01533 y EP-A-0392745.

Preferiblemente, el fragmento Fab modificado de la presente invención está PEGilado (es decir, tiene PEG (poli(etilenglicol)) unido covalentemente) de acuerdo con el procedimiento descrito en el documento EP-A-0948544. Preferiblemente, la molécula de anticuerpo de la presente invención es un fragmento Fab modificado PEGilado como se muestra en la Figura 13. Como se muestra en la Figura 13, el fragmento Fab modificado tiene un grupo maleimida unido covalentemente a un solo grupo tiol en una región de bisagra modificada. Al grupo maleimida está unido covalentemente un resto de lisina. A cada uno de los grupos amina del resto de lisina está unido un polímero de metoxipoli(etilenglicol) que tiene un peso molecular de aproximadamente 20.000 Da. Por lo tanto, el peso molecular total de la molécula efectora entera es de aproximadamente 40.000 Da.

Preferiblemente, en el compuesto mostrado en la Figura 13, la cadena pesada de la parte de anticuerpo tiene la secuencia proporcionada como la SEC ID NO: 115 y la cadena ligera tiene la secuencia proporcionada como SEC ID NO: 113. Este compuesto se denomina en este documento CDP870.

Los dominios de la región constante de la molécula de anticuerpo de la presente invención, si están presentes, pueden seleccionarse en relación con la función propuesta de la molécula de anticuerpo y, en particular, las funciones del efector que pueden requerirse. Por ejemplo, los dominios de la región constante pueden ser dominios de IgA, IgD, IgE, IgG o IgM humana. En particular, pueden usarse dominios de la región constante de la IgG humana, especialmente de los isotipos IgG1 e IgG3, cuando la molécula de anticuerpo está destinada para usos terapéuticos y se requieren funciones del efector del anticuerpo. Como alternativa, pueden usarse isotipos IgG2 e IgG4 cuando la molécula de anticuerpo está destinada para fines terapéuticos y no se requieren funciones del efector del anticuerpo, por ejemplo, simplemente para bloquear la actividad del TNFα.

Además, la molécula de anticuerpo de la presente invención puede tener un efector o una molécula reportera unida a la misma. Por ejemplo, puede tener un macrociclo para quelar un átomo de metal pesado, o una toxina, tal como ricina, unida al mismo por una estructura de unión covalente. Como alternativa, pueden usarse procedimientos de tecnología de ADN recombinante para producir una molécula de anticuerpo en la que el fragmento Fc (dominios CH2, CH3 y de bisagra), los dominios CH2 y CH3 o el dominio CH3 de una molécula de inmunoglobulina completa se hayan reemplazado, o tengan unido por medio de un enlace peptídico, una proteína no inmunoglobulina funcional, tal como una enzima o una molécula de toxina.

Preferiblemente, la molécula de anticuerpo de la presente invención tiene una afinidad de unión de al menos 0,85x10-10 M, más preferiblemente de al menos 0,75x10-10 M y, aún más preferiblemente, de al menos 0,5x10-10 M. (Debe mencionarse que la molécula de anticuerpo humanizado preferida de la presente invención, como se describe más adelante, tiene una afinidad de aproximadamente 0,5x10-10 M, que es mejor que la afinidad del anticuerpo monoclonal murino del que procedía. El anticuerpo murino tiene una afinidad de aproximadamente 0,85x10-10 M.)

Preferiblemente, la molécula de anticuerpo de la presente invención comprende el dominio variable de la cadena ligera hTNF40-gL1 (SEC ID NO: 8) y el dominio variable de la cadena pesada gh3hTNF40.4 (SEC ID NO: 11). Las secuencias de los dominios variables de estas cadenas ligera y pesada se muestran en las Figuras 8 y 11,

respectivamente.

5

10

15

20

30

35

40

45

50

En la presente memoria se describen variantes de la molécula de anticuerpo de la presente invención, que tienen mejor afinidad por TNFα. Tales variantes pueden obtenerse por varios protocolos de maduración de afinidad incluyendo la mutación de las CDR (Yang y col., J. Mol. Biol., 254, 392-403, 1995), redistribución de cadena (Marks y col., Bio/Technology, 10, 779-783, 1992), uso de cepas mutantes de E. coli (Low y col., J. Mol. Biol., 250, 359-368, 1996), redistribución del ADN (Patten y col., Curr. Opin. Biotechnol., 8, 724-733, 1997), presentación de fagos (Thompson y col., J. Mol. Biol., 256, 77-88, 1996) y PCR sexual (Crameri y col., Nature, 391, 288-291, 1998). Vaughan y col. (supra) discuten estos procedimientos de maduración de afinidad.

En la presente memoria se describe una secuencia de ADN que codifica las cadenas pesada y/o ligera de la molécula de anticuerpo de la presente invención.

Preferiblemente, la secuencia de ADN codifica la cadena pesada o ligera de la molécula de anticuerpo de la presente invención.

En la presente memoria se describe una realización en donde la secuencia de ADN codifica una cadena ligera y comprende la secuencia mostrada en la SEC ID NO: 8 (hTNF40-gL1) o SEC ID NO: 9 (hTNF40-gL2) un equivalente degenerado de las mismas.

En la presente memoria se describe una realización, en donde la secuencia de ADN codifica una cadena pesada y comprende la secuencia mostrada en la SEC ID NO: 10 (ghlhTNF40.4) o SEC ID NO: 11 (gh3hTNF40.4) o un equivalente degenerado de las mismas.

La secuencia de ADN puede comprender ADN sintético, por ejemplo, producido por procesamiento químico, ADNc, ADN genómico o cualquier combinación de los mismos.

En la presente memoria se describe un vector de clonación o expresión que comprende una o más secuencias de ADN de la presente invención. Preferiblemente, el vector de clonación o expresión comprende dos secuencias de ADN que codifican la cadena ligera y la cadena pesada de la molécula de anticuerpo de la presente invención, respectivamente.

En la presente memoria se describe un vector de expresión en E. coli que comprende una secuencia de ADN de la presente invención. Preferiblemente, el vector de expresión es pTTO(CDP870) como se muestra esquemáticamente en la Figura 22.

En la presente memoria se describe el vector pADNbEng-G1 como se muestra en la Figura 19. Los procedimientos generales por medio de los cuales pueden construirse los vectores, los procedimientos de transfección y los procedimientos de cultivo son bien conocidos para los especialistas en la técnica. A este respecto, se hace referencia a Current Protocols in Molecular Biology, 1999, F.M. Ausubel (ed), Wiley Interscience, Nueva York, y el Manual de Maniatis producido por Cold Spring Harbor Publishing.

Las secuencias de ADN que codifican la molécula de anticuerpo de la presente invención pueden obtenerse por procedimientos bien conocidos para los especialistas en la técnica. Por ejemplo, las secuencias de ADN que codifican para parte o toda la cadena pesada y ligera del anticuerpo pueden sintetizárse cuando se desee a partir de las secuencias de ADN determinadas o basándose en las secuencias de aminoácidos correspondientes.

El ADN que codifica para secuencias estructurales aceptoras se puede adquirir fácilmente por los especialistas en la técnica y puede sintetizarse fácilmente basándose en sus secuencias de aminoácidos conocidas.

Pueden usarse técnicas convencionales de biología molecular para preparar secuencias de ADN que codifican para la molécula de anticuerpo de la presente invención. Las secuencias de ADN deseadas pueden sintetizarse completamente o en parte usando técnicas de síntesis de oligonucleótidos. Cuando sea apropiado, pueden usarse técnicas de mutagénesis de localización dirigida y técnicas de reacción de cadena de polimerasa (PCR).

Para la expresión de las secuencias de ADN que codifican la molécula de anticuerpo de la presente invención puede usarse cualquier sistema de célula huésped/vector adecuado. Pueden usarse bacterias, por ejemplo, E. coli, y otros sistemas microbianos, en parte, para la expresión de fragmentos de anticuerpo tales como fragmentos Fab y F(ab')2, y especialmente fragmentos Fv y fragmentos de anticuerpo de una sola cadena, por ejemplo, Fv de una sola cadena. Pueden usarse sistemas de expresión de células huésped eucariotas, por ejemplo, de mamífero, para la producción de moléculas de anticuerpo mayores, incluyendo moléculas de anticuerpo completas. Las células huésped de mamífero adecuadas incluyen CHO, células de mieloma o células de hibridoma.

En la presente memoria se describe un procedimiento para la producción de una molécula de anticuerpo de acuerdo con la presente invención, que comprende cultivar una célula huésped que comprende un vector de la presente invención en condiciones adecuadas para producir la expresión de una proteína a partir del ADN que codifica la molécula de anticuerpo de la presente invención, y aislar la molécula de anticuerpo.

Preferiblemente el procedimiento para la producción de la molécula de anticuerpo de la presente invención

comprende cultivar células E. coli que comprenden un vector de expresión de E. coli que comprende la secuencia de ADN de la presente invención en condiciones adecuadas para producir la expresión de la proteína a partir de la secuencia de ADN, y aislar la molécula de anticuerpo. La molécula de anticuerpo puede secretarse de la célula o dirigirse al periplasma por medio de secuencias señal adecuadas. Como alternativa, las moléculas de anticuerpo pueden acumularse dentro del citoplasma de la célula. Preferiblemente, la molécula de anticuerpo se dirige al periplasma. Dependiendo de la molécula de anticuerpo que se está produciendo y del procedimiento usado, es deseable permitir que las moléculas de anticuerpo se plieguen y adopten una conformación funcional. Los procedimientos para permitir que las moléculas de anticuerpo se plieguen son bien conocidos para los especialistas en la técnica.

5

20

25

30

35

40

45

50

55

La molécula de anticuerpo puede comprender sólo un polipéptido de cadena pesada o de cadena ligera, en cuyo caso sólo necesita usarse una secuencia codificante de polipéptido de cadena pesada o de cadena ligera para transfectar a las células huésped. Para la producción de productos que comprenden cadenas tanto pesadas como ligeras, la línea celular puede transfectarse con dos vectores, codificando un primer vector un polipéptido de cadena ligera y codificando un segundo vector un polipéptido de cadena pesada. Como alternativa, puede usarse un solo vector, incluyendo el vector secuencias que codifican los polipéptidos de cadena ligera y de cadena pesada.

La presente invención también proporciona una composición terapéutica o de diagnóstico que comprende una molécula de anticuerpo de la presente invención en combinación con un excipiente, diluyente o vehículo farmacéuticamente aceptable.

En la presente memoria se describe también un procedimiento para la preparación de una composición terapéutica o de diagnóstico que comprende mezclar la molécula de anticuerpo de la presente invención junto con un excipiente, diluyente o vehículo farmacéuticamente aceptable.

La molécula de anticuerpo puede ser el único ingrediente activo en la composición terapéutica o de diagnóstico o puede estar acompañada por otros ingredientes activos que incluyen otros ingredientes de anticuerpos, por ejemplo, anticuerpos anti-células T, anti-IFN o anti-LPS, o ingredientes que no son anticuerpos, tales como xantinas.

Las composiciones farmacéuticas preferiblemente deben comprender una cantidad terapéuticamente eficaz del anticuerpo de la invención. La expresión cantidad terapéuticamente eficaz, como se usa en este documento, se refiere a una cantidad de un agente terapéutico necesaria para tratar, mejorar o prevenir una enfermedad o afección diana, o para presentar un efecto terapéutico o preventivo detectable. Para cualquier anticuerpo, la dosis terapéuticamente eficaz puede estimarse inicialmente en ensayos de cultivo de células o en modelos animales, normalmente en roedores, conejos, perros, cerdos o primates. El modelo animal también puede usarse para determinar el intervalo de concentraciones apropiado y la vía de administración. Después, tal información puede usarse para determinar las dosis y las vías de administración útiles en los seres humanos.

La cantidad eficaz precisa para un ser humano dependerá de la gravedad del estado de enfermedad, de la salud general del sujeto, de la edad, del peso y del sexo del sujeto, de la dieta, del tiempo y la frecuencia de administración, de la combinación de fármacos, de las sensibilidades de reacción y de la tolerancia/respuesta a la terapia. Esta cantidad puede determinarse por medio de una experimentación rutinaria y está dentro del criterio del médico. Generalmente, una dosis eficaz será de 0,01 mg/kg a 50 mg/kg, preferiblemente de 0,1 mg/kg a 20 mg/kg, y, más preferiblemente, de aproximadamente 15 mg/kg. Como se muestra en los Ejemplos presentados a continuación, se han usado dosis de 1, 5 y 20 mg/kg para tratar pacientes que sufren artritis reumatoide.

Las composiciones pueden administrarse individualmente a un paciente o pueden administrarse en combinación con otros agentes, fármacos u hormonas.

La dosis a la que se administra la molécula de anticuerpo de la presente invención depende de la naturaleza de la afección a tratar, del grado de elevación en el que esté o se considere que está el nivel de $\mathsf{TNF}\alpha$ a neutralizar con respecto al nivel deseable y de si la molécula de anticuerpo se usa profilácticamente o para tratar una afección existente.

De esta forma, por ejemplo, cuando el producto es para el tratamiento o profilaxis de una enfermedad inflamatoria crónica, tal como la artritis reumatoide, las dosis adecuadas de la molécula de anticuerpo de la presente invención están en el intervalo comprendido entre 0,5 y 50 mg/kg, más preferiblemente entre 1 y 20 mg/kg y aún más preferiblemente es de aproximadamente 15 mg/kg. La frecuencia de dosificación dependerá de la vida media de la molécula de anticuerpo y de la duración de su efecto.

Si la molécula de anticuerpo tiene una vida media corta (por ejemplo, de 2 a 10 horas), puede ser necesario proporcionar una o más dosis al día. Como alternativa, si la molécula de anticuerpo tiene una vida media larga (por ejemplo, de 2 a 15 días), puede ser necesario administrar sólo una dosis una vez al día, a la semana o incluso una vez cada 1 ó 2 meses.

Una composición farmacéutica también puede contener un vehículo farmacéuticamente aceptable para la administración del anticuerpo. El vehículo no debe inducir por sí mismo la producción de anticuerpos perjudiciales para el receptor individual de la composición y no debe ser tóxico. Los vehículos adecuados pueden ser

macromoléculas grandes que se metabolicen lentamente tales como proteínas, polipéptidos, liposomas, polisacáridos, poli(ácidos lácticos), poli (ácidos glicólicos), aminoácidos poliméricos, copolímeros de aminoácidos y partículas víricas inactivas.

Pueden usarse sales farmacéuticamente aceptables, por ejemplo, sales de ácidos minerales tales como clorhidratos, bromhidratos, fosfatos y sulfatos, o sales de ácidos orgánicos tales como acetatos, propionatos, malonatos y benzoatos.

5

10

15

20

25

30

35

40

45

50

55

Los vehículos farmacéuticamente aceptables en las composiciones terapéuticas también pueden contener líquidos tales como agua, solución salina, glicerol y etanol. Además, en tales composiciones pueden estar presentes sustancias auxiliares tales como agentes humectantes o emulsionantes o sustancias tamponantes del pH. Tales vehículos permiten que las composiciones farmacéuticas se formulen como comprimidos, píldoras, grageas, cápsulas, líquidos, geles, jarabes, pastas y suspensiones para ingestión por el paciente.

Las formas preferidas para la administración incluyen formas adecuadas para la administración parenteral, por ejemplo, por inyección o infusión, por ejemplo, por inyección en embolada o infusión continua. Cuando el producto es para inyección o infusión, puede tomar la forma de una suspensión, solución o emulsión en un vehículo aceitoso o acuoso, y puede contener agentes de formulación tales como agentes de suspensión, conservantes, estabilizantes y/o dispersantes. Como alternativa, la molécula de anticuerpo puede estar en forma seca para reconstituirse antes del uso con un líquido estéril apropiado.

Una vez formuladas, las composiciones de la invención pueden administrarse directamente al sujeto. Los sujetos a tratar pueden ser animales. Sin embargo, se prefiere que las composiciones se adapten para administrarse a los seres humanos.

Las composiciones farmacéuticas de esta invención pueden administrarse por cualquier número de vías incluyendo, pero sin limitación, la vía oral, intravenosa, intramuscular, intraarterial, intramedular, intratecal, intraventricular, transdérmica, transcutánea (por ejemplo, véase el documento WO 98/20734), subcutánea, intraperitoneal, intranasal, entérica, tópica, sublingual, intravaginal o rectal. También pueden usarse hipopulverizadores para administrar las composiciones farmacéuticas de la invención. Típicamente, las composiciones terapéuticas pueden prepararse como inyectables, como soluciones líquidas o suspensiones. También pueden prepararse formas sólidas adecuadas para la solución o suspensión en vehículos líquidos antes de la inyección.

La liberación directa de las composiciones generalmente se realizará por inyección, por vía subcutánea, intraperitoneal, intravenosa o intramuscular, o por liberación en el espacio intersticial de un tejido. Las composiciones también pueden administrarse en una lesión. El tratamiento de dosificación puede ser un programa de una sola dosificación o un programa de dosificación múltiple.

Se apreciará que ingrediente activo en la composición será una molécula de anticuerpo. Como tal, será susceptible de la degradación en el tracto gastrointestinal. De esta forma, si la composición se va a administrar por una vía usando el tracto gastrointestinal, será necesario que la composición contenga agentes que protejan al anticuerpo de la degradación, pero que libere el anticuerpo una vez que se haya absorbido del tracto gastrointestinal.

En Remington's Pharmaceutical Sciences (Mack Publishing Company, N.J. 1991) está disponible una discusión minuciosa de vehículos farmacéuticamente aceptables.

También se prevé que el anticuerpo de la presente invención pueda administrarse por medio del uso de terapia génica. Para conseguir esto, se introducen secuencias de ADN que codifican las cadenas pesada y ligera de la molécula de anticuerpo bajo el control de los componentes apropiados de ADN en un paciente, de tal forma que las cadenas de anticuerpo se expresen a partir de las secuencias de ADN y se monten in situ.

La presente invención también proporciona la molécula de anticuerpo de la presente invención para uso en el tratamiento de una enfermedad mediada por $\mathsf{TNF}\alpha$.

La presente invención además proporciona el uso de la molécula de anticuerpo según la presente invención en la fabricación de un medicamente para el tratamiento de una enfermedad mediada por TNFα.

La molécula de anticuerpo de la presente invención puede utilizarse en cualquier terapia en la que se desee reducir el nivel de TNFα biológicamente activo presente en el cuerpo humano o animal. El TNFα puede ser circulante en el cuerpo o puede estar presente en cualquier nivel indeseablemente alto localizado en un sitio particular del cuerpo.

Por ejemplo, los niveles elevados de TNFα están implicados en trastornos inmunes e inmunorreguladores agudos y crónicos, infecciones que incluyen el choque séptico, endotóxico y cardiovascular, trastornos inflamatorios, enfermedades neurodegenerativas, enfermedades malignas y hepatitis inducida por alcohol. En el documento US-A-5 919 452 se indican detalles de los numerosos trastornos asociados con los niveles elevados de TNFα. La molécula de anticuerpo de la presente invención puede utilizarse en la terapia de enfermedades mediadas por TNFα. Las enfermedades particularmente relevantes que pueden tratarse por la molécula de anticuerpo de la presente invención incluyen sepsis, insuficiencia cardíaca congestiva, choque séptico o endotóxico, caquexia, síndrome de

insuficiencia respiratoria en adultos, SIDA, alergias, psoriasis, TB, trastornos inflamatorios de huesos, trastornos de la coagulación sanguínea, quemaduras, episodios de rechazo después de un trasplante de órganos o tejidos, enfermedad de Crohn y enfermedades autoinmunes, tales como tiroiditis, artritis reumatoide y osteoartritis.

Además, la molécula de anticuerpo o composición puede usarse: para reducir los efectos secundarios asociados con la generación de TNFα durante una terapia neoplástica; para eliminar o reducir los síntomas relacionados con el choque asociados con el tratamiento o prevención del rechazo de un injerto por medio del uso de un anticuerpo antilinfocitos; o para el tratamiento de una insuficiencia de múltiples órganos.

5

25

30

35

45

50

La molécula de anticuerpo de la presente invención preferiblemente se usa para el tratamiento de la artritis reumatoide o de la osteoartritis.

La presente invención también proporciona un procedimiento para tratar a los seres humanos a sujetos animales que sufren o que están en riesgo de padecer un trastorno mediado por TNFα, comprendiendo el procedimiento administrar al sujeto una cantidad eficaz de una molécula de anticuerpo de la presente invención.

La molécula de anticuerpo de la presente invención también puede usarse en la diagnosis, por ejemplo, en la diagnosis in vivo y en la formación de imágenes de estados de enfermedad que implican niveles elevados de $\mathsf{TNF}\alpha$.

La presente invención también proporciona una molécula de anticuerpo que comprende una CDR híbrida que comprende una secuencia de CDR del donador truncada en la que la porción que falta de la CDR donadora truncada se reemplaza por una secuencia diferente y forma una CDR funcional. El término CDR híbrida, como se usa en este documento, significa una CDR que comprende una CDR del donador que se ha truncado en una o más posiciones, por ejemplo, en uno o en sus dos extremos. La porción que falta de la CDR del donador truncada se reemplaza por una secuencia diferente para formar una CDR completa y funcional. La CDR híbrida tiene al menos un cambio de aminoácido en comparación con la CDR del donador completa. La secuencia que reemplaza a la porción truncada de la CDR puede ser cualquier secuencia. Preferiblemente, la parte no donadora de la secuencia de CDR procede del anticuerpo del cual proceden las regiones estructurales de la molécula de anticuerpo, tal como una secuencia de anticuerpo de línea germinal.

Se ha descubierto que las moléculas de anticuerpo que comprenden una CDR híbrida retienen sustancialmente la misma afinidad de unión que una molécula de anticuerpo que comprende las CDR del donador completas. El término sustancialmente la misma afinidad de unión, como se usa en este documento, significa al menos un 70%, más preferiblemente al menos un 85% y aún más preferiblemente al menos un 95% de la afinidad de unión de la molécula de anticuerpo correspondiente que comprende las CDR del donador completas. Como se ha indicado anteriormente, en ciertos casos, la afinidad del anticuerpo de la invención puede ser mayor que la del anticuerpo donador. El uso de una CDR híbrida proporciona las ventajas de reducir la cantidad de secuencia extraña (es decir, donadora) presente en la molécula de anticuerpo y puede aumentar la afinidad de unión de la molécula de anticuerpo en comparación con la molécula de anticuerpo correspondiente que comprende las CDR del donador completas.

Cualquiera de las CDR de la molécula de anticuerpo puede ser híbrida. Preferiblemente, la CDR2 de la cadena pesada es híbrida en la molécula de anticuerpo.

Preferiblemente, la truncación de la CDR del donador es de 1 a 8 aminoácidos y, más preferiblemente, de 4 a 6 aminoácidos. Además se prefiere que la truncación esté hecha en el extremo C de la CDR.

Dependiendo de la secuencia de la porción truncada de la CDR y de la secuencia de la secuencia diferente que reemplaza a la porción que falta, pueden realizarse varios cambios de aminoácido. Preferiblemente se realizan al menos 2 cambios de aminoácidos, más preferiblemente se realizan al menos 3 cambios de aminoácidos y aún más preferiblemente se realizan al menos 4 cambios de aminoácidos.

Una realización particular de este aspecto de la invención es un anticuerpo según el primer aspecto de la invención en el que la segunda CDR de la cadena pesada tiene la secuencia indicada como SEC ID NO: 2. Ésta tiene mejor afinidad por su antígeno que el anticuerpo donador del que procede parte de la CDR.

En la presente memoria se describe una secuencia de ácido nucleico que codifica la molécula de anticuerpo que comprende una CDR híbrida de la presente invención.

En la presente memoria se describe un vector de expresión que contiene la secuencia de ácido nucleico que codifica la molécula de anticuerpo que comprende una CDR híbrida de la presente invención.

En la presente memoria se describe también una célula huésped transformada con el vector de la presente invención.

En la presente memoria se describe también un procedimiento para la producción de una molécula de anticuerpo que comprende una CDR híbrida, que comprende cultivar la célula huésped de la presente invención y aislar la molécula de anticuerpo.

En la presente memoria se describe adicionalmente sólo a modo de ilustración en los siguientes ejemplos que hacen referencia a las Figuras adjuntas, en las que:

la Figura 1 muestra las regiones estructurales del subgrupo 1 de cadenas ligeras humanas en comparación con las regiones estructurales de la cadena ligera de hTNF40 (SEC ID NOS: 83 a 90);

Ia Figura 2 muestra las regiones estructurales del subgrupo 1 y el subgrupo 3 de cadenas ligeras humanas en comparación con las regiones estructurales de la cadena pesada de hTNF40 (SEC ID NOS: 91 a 98 y 106 a 109);

la Figura 3 muestra la secuencia de aminoácidos de las CDR de hTNF40 (SEC ID NOS: 1 a 7), siendo CDR H2' una CDR 1 híbrida en la que los seis aminoácidos C-terminales proceden de la secuencia de CDR de H2 de un anticuerpo de línea germinal del subgrupo 3 humano y los cambios de aminoácidos en la secuencia resultante de esta hibridación esta subrayados;

la Figura 4 muestra el vector pMR15.1;

la Figura 5 muestra el vector pMR14;

10

15

35

40

la Figura 6 muestra la secuencia de nucleótidos y de aminoácidos prevista del hTNF40VI murino (SEC ID NO: 99);

la Figura 7 muestra la secuencia de nucleótidos y de aminoácidos prevista del hTNF40Vh murino (SEC ID NO: 100);

la Figura 8 muestra la secuencia de nucleótidos y de aminoácidos prevista de hTNF40-gLI (SEC ID NO: 8);

la Figura 9 muestra la secuencia de nucleótidos y de aminoácidos prevista de hTNF40-gL2 (SEC ID NO: 9);

la Figura 10 muestra la secuencia de nucleótidos y de aminoácidos prevista de gH1hTNF40.4 (SEC ID NO: 10);

la Figura 11 muestra la secuencia de nucleótidos y de aminoácidos prevista de gh3hTNF40.4 (SEC ID NO: 11);

la Figura 12 muestra el vector CTIL5-gL6;

la Figura 13 muestra la estructura de un compuesto denominado CDP870 que comprende un fragmento Fab modificado derivado del anticuerpo hTNF40 unido covalentemente a través de un resto de cisteína a un engarce de lisil-maleimida, teniendo cada grupo amino en el resto de lisilo unido covalentemente un resto metoxi PEG, siendo n aproximadamente 420;

la Figura 14 muestra el vector pTTQ9;

25 la Figura 15 muestra la secuencia del adaptador oligonucleotídico OmpA (SEC ID NO: 101);

la Figura 16 muestra el vector pACYC184;

la Figura 17 muestra el vector pTTO-1;

la Figura 18 muestra el vector pTTO-2;

la Figura 19 muestra el vector pADNbEng-G1;

30 la Figura 20 muestra los cassettes oligonucleotídicos que codifican diferentes secuencias intergénicas para la expresión de Fab modificada en E. coli (SEC ID NOS: 102 a 105);

la Figura 21 muestra la acumulación periplásmica de Fab modificados de variantes de IGS;

la Figura 22 muestra el vector pTTO (CDP870);

la Figura 23 muestra la puntuación de actividad de enfermedad (DAS) en pacientes tratados con diferentes dosis de CDP870 y placebo. Se presentan medias e intervalos IQ para la población por protocolo con la última observación tomada. Los cuadrados pequeños indican placebo, los diamantes indican 1 mg/kg, los triángulos 5 mg/kg y los cuadrados grandes indican 20 mg/kg;

la Figura 24 muestra el recuento de articulaciones sensibles, el recuento de articulaciones hinchadas, la puntuación del dolor, la evaluación global de la actividad de la enfermedad por parte del evaluador, el cuestionario de evaluación de salud modificado (HAQ), la proteína C reactiva (CRP) y la velocidad de sedimentación de eritrocitos (ESR) en pacientes tratados con diferentes dosis de CDP870 y placebo. Se presentan la media y el intervalo IQ para la población por protocolo con la última observación tomada. Los cuadrados pequeños indican placebo, los diamantes indican 1 mg/kg, los triángulos indican 5 mg/kg y los cuadrados grandes indican 20 mg/kg.

EJEMPLOS

5

10

15

20

25

30

35

40

45

50

Clonación de genes y expresión de una molécula quimérica de anticuerpo hTNF40

Preparación de ARN a partir de células de hibridoma hTNF40

El ARN total se preparó a partir de 3 x 107 células de hibridoma hTNF40 como se describe más adelante. Las células se lavaron en solución fisiológica salina y se disolvieron en RNAzol (0,2 ml por 106 células). Se añadió cloroformo (0,2 ml por 2 ml de homogeneizado), la mezcla se agitó vigorosamente durante 15 segundos y después se dejó en hielo durante 15 minutos. Las fases acuosa y orgánica resultantes se separaron por centrifugación durante 15 minutos en una centrífuga Eppendorf y el ARN se precipitó de la fase acuosa por medio de la adición de un volumen igual de isopropanol. Después de 15 minutos en hielo, el ARN se sedimentó por centrifugación, se lavó con etanol al 70%, se secó y se disolvió en agua sin RNAsa estéril. El rendimiento de ARN fue de 400 □g.

Clonación por PCR de hTNF40 Vh y VI

Se sintetizaron secuencias de ADNc que codificaban para los dominios variables de las cadenas pesada y ligera de hTNF40 usando transcriptasa inversa para producir copias de ADNc de una sola cadena del ARNm presente en el ARN total, y después se realizó una Reacción de Cadena de Polimerasa (PCR) sobre los ADNc con cebadores oligonucleotídicos específicos.

a) Síntesis de ADNc

El ADNc se sintetizó en un volumen de reacción de 20 al que contenía los siguientes reactivos: Tris-HCl 50 mM, pH 8,3, KCl 75 mM, ditiotreitol 10 mM, MgCl2 3 mM, cada desoxirribonucleósido trifosfato a una concentración 0,5 mM, 20 unidades de RNAsin, 75 ag de cebador hexanucleotídico aleatorio, 2 ag de ARN de hTNF40 y 200 unidades de transcriptasa inversa del Virus de la Leucemia Murina de Moloney. Después de la incubación a 42 DEG C durante 60 minutos, la reacción se terminó por calentamiento a 95 DEG C durante 5 minutos.

b) PCR

Se sometieron alícuotas del ADNc a PCR usando combinaciones de cebadores específicos para las cadenas pesada y ligera. En las Tablas 1 y 2 se muestran, respectivamente, las secuencias de nucleótidos de los cebadores 5' para las cadenas pesada y ligera. Todas estas secuencias contienen, en orden, un sitio de restricción que se inicia a una distancia de 7 nucleótidos de sus extremos 5', la secuencia GCCGCCACC (SEC ID NO: 12), para permitir la traducción óptima de los ARNm resultantes, un codón de iniciación y 20-30 nucleótidos basados en las secuencias peptídicas directoras de anticuerpos de ratón conocidos (Kabat y col., Sequences of Proteins of immunological interest, 5 Edición, 1991, Departamento de Salud y Servicios Humanos de Estados Unidos, Servicio de Salud Pública, Institutos Nacionales de la Salud).

Los cebadores 3' se muestran en la Tabla 3. El cebador de cadena ligera abarca la unión J-C del anticuerpo y contiene un sitio de restricción para la enzima Sp1I para facilitar la clonación del fragmento VI de PCR. Los cebadores 3' de cadena pesada son una mezcla diseñada para abarcar la unión J-C del anticuerpo. El cebador 3' incluye un sitio de restricción Apal para facilitar la clonación. La región 3' de los cebadores contiene una secuencia mixta basada en las encontradas en anticuerpos de ratón conocidos (Kabat y col., 1991, supra).

Las combinaciones de cebadores descritas anteriormente permiten clonar directamente los productos de PCR para Vh y VI en un vector de expresión apropiado (véase más adelante) para producir cadenas pesada y ligera quiméricas (ratón-humano) y para expresar estos genes en células de mamífero y producir anticuerpos quiméricos del isotipo deseado.

Las incubaciones (100 □I) para la PCR se establecieron como se indica a continuación. Cada reacción contenía Tris-HCI 10 mM pH 8,3, MgCl2 1,5 mM, KCI 50 mM, gelatina al 0,01% p/v, cada desoxirribonucleósido trifosfato a una concentración de 0,25 mM, 10 pmol de mezcla de cebador 5' (Tabla 4), 10 pmol de cebador 3' (CL12 (cadena ligera) o R2155 (cadena pesada) (Tabla 3)), 1 □I de ADNc y 1 unidad de Taq polimerasa. Las reacciones se incubaron a 95 DEG C durante 5 minutos y después se ciclaron por medio de tratamiento a una temperatura de 94 DEG C durante 1 minuto, de 55 DEG C durante 1 minuto y de 72 DEG C durante 1 minuto. Después de 30 ciclos, se analizaron alícuotas de cada reacción por electroforesis en un gel de agarosa. Las reacciones de cadena ligera que contenían mezclas de cebadores 5' de los conjuntos de cadena ligera 1, 2 y 7 produjeron bandas con tama PRG nos consistentes con fragmentos VI de longitud completa, mientras que la reacción del conjunto 3 de reacción de cadena pesada produjo un fragmento con el tama PRG no esperado de un gen Vh. La banda producida por los cebadores del conjunto 1 de cadena ligera no se siguió, ya que los resultados previos habían demostrado que esta banda corresponde a un pseudogen de cadena ligera producida por la célula de hibridoma. La banda producida por los cebadores del conjunto 7 de cadena ligera fue más débil que la banda procedente de los cebadores del conjunto 2 y, por lo tanto, no se siguió. Sólo se siguió la banda del conjunto 2 de reacción de cadena ligera, que era la banda más fuerte.

55

c) Clonación molecular de los fragmentos de PCR

Los fragmentos de ADN producidos en el conjunto 2 de reacción de cadena ligera se digirieron con las enzimas BstBl y Sp1l, se concentraron por precipitación con etanol, se sometieron a electroforesis en un gel de agarosa al 1,4% y se recuperaron las bandas de ADN en el intervalo de 400 pares de basas. Éstas se clonaron por unión al vector pMR15.1 (Figura 4) que se había restringido con BstBl y Sp1l. Después de la unión, las mezclas se usaron para transformar células E. coli LM 1035 y los plásmidos de las colonias bacterianas resultantes se seleccionaron con respecto a los insertos por digestión con BstBl y Sp1l. Los representantes con insertos de cada unión se analizaron adicionalmente por medio de la secuenciación de nucleótidos.

De una forma similar, los fragmentos de ADN producidos en el conjunto 3 de reacción de cadena pesada se digirieron con HindIII y Apal y se clonaron en el vector pMR14 (Figura 5) que se había restringido con HindIII y Apal. De nuevo, los plásmidos representativos que contenían insertos se analizaron por medio de la secuenciación de nucleótidos.

d) Análisis de la secuencia de nucleótidos

El ADN plasmídico de varios aislados que contenían insertos de Vh se secuenció usando los cebadores R1053 (véase la Tabla 5) (que ceba en la región 3' del promotor HCMV en pMR14) y R720 (véase la Tabla 5) (que ceba la región 5' de C-gamma 4 y permite la secuenciación a través del inserto de ADN en pMR14). Se descubrió que las secuencias de nucleótidos del inserto Vh en varios clones eran idénticas, excepto por las diferencias en el péptido señal y en las regiones J. Esto indicó que los clones examinados son aislados independientes debidos al uso de 5 diferentes cebadores de la mezcla de oligonucleótidos durante la fase de PCR. La secuencia de nucleótidos determinada y la secuencia de aminoácidos prevista del dominio variable de la cadena pesada del anticuerpo hTNF40 (hTNF40Vh) se proporcionan en la Figura 7 (SEC ID NO: 100).

Para analizar los clones de la cadena ligera, se examinó la secuencia obtenida por el cebado con R1053 (véase la Tabla 5) y R684 (SEC ID NO: 62) (que ceba en la región 5' de C-kappa humana y permite la secuenciación a través del inserto de ADN en pMR15.1). También se analizaron de forma similar la secuencia de nucleótidos y la secuencia de aminoácidos prevista de los genes VI que proceden de las reacciones en el conjunto 2. De nuevo, se descubrió que las secuencias de nucleótidos del inserto VI en varios clones eran idénticas, excepto por las diferencias en el péptido señal y en las regiones J, lo que indica que los clones examinados eran aislados independientes debidos al uso de diferentes cebadores de la mezcla de oligonucleótidos usada durante la fase de PCR. La secuencia de nucleótidos determinada y la secuencia de aminoácidos prevista del dominio variable de la cadena ligera del anticuerpo hTNF40 (hTNF40VI) se proporcionan en la Figura 6 (SEC ID NO: 99).

TABLA 1

5

10

15

20

25

30

Cebadores oligonucleotídicos para la región 5' de cadenas pesadas de ratón

CH1: 5'ATGAAATGCAGCTGGGTCAT(G,C)TTCTT3' (SEQ ID NO:13)

CH2: 5'ATGGGATGGAGCT(A,G)TATCAT(C,G)(C,T)TCTT3' (SEQ ID NO:14)

35 CH3: 5'ATGAAG(A,T)TGTGGTTAAACTGGGTTTT3' (SEQ ID NO:15)

CH4: 5'ATG(G,A)ACTTTGGG(T,C)TCAGCTTG(G,A)T3' (SEQ ID NO: 16)

CH5: 5'ATGGACTCCAGGCTCAATTTAGTTTT3' (SEQ ID NO:17)

CH6: 5'ATGGCTGTC(C,T)T(G,A)G(G,C)GCT(G,A)CTCTTCTG3' (SEQ ID NO:18)

CH7: 5'ATGG(G,A)ATGGAGC(G,T)GG(G,A)TCTTT(A,C)TCTT3' (SEQ ID NO:19)

40 CH8: 5'ATGAGAGTGCTGATTCTTTTGTG3' (SEQ ID NO:20)

CH9: 5'ATGG(C,A)TTGGGTGTGGA(A,C)CTTGCTATT3' (SEQ ID NO:21)

CH10: 5'ATGGGCAGACTTACATTCTCATTCCT3'(SEQ ID NO:22)

CH11: 5'ATGGATTTTGGGCTGATTTTTTTATTG3' (SEQ ID NO:23)

CH12: 5'ATGATGGTGTTAAGTCTTCTGTACCT3' (SEQ ID NO:24)

45 Cada uno de los cebadores anteriores tiene la secuencia

5'GCGCGCAAGCTTGCCGCCACC3' (SEC ID NO: 25) añadida 20 a su extremo 5'.

TABLA 2

Cebadores oligonucleotídicos para la región 5' de cadenas ligeras de ratón

CL1: 5'ATGAAGTTGCCTGTTAGGCTGTTGGTGCT3' (SEQ ID NO:26)

CL2: 5'ATGGAG(T,A)CAGACACTCCTG(T,C)TATGGGT3' (SEQ ID NO:27)

5 CL3: 5'ATGAGTGTGCTCACTCAGGTCCT3' (SEQ ID NO:28)

CL4: 5'ATGAGG(G,A)CCCCTGCTCAG(A,T)TT(C,T)TTGG3' (SEQ ID NO:29)

CL5: 5'ATGGATTT(T,A)CAGGTGCAGATT(T,A)TCAGCTT3' (SEQ ID NO:30)

CL5A: 5'ATGGATTT(T,A)CA(A,G)GTGCAGATT(T,A)TCAGCTT3' (SEQ ID NO:31)

CL6: 5'ATGAGGT(T,G)C(T,G)Tg(T,C)T(G,C)AG(T,C)T(T,C)CTG(A,G)G3' (SEQ ID NO:32)

10 CL7: 5'ATGGGC(T,A)TCAAGATGGAGTCACA3' (SEQ ID NO:33)

CL8: 5'ATGTGGGA(t,C)CT(G,T)TTT(T,C)C(A,C)(A,C)(A,C)TTTTTCAAT3' (SEQ ID NO:34)

CL9: 5'ATGGT(G,A)TCC(T,A)CA(G,C)CTCAGTTCCT'T3' (SEQ ID NO:35)

CL10: 5'ATGTATATATGTTTGTTGTCTATTTC3' (SEQ ID NO:36)

CL11: 5'ATGGAAGCCCCAGCTCAGCTTCTCTT3'(SEQ ID NO:37)

15 CL12A: 5'ATG(A,G)AGT(T,C)(A,T)CAGACCCAGGTCTT(T,C)(A,G)T3' (SEQ ID NO:38)

CL12B: 5'ATGGAGACACATTCTCAGGTCTTTGT3' (SEQ ID NO:39)

CL13: 5'ATGGATTCACAGGCCCAGGTTCTTAT3' (SEQ ID NO:40)

CL14: 5'ATGATGAGTCCTGCCCAGTTCCTGTT3' (SEQ ID NO:41)

CL15: 5'ATGAATTTGCCTGTTCATCTCTTGGTGCT3' (SEQ ID NO:42)

20 CL16: 5'ATGGATTTTCAATTGGTCCTCATCTCCTT3' (SEQ ID NO:43)

CL17A: 5'ATGAGGTGCCTA(A,G)CT(C,G)AGTTCCTG(A,G)G3' (SEQ ID NO:44)

CL17B: 5'ATGAAGTACTCTGCTCAGTTTCTAGG3' (SEQ ID NO:45)

CL17C: 5'ATGAGGCATTCTCTTCAATTCTTGGG3' (SEQ ID NO:46)

Cada uno de los cebadores anteriores tiene la secuencia

25 5'GGACTGTTCGAAGCCGCCACC3' (SEC ID NO: 47) añadida a su extremo 5'.

TABLA 3

Cebadores oligonucleotídicos para los extremos 3' de los genes Vh y VI de ratón.

Cadena ligera (CL12):

5'GGATACAGTTGGTGCAGCATCCGTACGTTT3' (SEC ID NO: 48)

30 Cadena pesada (R2155):

5'GCAGATGGCCCTTCGTTGAGGCTG(A,C)(A,G)GAGAC(G,T,A)GTGA3' (SEC ID NO: 49).

TABLA 4

a) Mezclas de cebadores 5' para reacciones de PCR de cadena ligera

conjunto 1: CL2.

35 conjunto 2: CL7.

conjunto 3: CL13.

conjunto 4: CL6.

conjunto 5: CL5A, CL9, CL17A.

conjunto 6: CL8.

conjunto 7: CL12A.

conjunto 8: CL1, CL3, CL4, CL5, CL10, CL11, CL2B, CL14, CL15, CL16, CL17B, CL17C

b) Mezclas de cebadores 5' para reacciones de PCR de cadena pesada

conjunto 1: CH1, CH2, CH3, CH4.

conjunto 2: CH5, CH6, CH7, CH8.

conjunto 3: CH9, CH10, CH11, CH12.

TABLA 5

15

20

25

30

35

40

45

10 Cebadores usados en el análisis de la secuencia de nucleótidos

R1053: 5'GCTGACAGACTAACAGACTGTTCC3' (SEC ID NO:50)

R720: 5'GCTCTCGGAGGTGCTCCT3' (SEC ID NO:51)

Evaluación de actividades de genes quiméricos

Las actividades de los genes quiméricos se evaluaron expresándolos en células de mamífero y purificando y cuantificando los anticuerpos recién sintetizados. La metodología para esto se describe más adelante, seguida de una descripción de los ensayos bioquímicos y basados en células usados para la caracterización biológica de los anticuerpos.

a) Producción de molécula de anticuerpo hTNF40 quimérica

Se produjo un anticuerpo quimérico para la evaluación biológica por medio de la expresión transitoria de los pares de cadena pesada y ligera apropiados, después de la co-transfección en células de Ovario de Hámster Chino (CHO) usando precipitación con fosfato cálcico.

Un día antes de la transfección, se tripsinizaron matraces semiconfluentes de células CHO-L761, las células se contaron y los matraces T75 se prepararon, cada uno, con 107 células.

Al día siguiente, el medio de cultivo se cambió 3 horas antes de la transfección. Para la transfección, se preparó el precipitado con fosfato cálcico mezclando 1,25 ml de CaCl2 0,25 M que contenía 50 □g de cada uno de los vectores de expresión de cadena pesada y ligera con 1,25 ml de 2 x HBS (16,36 g de NaCl, 11,0 g de HEPES y 0,4 g de Na2HPO4 en un 1 litro de agua con el pH ajustado a 7,1 con NaOH) y añadiéndose inmediatamente al medio de las células. Después de 3 h a 37 DEG C en un incubador de CO2, se retiraron el medio y el precipitado y las células se sometieron a un choque por medio de la adición de 15 ml de glicerol al 15% en solución salina tamponada con fosfato (PES) durante 1 minuto. El glicerol se retiró, las células se lavaron una vez con PBS y se incubaron durante 48-96 horas en 25 ml de medio que contenía butirato sódico 10 mM. El anticuerpo pudo purificarse del medio de cultivo por unión y elución de proteína A-Sepharose.

b) ELISA

Para el ELISA, se recubrieron placas ELISA Nunc durante una noche a 4 DEG C con un fragmento F(ab)2 de un anticuerpo policlonal específico de cabra anti-fragmento Fc humano (Jackson Immunoresearch, código 109-006-098) a 5 o/ml en tampón de recubrimiento (carbonato sódico 15 mM, carbonato sódico ácido 35 mM, pH 6.9). El anticuerpo sin recubrir se retiró lavando 5 veces con agua destilada. Las muestras y los patrones purificados a cuantificar se diluyeron hasta aproximadamente 1 □g/ml en tampón de conjugado (Tris-HCl 0,1 M, pH 7,0, NaCl 0,1 M, Tween 20 al 0,2% v/v, caseína de Hammersten al 0,2% p/v). Las muestras se valoraron en los pocillos de microvaloración en diluciones a la mitad proporcionando un volumen final de 0,1 ml en cada pocillo y las placas se incubaron a temperatura ambiente durante una hora con agitación. Después de la primera etapa de incubación, las placas se lavaron 10 veces con aqua destilada y después se incubaron durante 1 hora como se ha indicado anteriormente con 0,1 ml de un anticuerpo conjugado con peroxidasa monoclonal de ratón anti-kappa humana (clon GD12) (The Binding Site, código MP135) a una dilución de 1 en 700 en tampón de conjugado. La placa se lavó de nuevo y se añadió a cada pocillo solución de sustrato (0,1 ml). La solución de sustrato contenía 150 □l de N,N,N,Ntetrametilbencidina (10 mg/ml en DMSO), 150 □l de peróxido de hidrógeno (solución al 30%) en 10 ml de acetato sódico 0,1 M/citrato sódico, pH 6,0. La placa se reveló durante 5-10 minutos hasta que la absorbancia a 630 nm fue de aproximadamente 1,0 para el patrón superior. La absorbancia a 630 nm se midió usando un lector de placas y la concentración de la muestra se determinó comparando las curvas de valoración con las del patrón.

c) Determinación de constantes de afinidad por análisis BiaCore

La interacción de unión entre hTNF40 y TNF humano se investigó usando la tecnología BIA. Un anticuerpo policional de cabra purificado por afinidad, dirigido contra la región constante de hTNF40, se inmovilizó en la superficie de un chip sensor de polímero de dextrano usando la química NHS/EDC convencional. Se capturaron niveles relativamente bajos (200-500 RU) de hTNF40 para asegurar que se minimizaban los efectos del transporte de masa. Se pasó TNF humano a diferentes concentraciones sobre el hTNF40 capturado para permitir la evaluación de las cinéticas de asociación. Después de la inyección del ligando, el tampón se pasó sobre la superficie de forma que 1 pudiera medirse la disociación. Se calcularon las constantes de velocidad de asociación y disociación para la interacción entre el hTNF40 en fase sólida y el hTNF40 humano y se obtuvo un valor KD.

10 **EJEMPLO 1**

5

15

20

25

35

Injerto de CDR de hTNF40

Anteriormente se ha descrito la clonación molecular de genes para las regiones variables de las cadenas pesada y ligera del anticuerpo hTNF40 y su uso para producir anticuerpos hTNF40 quiméricos (ratón-humano). Las secuencias de nucleótidos y de aminoácidos de los hTNF40 VI y Vh murinos se muestran en las Figuras 6 y 7 (SEC ID NOS: 99 y 100), respectivamente. Este ejemplo describe el injerto con CDR del anticuerpo hTNF40.

Injerto con CDR de la cadena ligera de hTNF40

La alineación de las regiones estructurales de la cadena ligera de hTNF40 con las de los cuatro subgrupos de cadenas ligeras humanos (Kabat y col., 1991, supra) reveló que hTNF40 era el más homólogo a los anticuerpos del subgrupo 1 de cadenas ligeras humanas. Por consiguiente, para construir la cadena ligera injertada con CDR, las regiones estructurales elegidas correspondían a las de la secuencia consenso del grupo 1 humano.

En la Figura 1 se proporciona una comparación de las secuencias de aminoácidos de las regiones estructurales de hTNF40 murino y de las cadenas ligeras del grupo 1 consenso humano y demuestra que hay 22 diferencias (subrayadas) entre las dos secuencias. El análisis de la contribución que podría tener cualquiera de estas diferencias estructurales sobre la unión de antígenos identificó 2 restos para investigación; éstos están en las posiciones 46 y 60. Basándose en este análisis, se construyeron dos versiones de la cadena ligera con CDR injertada. En la primera de éstas, hTNF40-gL1 (SEC ID NO: 8), los restos 46 y 60 proceden de la cadena ligera de hTNF40, mientras que en la segunda, hTNF40-gL2 (SEC ID NO: 9), todos los restos son restos consenso humanos, excepto el resto número 60 que procede de la cadena ligera de hTNF40.

Construcción de la cadena ligera hTNF40-gL1 con CDR injertada

La construcción de hTNF40-gL1 se proporciona más adelante con detalle. En las Reacciones de Cadena de Polimerasa (PCR) se usaron los siguientes oligonucleótidos solapantes (P7982-P7986) para montar una cadena ligera injertada truncada. El fragmento montado carece de la secuencia directora del anticuerpo y de los 17 primeros aminoácidos de la estructura 1.

oligo 1 P7982:

5' GAATTCAGGGTCACCATCACTTGTAAAGCCAGTCAGAACGTAGGTACTAAC GTAGCCTGGTATCAGCAAA3' (SEQ ID NO:52)

oligo 2 P7983:

5' ATAGAGGAAAGAGGCACTGTAGATGAGGGCTTTTGGGGGCTTTACCTGGTTT TTGCTGATACCAGGCTACGT3' (SEQ ID NO:53)

oligo 3 P7984:

5' TACAGTGCCTCTTTCCTCTATAGTGGTGTACCATACAGGTTCAGCGGATCCG GTAGTGGTACTGATTTCAC3' (SEO ID NO:54)

40 oligo 4 P7985

5'GACAGTAATAAGTGGCGAAATCTTCTGGCTGGAGGCTACTGATCGTGAGGGT GAAATCAGTACCACTACCG3' (SEQ ID NO:55)

oligo 5 P7986:

5'ATTTCGCCACTTATTACTGTCAACAGTATAACATCTACCCACTCACATTCGGT CAGGGTACTAAAGTAGAAATCAAACGTACGGAATTC3' (SEQ ID NO:56)

Fwd P7981:

5 5'GAATTCAGGGTCACCATCACTTGTAAAGCC3' (SEQ ID NO:57)

Bwd P7980

10

15

20

25

5'GAATTCCGTACGTTTGATTTCTACTTTAGT3' (SEQ ID NO:58),

Se preparó una relación de PCR, de 100 □I, que contenía Tris-HCI 10 mM pH 8,3, MgCI2 1,5 mM, KCI 50 mM, gelatina al 0,01% p/v, cada desoxirribonucleósido trifosfato a una concentración de 0,25 mM, 2 pmol de P7982, P7983, P7984, P7985, P7986, 10 pmol de P7980, P7981 y 1 unidad de Taq polimerasa. Las reacciones se ciclaron por tratamiento a una temperatura de 94 DEG C durante 1 minuto, 55 DEG C durante 1 minuto y 72 DEG C durante 1 minuto. Después de 30 ciclos, cada reacción se analizó por electroforesis en un gel de agarosa y el fragmento de PCR se escindió del gel y se recuperó usando un estuche Mermaid. El fragmento recuperado se restringió con las enzimas BstEII y SpII en el tampón apropiado. El producto resultante finalmente se sometió a electroforesis en un gel de agarosa y el fragmento de ADN de 270 pares de bases se recuperó del corte del gel y se unió al vector CTIL5-gL6 (Figura 12), que previamente se había digerido con las mismas enzimas. El vector anterior proporciona la secuencia directora del anticuerpo y los 17 primeros aminoácidos de la estructura 1 que faltan.

La mezcla de unión se usó para transformar la cepa LM1035 de E. coli y las colonias resultantes se analizaron por PCR, digestión con enzimas de restricción y secuenciación de nucleótidos. La secuencia de nucleótidos y de aminoácidos de la región VI de hTNF40-gL1 se muestra en la Figura 8 (SEC ID NO: 8).

Construcción de la cadena ligera hTNF40-gL2 con CDR injertada

hTNF40-gL2 (SEC ID NO: 9) se construyó usando PCR. Para introducir los cambios de aminoácidos, se usaron los siguientes oligonucleótidos:

R1053: 5'GCTGACAGACTAACAGACTGTTCC3' (SEQ ID NO:59)

R5350: 5'TCTAGATGGCACACCATCTGCTAAGTTTGATGCAGCATAGAT

CAGGAGCTTAGGAGC3' (SEQ ID NO:60)

R5349: 5'GCAGATGGTGTGCCATCTAGATTCAGTGGCAGTGGATCA

GGCACAGACTTTACCCTAAC3' (SEQ ID NO:61)

R684: 5'TTCAACTGCTCATCAGAT3' (SEQ ID NO:62)

Se prepararon dos reacciones, cada una de 20 □I, que contenían Tris-HCl 10 mM pH 8,3, MgCl2 1,5 mM, KCl 50 mM, gelatina al 0,01% p/v, cada desoxirribonucleósido trifosfato a una concentración de 0,25 mM, 0,1 □g de hTNF40-gL1, 6 pmol de R1053/R5350 o R5349/R684 y 0,25 unidades de Taq polimerasa. Las reacciones se ciclaron por medio del tratamiento a 94 DEG C durante 1 minuto, a 55 DEG C durante 1 minuto y a 72 DEG C durante 1 minuto. Después de 30 ciclos, cada reacción se analizó por electroforesis en un gel de agarosa y los fragmentos de PCR se escindieron del gel y se recuperaron usando un estuche Mermaid.

Después se sometieron alícuotas de estas reacciones a una segunda vuelta de PCR. La reacción, de 100 □l, contenía Tris-HCl 10 mM pH 8,3, MgCl2 1,5 mM, KCl 50 mM, gelatina al 0,01% p/v, 1/5 de cada uno de los fragmentos de PCR de la primera serie de reacciones, 30 pmol de R1053 y R684 y 2,5 unidades de Taq polimerasa.

Las temperaturas de reacción fueron como se han indicado anteriormente. Después de la PCR, la mezcla se extrajo con fenol/cloroformo y después con cloroformo y se precipitó con etanol. El precipitado de etanol se recuperó por centrifugación, se disolvió en el tampón apropiado y se restringió con las enzimas BstEII y SpII. El producto resultante finalmente se sometió a electroforesis en un gel de agarosa y el fragmento de ADN de 270 pares de basas recuperado a partir de un corte de gel se unió al vector pMRI5.1 (Figura 4) que previamente se había digerido con las mismas enzimas.

La mezcla de unión se usó para transformar la cepa LM1035 de E. coli y las colonias resultantes se analizaron por PCR, digestión con enzimas de restricción y secuenciación de nucleótidos. La secuencia de nucleótidos y de aminoácidos de la región VI de hTNF40-gL2 se muestra en la Figura 9 (SEC ID NO: 9).

10 Injerto con CDR de la cadena pesada de hTNF40

El injerto con CDR de la cadena pesada de hTNF40 se realizó usando la misma estrategia que se ha descrito para la cadena ligera. Se descubrió que la cadena pesada de hTNF40 era la más homóloga a las cadenas pesadas humanas pertenecientes al subgrupo 1 y, por lo tanto, se eligió la secuencia consenso de las estructuras del subgrupo 1 humano para aceptar las CDR de la cadena pesada de hTNF40.

Para investigar el requisito de una estructura humana homóloga para actuar como estructura aceptora para el injerto de CDR, se seleccionó una segunda estructura, del grupo 3 humano, para humanizar la cadena pesada de hTNF40.

En la Figura 2 se muestra una comparación de hTNF40 con las dos regiones estructurales diferentes, en la que se puede ver que hTNF40 difiere del consenso del subgrupo 1 humano en 32 posiciones (subrayadas) y difiere del consenso del subgrupo 3 humano en 40 posiciones (subrayadas). Después del análisis de la contribución que podía hacer cualquiera de estas diferencias a la unión del antígeno, se retuvieron los restos 28, 38, 46, 67, 69 y 71 como donadores en la cadena pesada injertada con CDR gH1hTNF40.1 usando la estructura del grupo 1. Los restos 27, 28, 30, 48, 49, 69, 71, 73, 76 y 78 se retuvieron como donadores en la cadena pesada injertada con CDR gh3hTNF40.4 usando la estructura del grupo 3. Los restos 28, 69 y 71 se retuvieron como donadores en la cadena pesada injertada con CDR gh1hTNF40.4 usando la estructura del grupo 1.

25 Construcción de la cadena pesada injertada con CDR gH1hTNF40.4

gH1hTNF40.4 (SEC ID NO: 10) se montó sometiendo oligonucleótidos solapantes a PCR en presencia de los cebadores apropiados. En la PCR se usaron los siguientes oligonucleótidos:

Injerto del grupo 1

oligo 1 P7989:

5

20

30

5'GAAGCACCAGGCTTCTTAACCTCTGCTCCTGACTGGACCAGCTGCACCTGAG AGTGCACGAATTC3' (SEQ ID NO:63)

oligo 2 P7990:

5'GGTTAAGAAGCCTGGTGCTTCCGTCAAAGTTTCGTGTAAGGCCTCAGGCTAC GTGTTCACAGACTATGGTA3' (SEQ ID NO:64)

oligo 3 P7991:

5'CCAACCCATCCATTTCAGGCCTTGTCCCGGGGCCTGCTTGACCCAATTCATAC CATAGTCTGTGAACACGT3' (SEQ ID NO:65)

35 oligo 4 P7995:

5'GGCCTGAAATGGATGGGTTGGATTAATACTTACATTGGAGAGCCTATTTATGT TGACGACTTCAAGGGCAGATTCACGTTC3' (SEO ID NO:66)

oligo 5 P7992:

5'CCATGTATGCAGTGCGTTGTGGAGGTGTCTAGAGTGAACGTGAATCTGCCCTT GAA3' (SEQ ID NO:67)

oligo 6 P7993:

5'CCACAAGCACTGCATACATGGAGCTGTCATCTCTGAGATCCGAGGACACCGC AGTGTACTAT3' (SEQ ID NO:68)

oligo 7 P7994:

5'GAATTCGGTACCCTGGCCCCAGTAGTCCATGGCATAAGATCTGTATCCTCTAG CACAATAGTACACTGCGGTGTCCTC3' (SEO ID NO:69)

Fwd: P7988:

5

5'GAATTCGTGCACTCTCAGGTGCAGCTGGTC3' (SEQ ID NO:70)

Bwd P7987:

5'GAATTCGGTACCCTGGCCCCAGTAGTCCAT3' (SEQ ID NO:71)

La reacción de montaje, de 100 □I, contenía Tris-HCl 10 mM pH 8,3, MgCl2 1,5 mM, KCl 50 mM, gelatina al 0,01% 10 p/v, cada desoxirribonucleósido trifosfato a una concentración de 0,25 mM, 2 pmol de cada uno de p7989, p7990, p7991, p7995, p7992, p7993 y p7994, 10 pmol de cada uno de p7988 y p7987 y 1 unidad de Taq polimerasa. Las reacciones se ciclaron por tratamiento a una temperatura de 94 DEG C durante 1 minuto, de 55 DEG C durante 1 minuto y de 72 DEG C durante 1 minuto. Después de 30 ciclos, la reacción se extrajo con fenol/cloroformo (1/1), 15 después con cloroformo y se precipitó con etanol. Después de la centrifugación, el ADN se disolvió en el tampón de restricción apropiado y se digirió con ApaL1 y Kpnl. El fragmento resultante se aisló en un gel de agarosa y se unió a pMRI4 (Figura 5), que 1 previamente se había digerido con las mismas enzimas. pMR14 contiene la región constante de la cadena pesada gamma 4 humana. Cuando pMR14 se escinde con ApaLl y Kpal, el vector escindido es capaz de recibir el ADN digerido de tal forma que el extremo 3' del ADN digerido se una en fase de lectura al extremo 5' de la secuencia que codifica la región constante gamma 4. Por lo tanto, la cadena pesada expresada a 20 partir de este vector será un isotipo gamma 4. La mezcla de unión se usó para transformar E. coli LM1035 y las colonias bacterianas resultantes se seleccionaron por digestión de restricción y por análisis de la secuencia de nuecleótidos. De esta forma, se identificó un plásmido que contenía la secuencia correcta para gH1hTNF40.4 (Figura 10) (SEC ID NO: 10).

Construcción de la cadena pesada injertada con CDR gh3hTNF40.4

gh3hTNF40.4 (SEC ID NO: 11) se montó sometiendo oligonucleótidos solapantes a PCR en presencia de los cebadores apropiados. En la PCR se usaron los siguientes oligonucleótidos:

Injerto del grupo 3

oligo 1 P7999:

5'GATCCGCCAGGCTGCACGAGACCGCCTCCTGACTCGACCAGCTGAACCTCAG AGTGCACGAATTC3' (SEO ID NO:72)

oligo 2 P8000:

5'TCTCGTGCAGCCTGGCGGATCGCTGAGATTGTCCTGTGCTGCATCTGGTTACG TCTTCACAGACTATGGAA3' (SEQ ID NO:73)

oligo 3 P8001

30

25

oligo 4 P7995:

5'GGCCTGAAATGGATGGGTTGGATTAATACTTACATTGGAGAGCCTATTTATGT TGACGACTTCAAGGGCAGATTCACGTTC3' (SEQ ID NO:66)

oligo 5 P7997:

5'GGAGGTATGCTGTTGACTTGGATGTCTAGAGAGAACGTGAATCTGCCCTT GAA3' (SEQ ID NO:75)

oligo 6 P7998:

5

15

20

25

5'CCAAGTCAACAGCATACCTCCAAATGAATAGCCTGAGAGCAGAGGACACCGC AGTGTACTAT3' (SEQ ID NO:76)

oligo 7 P7993:

5'GAATTCGGTACCCTGGCCCCAGTAGTCCATGGCATAAGATCTGTATCCTCTAG CACAATAGTACACTGCGGTGTCCTC3' (SEQ ID NO:77)

10 Fwd P7996:

5'GAATTCGTGCACTCTGAGGTTCAGCTGGTC3' (SEQ ID NO:78)

Bwd P7987:

5'GAATTCGGTACCCTGGCCCCAGTAGTCCAT3' (SEQ ID NO:71)

La reacción de montaje, de 100 □I, contenía Tris-HCI 10 mM pH 8,3, MgCI2 1,5 mM, KCI 50 mM, gelatina al 0,01% p/v, cada desoxirribonucleósido trifosfato a una concentración de 0,25 mM, 2 pmol de cada uno de p7999, p8000, p8001, p7995, p7997, p7998 y p7993, 10 pmol de cada uno de p7996 y p7987 y 1 unidad de Taq polimerasa. Las reacciones se ciclaron por tratamiento a una temperatura de 94 DEG C durante 1 minuto, de 55 DEG C durante 1 minuto y de 72 DEG C durante 1 minuto. Después de 30 ciclos, la reacción se extrajo con fenol/cloroformo (1/1), después con cloroformo y se precipitó con etanol. Después de la centrifugación, el ADN se disolvió en el tampón de restricción apropiado y se digirió con ApaLI y KpnI. El fragmento resultante se aisló en un gel de agarosa y se unió a pMRI4 (Figura 5), que previamente se había digerido con las mismas enzimas. pMR14 contenía la región constante de la cadena pesada gamma 4 humana. Cuando pMR14 se escinde con ApaLI y KpaI, el vector escindido es capaz de recibir el ADN digerido de tal forma que el extremo 3' del ADN digerido se una en fase de lectura al extremo 5' de la secuencia que codifica la región constante gamma 4. Por lo tanto, la cadena pesada expresada a partir de este vector será un isotipo gamma 4. La mezcla de unión se usó para transformar E. coli LM1035 y las colonias bacterianas resultantes se seleccionaron por digestión de restricción y por análisis de la secuencia de nuecleótidos. De esta forma, se identificó un plásmido que contenía la secuencia correcta para gh3hTNF40.4 (SEC ID NO: 11) (Figura 11).

Producción del fragmento Fab modificado con CDR injertada

- 30 Se construyó un fragmento Fab modificado, con CDR injertada, basándose en el anticuerpo hTNF40, usando el vector de E. coli pTTO-1. Las regiones variables del anticuerpo hTNF40 se subclonaron en este vector y la secuencia intergénica se optimizó para crear pTTO(CD870). El vector de expresión pTTO está diseñado para producir la acumulación periplásmica, soluble, de proteínas recombinantes en E. coli. Las características principales de este plásmido son:
- 35 (i) marcador de resistencia a tetraciclina antibiótico no inactivado por el producto del gen de resistencia, por lo tanto, se mantiene la selección de las células que contienen el plásmido;
 - (ii) bajo número de copias origen de replicación derivado del plásmido p15A, que es compatible con plásmidos que

contienen replicones derivados de colE1;

- (iii) promotor tac fuerte inducible para la transcripción de genes clonados;
- (iv) gen laclq proporciona la expresión constitutiva de la proteína represora lac, manteniendo al promotor tac en el estado reprimido hasta la inducción con IPTG/alolactosa;
- 5 (v) secuencia señal de OmpA proporciona la secreción periplásmica de los genes clonados;
 - (vi) acoplamiento traduccional de la secuencia señal de OmpA a un péptido lacZ corto, proporcionando una iniciación eficaz de la traducción.

El vector se ha creado para la expresión de fragmentos Fab modificados a partir de un mensajero dicistrónico por el diseño de un procedimiento para seleccionar empíricamente la secuencia intergénica óptima de una serie de 4 cassettes construidos para tal fin. Se describe la aplicación de esto en la construcción de pTTO(CDP870).

Materiales y métodos

Técnicas de ADN

10

15

20

25

30

35

40

50

Para los protocolos se usaron procedimientos convencionales, incluyendo restricción de ADN, electroforesis en gel de agarosa, unión y transformación. Las enzimas de restricción y las enzimas de modificación del ADN se obtuvieron en New England Biolabs o Boehringer Mannheim, y se usaron de acuerdo con las recomendaciones del proveedor. Los fragmentos de ADN se purificaron en agarosa usando el protocolo GeneClean (BIO 101). Los oligonucleótidos se suministraron por el Oswel Oligonucleótido Service y se sintetizaron a la escala de 40 nm. El ADN plasmídico se aisló usando estuches de ADN Plasmídico Mini/Midi de Qiagen. La PCR se realizó usando Amplitaq de Perkin Elmer como se recomienda. La secuenciación del ADN se realizó usando el estuche de secuenciación de ciclos Taq de Applied Biosystems.

Inducción de matraces de agitación

Se desarrollaron cultivos de E. coli W3110 en caldo L suplementado con tetraciclina (7,5 □g/ml). Para las inducciones, se diluyeron cultivos de una noche recientes (desarrollados a 30 DEG C) a una DO600 de 0,1 en 200 ml de caldo L en un matraz de 2 litros tabicado y se dejaron crecer a 30 DEG C en una incubador orbital. A una DO600 de 0,5, se añadió IPTG a una concentración de 200 □M. Se tomaron muestras (normalizadas para DO) a intervalos.

Extracción periplásmica

Se enfriaron en hielo muestras de cultivo (5 minutos), y después las células se recogieron por centrifugación. Después de la resuspensión en tampón de extracción (Tris.HCl 100 mM, EDTA 10 mM, pH 7,4), las muestras se incubaron durante una noche a 30 DEG C y después se clarificaron por centrifugación.

Ensavo de montaje

Las concentraciones de Fab modificado se determinaron por medio de un ELISA. Las placas se recubrieron a 4 DEG C durante una noche con anti-Fd 6045 humano (2 g/ml en tampón de recubrimiento, solución fisiológica salina, 100 por pocillo). Después del lavado, se introdujeron 100 le muestra por pocillo; como patrón se usó Fab' gamma-1 A5B7 purificado, inicialmente a una concentración de 2 g/ml. Las muestras se diluyeron en serie a la mitad a lo largo de la placa en tampón de conjugado de muestra (por litro: 6, 05 g de trisaminometano; 2,92 g de NaCl; 0,1 ml de Tween-20; 1 ml de caseína (0,2%)); las placas se incubaron durante una hora a temperatura ambiente con agitación. Las placas se lavaron y se secaron, y después se añadieron 100 le de anti-C-kappa (GD12)-peroxidasa humana (diluido en tampón conjugado de muestra). La incubación se realizó a temperatura ambiente durante 1 hora con agitación. Las placas se lavaron y se secaron, y después se añadieron 100 le de solución de sustrato (10 ml de solución de acetato sódico/citrato (0,1 M pH 6); 100 le de solución de H2O2; 100 le de solución de tetrametilbencidina (10 mg/ml en dimetilsufóxido)). La absorbancia a 630 nm se leyó 4 - 6 minutos después de la adición del sustrato.

Construcción del plásmido pTTO-1

45 (a) Reemplazo del poliengarce pTTQ9

El plásmido pTTQ9 se obtuvo en Amersham y se muestra en la Figura 14. Una alícuota (2 □g) se digirió con enzimas de restricción Sall y EcoRI, el producto de digestión se llevó a un gel de agarosa al 1% y se purificó el fragmento grande de ADN (4520 pb). Se sintetizaron dos oligonucleótidos que, cuando se templan conjuntamente, codifican la región de poliengarce de OmpA mostrada en la Figura 15. Esta secuencia tiene extremos cohesivos que son compatibles con los extremos Sall y EcoRI generados por restricción de pTTQ9. Por clonación de este cassette de oligonucleótido en el vector pTTQ9 no se regenera el sitio Sall, pero se mantiene el sito EcoRI. El cassette codifica los primeros 13 aminoácidos de la secuencia señal de la proteína de membrana externa de E. coli Omp-A,

precedidos por el sitio de unión a ribosomas de Shine Dalgano del gen OmpA. Además, están presentes sitios de restricción para las enzimas Xbal, Munl, Styl y Spll. Los sitios Munl y Styl están dentro de la región codificante de la secuencia señal de OmpA y pretenden ser los sitios de clonación 5' para la inserción de genes. Los dos oligonucleótidos que constituyen este cassette se templaron mezclándolos a una concentración de 5 pmol/□l y calentándolos en un baño de agua a 95 DEG C durante 3 minutos, y después enfriando lentamente a temperatura ambiente. Después, la secuencia templada se unió a pTTQ9 cortado con Sall/EcoRI. El intermedio plasmídico resultante, denominado pTQOmp, se verificó por secuenciación del ADN.

(b) Preparación y unión de fragmentos

El plásmido pTTO-1 se construyó uniendo un fragmento de ADN del plásmido pACYC184 a dos fragmentos generados a partir de pTQOmp. El plásmido pACYC184 se obtuvo en New England Biolabs, y en la Figura 16 se muestra un mapa de restricción. Una alícuota (2 □g) se digirió completamente con la enzima de restricción Styl y después se trató con Nucleasa Mung Bean; este tratamiento crea extremos romos por corte de las bases 5' salientes. Después de la extracción con fenol y de la precipitación con etanol, el ADN se restringió con la enzima Pvull, generando fragmentos de 2348, 1081, 412 y 403 pb. El fragmento de 2348 pb se purificó después de electroforesis en gel de agarosa. Este fragmento codifica el marcador de resistencia a tetraciclina y el origen de replicación de p15A. Después, el fragmento se trató con fosfatasa alcalina intestinal de ternero para eliminar los fosfatos 5' terminales, impidiendo de esta manera la auto-unión de esta molécula.

Una alícuota (2 □g) del plásmido pTQOmp se digirió con enzimas Sspl y EcoRl, y el fragmento de 2350 pb se purificó de los fragmentos indeseados de 2040 pb y 170 pb por electroforesis en gel de agarosa; este fragmento codifica la región terminadora de la transcripción y el gen laclq. Otra alícuota (2 □g) de pTQO se digirió con EcoRl y Xmnl, generando fragmentos de 2289, 1670, 350 y 250 pb. El fragmento de 350 pb, que codifica el promotor tac, la secuencia señal de OmpA y el sitio de multiclonación, se purificó en gel.

Después se unieron los tres fragmentos usando cantidades aproximadamente equimolares de cada fragmento, para generar el plásmido pTTO-1. Todas las uniones de clonación se verificaron por secuenciación del ADN. El mapa de restricción de este plásmido se muestra en la Figura 17. Después se creó el plásmido pTTO-2 por inserción de ADN que codificaba el dominio constante kappa de la cadena ligera de la Ig humana. Éste se obtuvo como un fragmento de restricción SpII-EcoRI a partir del plásmido pHC132, y se insertó en los sitios correspondientes en pTTO-1. El plásmido pTTO-2 se muestra en la Figura 18.

Inserción de regiones variables de hTNF40 humanizado en pTTO-2

La región variable de la cadena ligera de hTNF40gL1 (SEC ID NO: 8) se obtuvo por rescate de PCR desde el vector correspondiente para la expresión en células de mamífero, pMR10.1. La secuencia directora de OmpA reemplaza a la secuencia directora de la Ig nativa. La secuencia de los cebadores de PCR se muestra a continuación:

cebador 5':

20

25

35

CGCGCGGCAATTGCAGTGGCCUGGCTGGMCGCTACCGTAGCGCAAG CTGACATTCAAATGACCCAG AGCCC (SEC ID NO:79)

cebador 3': TTCAACTGCTCATCAGATGG (SEC ID NO:80)

Después de una PCR en condiciones convencionales, el producto se purificó, se digirió con enzimas MunI y SpII y después se purificó en gel. El fragmento purificado después se insertó en los sitios MunI/SpII de pTTO-2 para crear el intermedio de cadena ligera pTTO(hTNF40L).

La región variable de la cadena pesada de gh3hTNF40.4 se obtuvo de la misma forma a partir del vector pGamma-4. La secuencia de los cebadores de PCR se muestra a continuación:

cebador 5':

GCTATCGCAATTGCAGTGGCGCTAGCTGGTTTCGCCACCGTGGCGCAAG AGTCAGGAGGC (SEC ID NO:81)

CTGAGGTTCAGCTGGTCG

45 cebador 3': GCCTGAGTTCCACGACAC (SEC ID NO:82)

Después de la PCR, el producto se purificó, se digirió con las enzimas Nhel y Apal y después se sub-clonó en el vector pADNbEng-G1 (Figura 19). Después de la verificación por secuenciación del ADN, la cadena pesada se restringió con la enzima EcoRl y se sub-clonó en el sitio EcoRl de pTTO(hTNF40L) para crear el plásmido de expresión de E. coli pTTO(hTNF40).

50 Optimización de la secuencia intergénica para la expresión de Fab modificado

En el vector pTTO, la expresión del Fab modificado se produce a partir de un mensajero dicistrónico que codifica primero la cadena ligera y después la cadena pesada. La secuencia de ADN entre los dos genes (secuencia

intergénica, IGS) puede influir sobre el nivel de expresión de la cadena pesada afectando a la velocidad de iniciación de la traducción. Por ejemplo, una secuencia intergénica corta puede ocasionar un acoplamiento de traducción entre las cadenas ligera y pesada, ya que el ribosoma de traducción puede no disociar completamente el ARNm después de completar la síntesis de la cadena ligera antes de iniciar la síntesis de la cadena pesada. La fuerza de cualquier sitio de unión a ribosomas de Shine Dalgarno (SD) (homología con el ARNr 16S) también puede tener un efecto, así como la distancia y la composición de la secuencia entre el SD y el codón de iniciación ATG. La estructura secundaria potencial del ARNm alrededor del ATG es otro factor importante; el ATG debe estar en un bucle y no limitado dentro de un tramo recto, mientras que se aplica lo contrario al SD. De esta manera, modificando la composición y la longitud del IGS, es posible modificar la fuerza de iniciación de la traducción y, por lo tanto, el nivel de producción de cadena pesada. Es probable que necesite conseguirse una velocidad óptima de iniciación de la traducción para maximizar la expresión de la cadena pesada de un Fab modificado dado. Por ejemplo, con un Fab modificado, puede tolerarse un alto nivel de expresión, pero para un Fab modificado diferente con una secuencia de aminoácidos diferente, un alto nivel de expresión podría resultar tóxico, quizás a causa de las diferentes eficacias de secreción o plegamiento. Por esta razón, se diseñó una serie de cuatro secuencias intergénicas (Figura 20). permitiendo la determinación empírica de la IGS óptima para los Fab modificados basados en hTNF40. IGS1 e IGS2 tienen secuencias intergénicas muy cortas (-1 y +1 respectivamente) y sería de esperar que proporcionaran una traducción muy acoplada: las secuencias SD (subrayadas) son sutilmente diferentes. Lo más probable es que estas dos secuencias confieran un alto nivel de iniciación de la traducción. IGS3 e IGS4 tienen una mayor distancia entre los codones de iniciación y de parada (+13) y difieren en su composición de secuencia; IGS3 tiene una secuencia SD más fuerte. En todas las secuencias se estudió la estructura secundaria (usando el programa m/fold) y se optimizaron tanto como fue posible; sin embargo, con un fuerte acoplamiento de traducción de las dos cadenas, la ausencia de disociación ribosómica significa que el ARNm puede no estar expuesto, impidiendo la formación de la estructura secundaria.

Clonación de variantes de IGS

5

10

15

20

25

30

35

40

45

50

55

Los cassettes IGS mostrados en la Figura 20 tienen sitios de Clonación Sacl y Munl flanqueantes. Se construyeron templando pares de oligonucleótidos complementarios. Se preparó un fragmento de vector digiriendo pTTO(hTNF40) con Sacl y Notl y se preparó un fragmento de cadena pesada digiriendo pADNbEngG1(hTNF40H) con Munl y Notl. Después se realizaron uniones de 3 vías, usando cantidades equimolares de los dos fragmentos de restricción y aproximadamente 0,05 pmol de cada cassette de oligonucleótido templado. De esta forma se crearon los cuatro plásmidos de expresión pTTO(hTNF40 IGS-1), pTTO(hTNF40 IGS-2), pTTO(hTNF40 IGS-3) y pTTO(hTNF40 IGS-4).

Análisis de expresión en matraz de agitación

Los cuatro plásmidos se utilizaron para transformar la cepa W3110 de E. coli junto con la construcción de expresión original, y después esta cepa se analizó con respecto a la expresión en matraces de agitación como se ha descrito anteriormente. En la Figura 21 se muestran los resultados de un experimento típico. Las diferentes secuencias intergénicas confieren diferentes perfiles de expresión. IGS1 e IGS2 acumulan Fab modificado periplásmico rápidamente, observándose un pico una hora después de la inducción, después de lo cual disminuye el nivel recuperado. En el caso de IGS1 el pico es mayor y la caída más aguda. Estos resultados son coherentes con un alto nivel de síntesis, como era de esperar por el estricto acoplamiento traduccional para estas construcciones. Aparentemente, IGS1 confiere un mayor nivel de expresión de cadena pesada que IGS2. En este caso, parece ser que este alto nivel de expresión se tolera mal, ya que los niveles de expresión periplásmicos se reducen después del pico de 1 hora. Esto se observa en el perfil de crecimiento del cultivo de IGS1 (no mostrado), que muestra picos 1 hora después de la inducción antes de la disminución, lo que sugiere muerte y lisis celular. IGS3 acumula Fab modificado más lentamente, pero alcanza picos 2 horas después de la inducción observándose un pico mayor (325 nm/ml/DO) antes de que se reduzcan los niveles. El crecimiento de este cultivo continuó hasta 3 horas después de la inducción y alcanzó una biomasa pico mayor (no mostrada). Esto es coherente con un nivel menor de síntesis de cadenas pesadas. IGS4 acumula material a una velocidad más lenta y no puede alcanzar el pico elevado de productividad de las otras tres construcciones. Todas las variantes de IGS superan al vector original significativamente. La hipótesis de que las diferentes secuencias de IGS confieren diferentes velocidades de iniciación de la traducción se confirma por estos resultados experimentales. Para el Fab modificado basado en hTNF40, parece ser que una alta velocidad de iniciación de la traducción de la cadena pesada se tolera mal y, por lo tanto, no es óptima. Una velocidad más lenta, como la conferida por IGS3, proporciona mejores características de crecimiento y, por consiguiente, se acumula un mejor rendimiento a lo largo del tiempo.

Después de la comparación de la productividad en el fermentador, se seleccionó la construcción IGS3 como la que producía el mayor rendimiento y se denominó pTTO(CDP870) -véase la Figura 22.

La cadena pesada codificada por el plásmido pTTO(CDP870) tiene la secuencia indicada en la SEC ID NO: 115 y la cadena ligera tiene la secuencia indicada en SEC ID NO: 113.

PEGilación de Fab modificado basado en hTNF40 con CDR injertada

El Fab modificado purificado se conjuga, de una forma específica para la localización, con una molécula ramificada

de PEG. Esto se consigue por activación de un solo resto de cisteína en una región de bisagra truncada del Fab modificado, seguida de la reacción con (PEG)-lisil maleimida como se ha descrito previamente (A.P. Chapman y col., Nature Biotechnology 17 780-783; 1999). La molécula PEGilada se muestra en la Figura 13 y se denomina compuesto CDP870.

5 Eficacia del Fab modificado basado en hTNF40 con CDR injertada PEGilado (CDP870) en el tratamiento de la artritis reumatoide

CDP870 tiene una vida media prolongada de aproximadamente 11 días.

Los presentes solicitantes evaluaron la seguridad y la eficacia del CDP870 intravenoso en un ensayo de aumento de la dosis aleatorio, doble ciego, controlado con placebo, realizado en pacientes con RA.

10 Métodos

15

20

25

30

35

40

45

50

Pacientes:

Se reclutaron pacientes con edades comprendidas entre los 18 y los 75 años y que cumplían el criterio de diagnóstico del American College of Rheumatology (ACR), revisado en 1987, para la artritis reumatoide (RA) (Arnett y col., Arthritis Rheum., 31, 315-324, 1988), de clínicas externas de reumatología de Londres, Cambridge, Norfolk y Norwich (Reino Unido). Se requería que los pacientes tuvieran la enfermedad clínicamente activa, como se define por tener al menos 3 de los siguientes criterios: >= 6 articulaciones sensibles o dolorosas; >= 45 minutos de rigidez por la mañana temprano; y una velocidad de sedimentación de eritrocitos (ESR) >= 28 mm/h. Se requiere que estos pacientes hayan fracasado en la respuesta a al menos un Fármaco Anti-Reumático Modificador de la Enfermedad (DRARD) y que hayan estado sin tratamiento durante al menos cuatro semanas. Se permitió la administración de corticosteroides si la dosis era >= 7,5 mg/día de prednisolona. Se excluyeron las mujeres embarazadas, las mujeres en período de lactancia y las mujeres en edad fértil que no usaban un método anticonceptivo eficaz. También se excluyeron los pacientes si habían tenido una historia previa de malignidad, afecciones médicas graves concomitantes incontroladas, fracaso previo de una terapia neutralizadora de TNFα o alergia a polietilenglicol. Se obtuvo un consentimiento informado por escrito de cada paciente antes de la inclusión. El estudio se aprobó por el comité de ética de investigación local.

Protocolo de tratamiento:

36 pacientes RA se dividieron en 3 grupos, cada uno para recibir una dosis creciente del fármaco de ensayo (1, 5 ó 20 mg/kg). Cada grupo de 12 se dividió aleatoriamente en 8 para recibir CDP870 y 4 para recibir placebo. El CDP870 se administró como una sola infusión ultravenosa (100 ml en total) durante 60 minutos. El placebo (tampón acetato sódico) se administró de forma similar como una sola infusión intravenosa de 100 ml durante 60 minutos. El tratamiento se administró en una base de pacientes externos. Después de 8 semanas, todos los pacientes tuvieron la oportunidad de recibir una infusión de 5 ó 20 mg/kg de CDP870 de una forma descubierta.

Evaluación clínica:

La actividad de la enfermedad RA se evaluó basándose en las series de datos centrales de la Organización Mundial de la Salud, de la Liga Internacional de Asociaciones de Reumatología (Boers y col., J. Rheumatol- Supplement, 41, 86-89, 1994) y de la Liga Europea Contra el Reumatismo (EULAR) (Scott y col., Clin. Exp. Rheumatol., 10, 521-525, 1992) con 28 articulaciones. Los cambios en la actividad de la enfermedad se evaluaron por la Puntuación de la Actividad de la Enfermedad (Prevoo y col., Arthritis Rheum., 38, 44-48, 1995) y los criterios de respuestas ACR (Felson y col., Arthritis Rheum., 38, 727-735, 1995). Las evaluaciones se realizaron antes del tratamiento y 1, 2, 4, 6 y 8 semanas después de la terapia. En los pacientes también se evaluó la seguridad y la tolerancia del fármaco de estudio. En cada visita se evaluaron la hematología, la bioquímica, los anticuerpos anti-CDP870 y los acontecimientos adversos.

Concentración de CDP870 en plasma y anticuerpos anti-CDP870:

CDP870 se midió por el ensayo de inmunoabsorbente con enzima unida (ELISA). Se incubaron diluciones en serie del plasma de los pacientes en placas de microvaloración (Nunc) recubiertas con TNFα humano recombinante (Strathmann Biotech GmbH, Hannover). El CDP870 capturado se reveló con anticuerpo de cabra anti-cadena ligera kappa humana conjugado con peroxidasa de rábano picante (Cappel, ICN) seguido de sustrato de tetrametilbencidina (TMB).

Los anticuerpos contra CDP870 se seleccionaron (a una dilución de plasma de 1/10) usando un ELISA de sandwich de doble antígeno con CDP870 biotinilado como segunda capa. Los anticuerpos unidos se revelaron usando HRP-estreptavidina y sustrato de TMB. El ensayo se calibró usando un patrón de IgG de conejo hiperinmune. Una unidad de actividad es equivalente a 1 g del patrón de conejo.

Análisis estadístico

El estudio fue de naturaleza exploratoria y el tamaño de la muestra se basó en la experiencia previa con agentes

similares. La eficacia de CDP870 se analizó calculando la puntuación de actividad de la enfermedad (DAS) y las respuestas ACR20/50 para la intención del tratamiento y por protocolo, usando un procedimiento de ensayo cerrado. La puntuación de la actividad de la enfermedad se calculó como se indica a continuación: DAS = 0,555 x raíz cuadrada de (28 articulaciones sensibles) + 0,284 x raíz cuadrada de (28 articulaciones hinchadas) + 0,7 x ln(ESR) + 0,0142 x (evaluación global del paciente). En primer lugar se compararon los grupos activos reunidos con el placebo. Si esta comparación era significativa a un nivel del 5%, cada grupo de dosificación se comparó con el placebo. Todas las comparaciones fueron bilaterales con un nivel significación del 5%. Todos los valores P procedían del análisis exploratorio y no deben usarse para la interpretación inferencial.

Resultados

10 Demografía:

5

15

20

25

30

35

40

45

Se reclutaron 36 pacientes con RA. Sus detalles demográficos se proporcionan en la Tabla 6. La edad media era de 56 años y 30 pacientes eran mujeres. La duración media de la RA era 13 años y 21 pacientes eran positivos para el factor reumatoide. Los pacientes de los diferentes grupos tienen características demográficas similares. En el período de dosificación ciego, 6/12 pacientes tratados con placebo abandonaron el estudio por una RA progresiva >= 4 semanas después de la dosificación. 2/24 pacientes tratados con CDP870 abandonaron el estudio, los dos del grupo de 1 mg/kg, por una RA progresiva/pérdida del seguimiento >4 semanas después de la dosificación. La diferencia fue estadísticamente significativa (p=0,009, ensayo exacto de Fisher).

TABLA 6 Detalles demográficos (media +- desviación típica)

	Número	Sexo (M:F)	Edad	Duración enfermedad	Factor reumatoide	Número DMARD previos	de
Placebo	12	1.11	51±8	12±8	8(67%)	5±1	
1 mg/kg	8	1:7	59±7	12±7	4(50%)	4±1	
5m g/kg	8	2:6	54±13	13±5	5(63%)	5±2	
20 mg/kg	8	2.6	61±11	14±13	4(50%)	4±2	

Eficacia clínica:

La proporción de pacientes con mejoría de ACR20 para la población por protocolo con la última observación realizada fue del 16,7, 50, 87,5 y 62,5%, después de la administración del placebo, 1, 5 y 20 mg/kg de CDP870 (efecto de tratamiento combinado p=0,012) a las 4 semanas, y del 16,7, 25, 75 y 75% (p=0,032) a las 8 semanas. La reducción en las puntuaciones DAS (media) para la población por protocolo con la última observación realizada fue de 0,15, 1,14, 1,91 y 1,95 después del placebo, 1, 5 y 20 mg/kg de CDP870 (efecto de tratamiento combinado p=0,001) a las 4 semanas y de 0,31, 0,09, 2,09 y 1,76 (p=0,008) a las 8 semanas (Figura 23). En la Figura 24 se muestran los cambios en los componentes individuales de la serie de datos centrales de la Organización Mundial de la Salud y la Liga Internacional de Asociaciones para Reumatología.

Después de la dosis descubierta de CDP870, se consiguieron efectos beneficiosos similares. De los 36 pacientes reclutados en el estudio, 32 recibieron una segunda infusión de CDP870. La proporción de pacientes con mejoría de ACR20 desde antes de la primera infusión, después de la administración de 5 y 20 mg/kg de CDP870, fue del 72,2 y del 55,6% a las 4 semanas y del 55,6 y del 66,7% a las 8 semanas.

Acontecimientos adversos

El tratamiento fue bien tolerado sin reacciones relacionadas con la infusión. No se identificó ninguna reacción alérgica ni exantema cutáneo. En la fase doble ciego, hubo 19, 38, 8 y 14 acontecimientos adversos en los grupos de placebo, 1, 5 y 20 mg/kg, respectivamente. Los acontecimientos adversos más comunes fueron dolor de cabeza, con 9 episodios en 5 pacientes (1 placebo, 3 a 1 mg/kg y 1 a 20 mg/kg). Un paciente que recibió placebo y tres pacientes que recibieron CDP870 (1 a 5 mg/kg y 2 a 20 mg/kg) desarrollaron infecciones del tracto respiratorio inferior. Estos acontecimientos se consideraron leves o moderados. Se trataron con antibióticos orales y se resolvieron en un período de 1-2 semanas. Tres pacientes de cada uno de los grupos de 1 y 5 mg/kg y uno del grupo de 20 ng/kg desarrollaron una infección del tracto urinario 1-2 meses después del tratamiento con CDP870. Un acontecimiento adverso, que era un episodio de dolor de cuello que se produjo tres días después de la infusión con 1 mg/kg, se consideró grave. Se observó un aumento de anticuerpos antinucleares en 4 pacientes: 1 en el grupo del placebo (negativo a 1/40), 2 en el grupo de 1 mg/kg (negativo a 1/40, negativo a 1/80) y 1 en el grupo de 20 mg/kg (negativo a 1/40). No se encontró ningún cambio en los anticuerpos anti-ADN o anti-cardiolipina.

Concentración de CDP870 en plasma y niveles de anti-CDP870

Como era de esperar, para todos los niveles de dosificación de CDP870, la concentración pico en plasma se alcanzó

al final de la infusión y era proporcional a la dosis, reduciéndose posteriormente la concentración en plasma de forma lenta. El perfil de concentración en plasma de CDP870 parecía muy similar al observado previamente en voluntarios, en los que se calculó una vida media de aproximadamente 14 días. Tras la redosificación, se observó un perfil similar para la infusión de una sola dosis.

Después de una sola infusión intravenosa, los niveles de anti-CDP870 fueron bajos o indetectables.

Discusión

5

10

30

El TNF α neutralizador es una estrategia de tratamiento eficaz en RA. Actualmente, requiere el uso de agentes biológicos tales como un mAb quimérico o una proteína de fusión de receptor soluble/Fc humano, que son caros de fabricar. Un agente neutralizador de TNF α terapéutico necesita unirse a TNF α con alta afinidad y tener una alta vida media en plasma, baja antigenicidad y alta tolerancia y seguridad. También necesita ser accesible a todos los pacientes con RA que puedan aprovecharse del bloqueo de TNF α . Una tecnología que podría conseguir estos objetivos es la conjugación con polietilenglicol de un fragmento de anticuerpo de unión a TNF α obtenido en E. coli. En este estudio preliminar, los presente solicitantes descubrieron que CDP870, un Fab modificado PEGilado, anti-TNF α , es eficaz y se tolera bien por los pacientes con RA.

Los estudios in vitro han demostrado que CDP870 tiene una actividad neutralizadora de TNFα similar al anticuerpo parental murino anti-TNFα. Este estudio confirma que CDP870 reducía la inflamación y mejoraba los síntomas en RA. La mejoría clínica medida por el criterio de respuesta ACR20 en los grupos de 5 y 20 mg/kg (75%, 75%) fue comparable a la del etanercept (60%) (Moreland y col., Annals Int. Med., 130, 478-486, 1999) e infliximab (50%) (Maini y col., Lancet, 354, 1932-1939, 1999). A los niveles de dosificación medio y máximo ensayados, el efecto terapéutico duró 8 semanas, que es comparable a otros mAb previos (Elliott y col., Lancet, 344, 1105-1110, 1994 y Rankin y col., Br. J. Rheumatol., 34, 334-342, 1995). El estudio previo ha demostrado que el efecto terapéutico del anticuerpo anti-TNFα está relacionado con su vida media en plasma y con la generación de anticuerpos circulantes (Maini y col., Arthritis Rheum, 38, (Supplement): S186 1995 (Abstract)). El estudio de los presentes solicitantes demostró que CDP870 tiene una vida media en plasma de 14 días, que es equivalente a la de un anticuerpo entero (Rankin y col., (supra)) y mucho mayor que la vida media de fragmentos Fab' no conjugados. Además, CDP870 generó niveles muy bajos de respuesta de anticuerpo.

Uno de los objetivos importantes de este estudio es examinar la tolerancia y seguridad de la administración de este Fab' PEGilado. En nuestro estudio, CDP870 parece tolerarse bien. Sin embargo, se necesitarán otros estudios para evaluar la toxicidad a largo plazo, especialmente el riesgo de enfermedad desmielinizante, infección y exantemas cutáneos que se han notificado con etanercept e infliximab.

En resumen, CDP870 es terapéuticamente eficaz en RA y se toleró bien en este estudio a corto plazo.

Debe entenderse que los ejemplos descritos anteriormente son simplemente ilustrativos y no limitan el alcance de la presente invención como se define en las siguientes reivindicaciones.

Listado de Secuencias

```
<110> UCB Pharma SA
        <120> MOLÉCULAS DE ANTICUERPO QUE TIENEN ESPECIFICIDAD POR EL FACTOR DE NECROSIS
5
        TUMORAL ALFA HUMANO Y SUS USOS
        <130> PA406 EP DIV2
10
        <150> EP01934209.6
        <151> 05-06-2001
        <150> EP09176251.8
        <151> 17-11-2009
15
        <160> 129
        <170> PatentIn Verión 3.5
20
        <210> 1
        <211>5
        <212> PRT
        <213> Secuencia artificial
        <220>
25
        <223> Descripción de la Secuencia artificial:hTNF40 CDRH1
        <400> 1
        Asp Tyr Gly Met Asn
30
        <210> 2
        <211> 17
        <212> PRT
        <213> Secuencia artificial
35
        <220>
        <223> Descripción de la Secuencia artificial: hTNF40 CDRH2 híbrida humana
        <400> 2
        Trp Ile Asn Thr Tyr Ile Gly Glu Pro Ile Tyr Ala Asp Ser Val Lys
                                                                   15
        Gly
40
        <210>3
        <211>9
        <212> PRT
        <213> Secuencia artificial
45
        <223> Descripción de la Secuencia artificial: hTNF40 CDRH3
50
        <400> 3
        Gly Tyr Arg Ser Tyr Ala Met Asp Tyr
        <210> 4
        <211> 11
        <212> PRT
55
        <213> Secuencia artificial
        <220:
        <223> Descripción de la Secuencia artificial:hTNF40 CDRL1
60
        <400> 4
```

```
Lys Ala Ser Gln Asn Val Gly Thr Asn Val Ala
                             5
        <210> 5
        <211>7
5
        <212> PRT
        <213> Secuencia artificial
        <220>
        <223> Descripción de la Secuencia artificial:hTNF40 CDRL2
10
        <400> 5
        Ser Ala Ser Phe Leu Tyr Ser
        <210>6
15
        <211> 9
        <212> PRT
        <213> Secuencia artificial
        <220>
20
        <223> Descripción de la Secuencia artificial: hTNF40 CDRL3
        <400> 6
        Gln Gln Tyr Asn Ile Tyr Pro Leu Thr
25
        <210>7
        <211> 17
        <212> PRT
        <213> Secuencia artificial
30
        <220>
        <223> Descripción de la Secuencia artificial: hTNF40 CDRH2
        <400> 7
        Trp Ile Asn Thr Tyr Ile Gly Glu Pro Ile Tyr Val Asp Asp Phe Lys
                                              10
        Gly
35
        <210>8
        <211> 321
        <212> ADN
        <213> Secuencia artificial
40
        <220>
        <223> Descripción de la Secuencia artificial: hTNF40-gL1
        <220>
45
        <221> CDS
        <222> (1)..(321)
        <400> 8
```

						cag Gln											48
						act Thr											96
						caa Gln											144
						ctc Leu											192
			_			gat Asp 70											240
	-	~		_		tat Tyr		_		_							288
				_		act Thr		_	_								321
<21 <21	0> 9 1> 1 2> A 3> S	DN	ncia	artific	ial												
<22 <22	-	onstr	ucto	sinté	tico												
	0> 9	OHSU	ucto	Sirito	lico												
A 1	-	le G	ln M	let T 5	hr G	ln Se	er Pr	o Se	r Se:	r Let	ı Ser	: Ala	Ser	Val	Gly		
A	sp A	rg V	al T	hr I	le T	nr Cy	/s Ly	s Al	a Se	r Glr	n Asn	val	Gly	Thr	Asn		
			:	20					25					30			
V	al A		rp '	Tyr	Gln	Gln	Lys	Pro 40	Gly	Lys	Ala	Pro	Lys 45	: Ala	a Le	ı Ile	
Т		er A	la :	Ser	Phe		Tyr 55	Ser	Gly	Val	Pro	Tyr 60	Arg	J Ph€	e Se	r Gly	
S-6		ly s	Ger (Gly		Asp 70	Phe	Thr	Leu	Thr	Ile 75	Ser	Ser	Let	ı Glı	n Pro 80	
G	lu A	sp I	he .		Thr 85	Tyr	Tyr	Cys	Gln	Gln 90	Tyr	Asn	Ile	туі	95	o Leu	
T	hr P	he C	-	Gln 100	Gly	Thr	Lys	Val	Glu 105	Ile	Lys						

<210> 10

	<211> 321 <212> ADN <213> Sec		artific	ial												
5	<220> <223> Des	cripció	n de la	a Sec	uenci	a artif	icial:h	TNF4	10-gL:	2						
10	<220> <221> CDS <222> (1)															
	<400> 10															
	gac at Asp Il 1		_		_	-						_		_		48
	gac cg Asp Ar															96
	gta gc Val Al															144
	tac ag Tyr Se 50	r Āla														192
	tcc gg Ser Gl 65	t agt y Ser	ggt Gly	act Thr	gat Asp 70	ttc Phe	acc Thr	ctc Leu	acg Thr	atc Ile 75	agt Ser	agc Ser	ctc Leu	cag Gln	cca Pro 80	240
	gaa ga Glu As															288
15	aca ttc Thr Phe	Gly					Val									321
20	<210> 11 <211> 107 <212> PR7 <213> Sec		artific	ial												
25	<220> <221> Con	structo	sinté	tico												
_•	<400> 11															

	Asp 1	Ile	Gln	Met	Thr 5	Gln	Ser	Pro	Ser	Ser 10	Leu	Ser	Ala	Ser	Val 15	Gly	
	Asp	Arg	Val	Thr 20	Ile	Thr	Сув	Lys	Ala 25	Ser	Gln	Asn	Val	Gly 30	Thr	Asn	
	Val	Ala	Trp 35	Tyr	Gln	Gln	Lys	Pro 40	Gly	Lys	Ala	Pro	Lys 45	Leu	Leu	Ile	
	Tyr	Ser 50	Ala	Ser	Phe	Leu	Tyr 55	Ser	Gly	Val	Pro	Tyr 60	Arg	Phe	Ser	Gly	
	Ser 65	Gly	Ser	Gly	Thr	Asp 70	Phe	Thr	Leu	Thr	Ile 75	Ser	Ser	Leu	Gln	Pro 80	
	Glu	Asp	Phe	Ala	Thr 85	Tyr	Tyr	Cys	Gln	Gln 90	Tyr	Asn	Ile	Tyr	Pro 95	Leu	
	Thr	Phe	Gly	Gln 100	Gly	Thr	Lys	Val	Glu 105		Lys	:					
5	<210><211><211><212><213>	> 354 > ADN		a artif	icial												
10	<220> <223>		cripció	ón de	la Se	cuen	cia ar	tificia	ıl: gh′	1hTNI	F40.4	ļ					
	<220> <221> <222>	CDS															
15	<400>	12															
									Ala			ag a Lys Ly			y Al		4

	gtc Val																96
	atg Met																144
	tgg Trp 50																192
	ggc Gly			Thr													240
_	gag Glu	_			_	_			_		_				_		288
	aga Arg								Asp								336
	gtc Val	Thr	_														354
<210> <211> <212>	118 PRT	115															
<213> <220>	Secu	encia	artific	cial													
<223>	Cons	tructo	sinté	etico													
	40																
<400>	13																
		. Glr	ı Leı	ı Val	l G1	n S	er (Gly .	Ala	Glu 10	Val	Lys	Lys	Pro	Gly 15	Ala	
Glr 1	n Val			5				Ala		10		-			_		
Glr 1 Ser	n Val	. Lys	s Va] 20	5 Sei	с Су	s L	ys <i>l</i> ln <i>l</i>	Ala	Ser 25	10 Gly	Tyr	Val	Phe	Thr 30	15	Tyr	
Glr 1 Ser	val	Lys Asr 35	s Val 20 n Trị	5 L Ser	c Cy	s L	ys ! ln !	Ala Ala 40	Ser 25 Pro	Gly	Tyr Gln	Val Gly	Phe Leu 45	Thr 30 Glu	15 Asp	Tyr Met	
Glr 1 Ser Gly	val	. Lys : Asr 35	S Val 20 n Trp	Ser Val	c Cy L Ar	g G	ys / ln / le (Ala Ala 40	Ser 25 Pro Glu	Gly Gly Pro	Tyr Gln Ile	Val Gly Tyr 60	Phe Leu 45	Thr 30 Glu Gln	15 Asp Trp	Tyr Met Phe	
Glr Ser Gly Glr 65	Val	Lys: Asr	Val	5 Val	Cy L Ar Ty 70	g G.	lln /	Ala Ala 40 Gly	Ser 25 Pro Glu Asp	Gly Gly Pro	Tyr Gln Ile Ser 75	Val Gly Tyr 60	Phe Leu 45 Ala	Thr 30 Glu Gln	Asp Trp Lys	Tyr Met Phe Tyr 80	
Glr Glr Glr 65	v Val	. Lys	Val	Ser Vall	Cy L Ar Ty Ph 70	g G. r II	lln 1	Ala Ala 40 Gly	Ser 25 Pro Glu Asp	Gly Gly Pro Thr Asp	Tyr Gln Ile Ser 75	Val Gly Tyr 60 Thr	Phe Leu 45 Ala Ser	Thr 30 Glu Gln Thr	Asp Trp Lys Ala	Tyr Met Phe Tyr 80	

```
<210> 14
         <211> 354
         <212> ADN
         <213> Secuencia artificial
 5
         <223> Descripción de la Secuencia artificial: gh3hTNF40.4 (Figura 11)
        <220>
10
         <221> CDS
         <222> (1)..(354)
         <400> 14
           gag gtt cag ctg gtc gag tca gga ggc ggt ctc gtg cag cct ggc gga
                                                                                         48
           Glu Val Gln Leu Val Glu Ser Gly Gly Gly Leu Val Gln Pro Gly Gly
                                                 10
           tca ctg aga ttg tcc tgt gct gca tct ggt tac gtc ttc aca gac tat
                                                                                         96
           Ser Leu Arg Leu Ser Cys Ala Ala Ser Gly Tyr Val Phe Thr Asp Tyr
           gga atg aat tgg gtt aga cag gcc ccg gga aag ggc ctg gaa tgg atg
                                                                                        144
           Gly Met Asn Trp Val Arg Gln Ala Pro Gly Lys Gly Leu Glu Trp Met
                                                                                        192
           ggt tgg att aat act tac att gga gag cct att tat gct gac agc gtc
           Gly Trp Ile Asn Thr Tyr Ile Gly Glu Pro Ile Tyr Ala Asp Ser Val
                                                                                        240
           aag ggc aga ttc acg ttc tct cta gac aca tcc aag tca aca gca tac
           Lys Gly Arg Phe Thr Phe Ser Leu Asp Thr Ser Lys Ser Thr Ala Tyr
           65
                                70
           ctc caa atg aat agc ctg aga gca gag gac acc gca gtg tac tat tgt
                                                                                        288
           Leu Gln Met Asn Ser Leu Arg Ala Glu Asp Thr Ala Val Tyr Tyr Cys
                            85
                                                  90
           gct aga gga tac aga tct tat gcc atg gac tac tgg ggc cag ggt acc Ala Arg Gly Tyr Arg Ser Tyr Ala Met Asp Tyr Trp Gly Gln Gly Thr
                                                                                        336
                                             105
                       100
                                                                                        354
           cta gtc aca gtc tcc tca
           Leu Val Thr Val Ser Ser
                   115
15
         <210> 15
         <211> 118
         <212> PRT
20
         <213> Secuencia artificial
        <220>
         <223> Constructo sintético
```

25

<400> 15

```
Glu Val Gln Leu Val Glu Ser Gly Gly Gly Leu Val Gln Pro Gly Gly
          Ser Leu Arg Leu Ser Cys Ala Ala Ser Gly Tyr Val Phe Thr Asp Tyr
         Gly Met Asn Trp Val Arg Gln Ala Pro Gly Lys Gly Leu Glu Trp Met
                                         40
          Gly Trp Ile Asn Thr Tyr Ile Gly Glu Pro Ile Tyr Ala Asp Ser Val
          Lys Gly Arg Phe Thr Phe Ser Leu Asp Thr Ser Lys Ser Thr Ala Tyr
                               70
         Leu Gln Met Asn Ser Leu Arg Ala Glu Asp Thr Ala Val Tyr Tyr Cys
         Ala Arg Gly Tyr Arg Ser Tyr Ala Met Asp Tyr Trp Gly Gln Gly Thr
                                            105
                      100
         Leu Val Thr Val Ser Ser
        <210> 16
        <211> 26
        <212> ADN
        <213> Secuencia Artificial
5
        <223> Descripción de Secuencia Artificial: cebador CH1
        <400> 16
        atgaaatgca gctgggtcat sttctt
                                      26
10
        <210> 17
        <211> 26
        <212> ADN
        <213> Secuencia Artificial
15
        <223> Descripción de Secuencia Artificial: cebador CH2
        <400> 17
        atgggatgga gctrtatcat sytctt
                                      26
        <210> 18
        <211> 26
20
        <212> ADN
        <213> Secuencia Artificial
        <223> Descripción de Secuencia Artificial: cebador CH3
        <400> 18
25
        atgaagwtgt ggttaaactg ggtttt
                                       26
        <210> 19
        <211> 23
        <212> ADN
        <213> Secuencia Artificial
30
        <223> Descripción de Secuencia Artificial: cebador CH4
        <400> 19
```

	atgractttg ggytcagctt grt 23
5	<210> 20 <211> 26 <212> ADN <213> Secuencia Artificial
	<220> <223> Descripción de Secuencia Artificial: cebador CH5
	<400> 20 atggactcca ggctcaattt agtttt 26
10	<210> 21 <211> 26 <212> ADN <213> Secuencia Artificial
15	<220> <223> Descripción de Secuencia Artificial: cebador CH6
	<400> 21 atggctgtcy trgsgctrct cttctg 26
20	<210> 22 <211> 26 <212> ADN <213> Secuencia Artificial
	<220> <223> Descripción de Secuencia Artificial: cebador CH7
25	<400> 22 atggratgga gckggrtctt tmtctt 26
	<210> 23 <211> 23 <212> ADN <213> Secuencia Artificial
30	<220> <223> Descripción de Secuencia Artificial: cebador CH8
	<400> 23 atgagagtgc tgattctttt gtg 23
35	<210> 24 <211> 26 <212> ADN <213> Secuencia Artificial
	<220> <223> Descripción de Secuencia Artificial: cebador CH9
40	<400> 24 atggmttggg tgtggamctt gctatt 26
45	<210> 25 <211> 26 <212> ADN <213> Secuencia Artificial
	<220> <223> Descripción de Secuencia Artificial: cebador CH10
	<400> 25 atgggcagac ttacattctc attcct 26
50	<210> 26 <211> 28 <212> ADN <213> Secuencia Artificial
	<220>

```
<223> Descripción de Secuencia Artificial: cebador CH11
         <400> 26
                                         28
         atggattttg ggctgatttt ttttattg
         <210> 27
 5
         <211> 26
         <212> ADN
         <213> Secuencia Artificial
         <220>
         <223> Descripción de Secuencia Artificial: cebador CH12
10
         atgatggtgt taagtcttct gtacct
                                         26
         <210> 28
         <211> 21
         <212> ADN
         <213> Secuencia Artificial
15
         <223> Descripción de Secuencia Artificial: extremo 5' del cebador
         <400> 28
         gcgcgcaagc ttgccgccac c
                                        21
20
         <210> 29
         <211> 29
         <212> ADN
         <213> Secuencia Artificial
25
         <223> Descripción de Secuencia Artificial: cebador CL1
         <400> 29
                                             29
         atgaagttgc ctgttaggct gttggtgct
         <210> 30
         <211> 29
30
         <212> ADN
         <213> Secuencia Artificial
         <223> Descripción de Secuencia Artificial: cebador CL2
         <400> 30
35
                                                29
         atggagwcag acacactcct gytatgggt
         <210> 31
         <211> 23
         <212> ADN
         <213> Secuencia Artificial
40
         <223> Descripción de Secuencia Artificial: cebador CL3
         <400> 31
                                        23
         atgagtgtgc tcactcaggt cct
         <210> 32
45
         <211> 26
         <212> ADN
         <213> Secuencia Artificial
         <223> Descripción de Secuencia Artificial: cebador CL4
50
         <400> 32
         atgaggrccc ctgctcagwt tyttgg
                                           26
         <210> 33
         <211> 29
         <212> ADN
```

	<213> Secuencia Artificial
	<220> <223> Descripción de Secuencia Artificial: cebador CL5
5	<400> 33 atggatttwc aggtgcagat twtcagctt 29
	<210> 34 <211> 29 <212> ADN <213> Secuencia Artificial
10	<220> <223> Descripción de Secuencia Artificial: cebador CL5A
	<400> 34 atggatttwc argtgcagat twtcagctt 29
15	<210> 35 <211> 26 <212> ADN <213> Secuencia Artificial
	<220> <223> Descripción de Secuencia Artificial: cebador CL6
20	<400> 35 atgaggtkcy ytgytsagyt yctgrg 26
25	<210> 36 <211> 23 <212> ADN <213> Secuencia Artificial
	<220> <223> Descripción de Secuencia Artificial: cebador CL7
	<400> 36 atgggcwtca agatggagtc aca 23
30	<210> 37 <211> 29 <212> ADN <213> Secuencia Artificial
35	<220> <223> Descripción de Secuencia Artificial: cebador CL8
	<400> 37 atgtggggay ctktttycmm tttttcaat 29
40	<210> 38 <211> 24 <212> ADN <213> Secuencia Artificial
	<220> <223> Descripción de Secuencia Artificial: cebador CL9
45	<400> 38 atggtrtccw casetcagtt cett 24
	<210> 39 <211> 26 <212> ADN <213> Secuencia Artificial
50	<220> <223> Descripción de Secuencia Artificial: cebador CL10
	<400> 39 atgtatatat gtttgttgtc tatttc 26
	<210> 40

	<211> 26 <212> ADN <213> Secuencia Artificial
5	<220> <223> Descripción de Secuencia Artificial: cebador CL11
	<400> 40 atggaagccc cagctcagct tctctt 26
10	<210> 41 <211> 26 <212> ADN <213> Secuencia Artificial
	<220> <223> Descripción de Secuencia Artificial: cebador CL12A
15	<400> 41 atgragtywc agacccaggt cttyrt 26
	<210> 42 <211> 26 <212> ADN <213> Secuencia Artificial
20	<220> <223> Descripción de Secuencia Artificial: cebador CL12E
	<400> 42 atggagacac attctcaggt ctttgt 26
25	<210> 43 <211> 26 <212> ADN <213> Secuencia Artificial
	<220> <223> Descripción de Secuencia Artificial: cebador CL13
30	<400> 43 atggattcac aggcccaggt tcttat 26
35	<210> 44 <211> 26 <212> ADN <213> Secuencia Artificial
	<220> <223> Descripción de Secuencia Artificial: cebador CL14
	<400> 44 atgatgagtc ctgcccagtt cctgtt 26
40	<210> 45 <211> 29 <212> ADN <213> Secuencia Artificial
45	<220> <223> Descripción de Secuencia Artificial: cebador CL15
	<400> 45 atgaatttgc ctgttcatct cttggtgct 29
50	<210> 46 <211> 29 <212> ADN <213> Secuencia Artificial
	<220> <223> Descripción de Secuencia Artificial: cebador CL16
	<400> 46

	atggattttc aattggtcct catctcctt 29
5	<210> 47 <211> 26 <212> ADN <213> Secuencia Artificial
	<220> <223> Descripción de Secuencia Artificial: cebador CL17A
	<400> 47 atgaggtgcc tarctsagtt cctgrg 26
10	<210> 48 <211> 26 <212> ADN <213> Secuencia Artificial
15	<220> <223> Descripción de Secuencia Artificial: cebador CL17B
	<400> 48 atgaagtact ctgctcagtt tctagg 26
20	<210> 49 <211> 26 <212> ADN <213> Secuencia Artificial
	<220> <223> Descripción de Secuencia Artificial: cebador CL17C
25	<400> 49 atgaggcatt ctcttcaatt cttggg 26
	<210> 50 <211> 21 <212> ADN <213> Secuencia Artificial
30	<220> <223> Descripción de Secuencia Artificial: extremo 5' del cebador
	<400> 50 ggactgttcg aagccgccac c 21
35	<210> 51 <211> 30 <212> ADN <213> Secuencia Artificial
	<220> <223> Descripción de Secuencia Artificial: cebador CL12
40	<400> 51 ggatacagtt ggtgcagcat ccgtacgttt 30
45	<210> 52 <211> 37 <212> ADN <213> Secuencia Artificial
	<220> <223> Descripción de Secuencia Artificial: cebador R2155
	<400> 52 gcagatgggc ccttcgttga ggctgmrgag acdgtga 37
50	<210> 53 <211> 24 <212> ADN <213> Secuencia Artificial
	<220>

	<223> Descripción de Secuencia Artificial: cebador R1053	
	<400> 53 gctgacagac taacagactg ttcc 24	
5	<210> 54 <211> 18 <212> ADN <213> Secuencia Artificial	
	<220> <223> Descripción de Secuencia Artificial: cebador R720	
10	<400> 54 gctctcggag gtgctcct 18	
15	<210> 55 <211> 70 <212> ADN <213> Secuencia Artificial	
	<220> <223> Descripción de Secuencia Artificial: oligonucleótido P7982	
	<400> 55 gaattcaggg tcaccatcac ttgtaaagcc agtcagaacg taggtactaa cgtagcctgg	60
	tatcagcaaa	70
20	<210> 56 <211> 71 <212> ADN <213> Secuencia Artificial	
25	<220> <223> Descripción de Secuencia Artificial: oligonucleótido P7983	
	<400> 56 atagaggaaa gaggcactgt agatgagggc ttttggggct ttacctggtt tttgctgata	60
	ccaggctacg t	71
30	<210> 57 <211> 71 <212> ADN <213> Secuencia Artificial	
	<220> <223> Descripción de Secuencia Artificial: oligonucleótido P7984	
	<400>57 tacagtgcct ctttcctcta tagtggtgta ccatacaggt tcagcggatc cggtagtggt	60
35	actgatttca c	71
	<210> 58 <211> 71 <212> ADN <213> Secuencia Artificial	
40	<220> <223> Descripción de Secuencia Artificial: oligonucleótido P7985	
	<400> 58 gacagtaata agtggcgaaa tettetgget ggaggetaet gategtgagg gtgaaateag	60
	taccactacc g	71
45	<210> 59 <211> 89 <212> ADN <213> Secuencia Artificial	
	<220> <223> Descripción de Secuencia Artificial: oligonucleótido P7986	

	<400>59 atttcgccac ttattactgt caacagtata acatctaccc actcacattc ggtcagggta	60
	ctaaagtaga aatcaaacgt acggaattc	8.9
5	<210> 60 <211> 30 <212> ADN <213> Secuencia Artificial	
	<220> <223> Descripción de Secuencia Artificial: oligonucleótido P7981	
10	<400> 60 gaattcaggg tcaccatcac ttgtaaagcc 30	
	<210> 61 <211> 30 <212> ADN <213> Secuencia Artificial	
15	<220> <223> Descripción de Secuencia Artificial: oligonucleótido P7980	
	<400> 61 gaattccgta cgtttgattt ctactttagt 30	
20	<210> 62 <211> 24 <212> ADN <213> Secuencia Artificial	
	<220> <223> Descripción de Secuencia Artificial: oligonucleótido R1053	
25	<400> 62 gctgacagac taacagactg ttcc 24	
30	<210> 63 <211> 57 <212> ADN <213> Secuencia Artificial	
	<220> <223> Descripción de Secuencia Artificial: oligonucleótido R5350	
	<400> 63 tctagatggc acaccatctg ctaagtttga tgcagcatag atcaggagct taggagc 57	
35	<210> 64 <211> 59 <212> ADN <213> Secuencia Artificial	
40	<220> <223> Descripción de Secuencia Artificial: oligonucleótido R5349	
	<400> 64 gcagatggtg tgccatctag attcagtggc agtggatcag gcacagactt taccctaac 59	
45	<210> 65 <211> 18 <212> ADN <213> Secuencia Artificial	
	<220> <223> Descripción de Secuencia Artificial: oligonucleótido R684	
50	<400> 65 ttcaactgct catcagat 18	
	<210> 66 <211> 65 <212> ADN	

	<213> Secuencia Artificial	
	<220> <223> Descripción de Secuencia Artificial: cebador P7989	
	<400>66 gaagcaccag gcttcttaac ctctgctcct gactggacca gctgcacctg agagtgcacg	60
5	aattc	65
	<210> 67 <211> 71 <212> ADN <213> Secuencia Artificial	
10	<220> <223> Descripción de Secuencia Artificial: cebador P7990	
	<400>67 ggttaagaag cctggtgctt ccgtcaaagt ttcgtgtaag gcctcaggct acgtgttcac	60
	agactatggt a	71
15	<210> 68 <211> 71 <212> ADN <213> Secuencia Artificial	
	<220> <223> Descripción de Secuencia Artificial: cebador P7991	
20	<400>68 ccaacccatc cattleagge ettgteecgg ggeetgettg acceaattea taccatagte	60
	tgtgaacacg t	71
25	<210> 69 <211> 81 <212> ADN <213> Secuencia Artificial	
	<220> <223> Descripción de Secuencia Artificial: cebador P7995	
	<400>69 ggcctgaaat ggatgggttg gattaatact tacattggag agcctattta tgttgacgac	60
	ttcaagggca gattcacgtt c	81
30	<210> 70 <211> 56 <212> ADN <213> Secuencia Artificial	
35	<220> <223> Descripción de Secuencia Artificial: cebador P7992	
	<400> 70 ccatgtatgc agtgcgttgt ggaggtgtct agagtgaacg tgaatctgcc cttgaa 56	
40	<210> 71 <211> 62 <212> ADN <213> Secuencia Artificial	
	<220> <223> Descripción de Secuencia Artificial: cebador P7993	
	<400>71 ccacaagcac tgcatacatg gagctgtcat ctctgagatc cgaggacacc gcagtgtact	60
45	at	62
	<210> 72 <211> 78	

	<212> ADN <213> Secuencia Artificial	
	<220> <223> Descripción de Secuencia Artificial: cebador P7994	
5	<400>72 gaatteggta ecctggeece agtagteeat ggeataagat etgtateete tageacaata	60
	gtacactgcg gtgtcctc	78
10	<210> 73 <211> 30 <212> ADN <213> Secuencia Artificial	
	<220> <223> Descripción de Secuencia Artificial: cebador P7988	
	<400> 73 gaattcgtgc actctcaggt gcagctggtc 30	
15	<210> 74 <211> 30 <212> ADN <213> Secuencia Artificial	
20	<220> <223> Descripción de Secuencia Artificial: cebador P7987	
	<400> 74 gaattcggta ccctggcccc agtagtccat 30	
25	<210> 75 <211> 65 <212> ADN <213> Secuencia Artificial	
	<220> <223> Descripción de Secuencia Artificial: cebador P7999	
	<400>75 gatccgccag gctgcacgag accgcctcct gactcgacca gctgaacctc agagtgcacg	60
30	aattc	65
	<210> 76 <211> 71 <212> ADN <213> Secuencia Artificial	
35	<220> <223> Descripción de Secuencia Artificial: cebador P8000	
	<400> 76 totogtgoag cotggoggat ogotgagatt gtootgtgot goatotggtt acgtottoac	60
40	agactatgga a	71
	<210> 77 <211> 71 <212> ADN <213> Secuencia Artificial	
45	<220> <223> Descripción de Secuencia Artificial: cebador P8001	
	<400>77 ccaacccatc catttcaggc cctttcccgg ggcctgctta acccaattca ttccatagtc	60
	tgtgaagacg t	71
50	<210> 78 <211> 55 <212> ADN	

	<213> Secuencia Artificial	
	<220> <223> Descripción de Secuencia Artificial: cebador P7997	
5	<400> 78 ggaggtatgc tgttgacttg gatgtgtcta gagagaacgt gaatctgccc ttgaa 55	
	<210> 79 <211> 62 <212> ADN <213> Secuencia Artificial	
10	<220> <223> Descripción de Secuencia Artificial: cebador P7998	
	<400>79 ccaagtcaac agcatacctc caaatgaata gcctgagagc agaggacacc gcagtgtact	60
	at	62
15	<210> 80 <211> 78 <212> ADN <213> Secuencia Artificial	
	<220> <223> Descripción de Secuencia Artificial: cebador P7993	
20	<400>80 gaatteggta ecetggeece agtagteeat ggeataagat etgtateete tageacaata	60
	gtacactgcg gtgtcctc	78
25	<210> 81 <211> 30 <212> ADN <213> Secuencia Artificial	
	<220> <223> Descripción de Secuencia Artificial: cebador P7996	
	<400> 81 gaattcgtgc actctgaggt tcagctggtc 30	
30	<210> 82 <211> 74 <212> ADN <213> Secuencia Artificial	
35	<220> <223> Descripción de Secuencia Artificial: 5' del cebador	
	<400>82 cgcgcggcaa ttgcagtggc cttggctggt ttcgctaccg tagcgcaagc tgacattcaa	60
	atgacccaga gccc	74
40	<210> 83 <211> 20 <212> ADN <213> Secuencia Artificial	
	<220> <223> Descripción de Secuencia Artificial: 3' del cebador	
45	<400> 83 ttcaactgct catcagatgg 20	
	<210> 84 <211> 78 <212> ADN <213> Secuencia Artificial	
50	<220>	

```
<223> Descripción de Secuencia Artificial: 5' del cebador
        <400> 84
                                                                                        60
         gctatcgcaa ttgcagtggc gctagctggt ttcgccaccg tggcgcaagc tgaggttcag
         ctggtcgagt caggaggc
                                                                                        78
        <210>85
 5
        <211> 18
        <212> ADN
        <213> Secuencia Artificial
        <220>
        <223> Descripción de Secuencia Artificial: 3' del cebador
10
        <400> 85
        gcctgagttc cacgacac
                                  18
        <210>86
        <211> 23
        <212> PRT
15
        <213> Secuencia Artificial
        <223> Descripción de Secuencia Artificial: región estructural L1 en consenso para grupo 1 humano
        <400> 86
         Asp Ile Gln Met Thr Gln Ser Pro Ser Ser Leu Ser Ala Ser Val Gly
                                                 10
         Asp Arg Val Thr Ile Thr Cys
                      20
20
        <210>87
        <211> 23
        <212> PRT
        <213> Secuencia Artificial
        <220>
25
        <223> Descripción de Secuencia Artificial: región estructural L1 para hTNF-40
        <400> 87
         Asp Ile Val Met Thr Gln Ser Gln Lys Phe Met Ser Thr Ser Val Gly
         Asp Arg Val Ser Val Thr Cys
                      20
        <210>88
        <211> 15
        <212> PRT
30
        <213> Secuencia Artificial
        <223> Descripción de Secuencia Artificial: región estructural L2 en consenso para grupo 1 humano
         Trp Tyr Gln Gln Lys Pro Gly Lys Ala Pro Lys Leu Leu Ile Tyr
35
                           5
        <210>89
        <211> 15
        <212> PRT
        <213> Secuencia Artificial
40
        <220>
        <223> Descripción de Secuencia Artificial: región estructural L2 para hTNF-40
        <400>89
         Trp Tyr Gln Gln Lys Pro Gly Gln Ser Pro Lys Ala Leu Ile Tyr
                                                                      15
                          5
                                                10
        <210>90
```

```
<211> 32
        <212> PRT
        <213> Secuencia Artificial
 5
        <223> Descripción de Secuencia Artificial: región estructural L3 en consenso para grupo 1 humano
        Gly Val Pro Ser Arg Phe Ser Gly Ser Gly Ser Gly Thr Asp Phe Thr
        Leu Thr Ile Ser Ser Leu Gln Pro Glu Asp Phe Ala Thr Tyr Tyr Cys
                                            25
        <210>91
        <211> 32
10
        <212> PRT
        <213> Secuencia Artificial
        <223> Descripción de Secuencia Artificial: región estructural L3 para hTNF-40
        <400> 91
        Gly Val Pro Tyr Arg Phe Thr Gly Ser Gly Ser Gly Thr Asp Phe Thr
        Leu Thr Ile Ser Thr Val Gln Ser Glu Asp Leu Ala Glu Tyr Phe Cys
15
                                           25
                     20
        <210>92
        <211> 11
        <212> PRT
        <213> Secuencia Artificial
20
        <220>
        <223> Descripción de Secuencia Artificial: región estructural L4 en consenso para grupo 1 humano
        <400> 92
        Phe Gly Gln Gly Thr Lys Val Glu Ile Lys Arg
                          5
        <210>93
25
        <211> 11
        <212> PRT
        <213> Secuencia Artificial
        <223> Descripción de Secuencia Artificial: región estructural L4 para hTNF-40
30
        <400> 93
        Phe Gly Ala Gly Thr Lys Leu Glu Leu Lys Arg
                          5
        <210> 94
        <211>30
        <212> PRT
35
        <213> Secuencia Artificial
        <223> Descripción de Secuencia Artificial: : región estructural H1 en consenso para grupo 1 humano
        <400> 94
        Gln Val Gln Leu Val Gln Ser Gly Ala Glu Val Lys Lys Pro Gly Ala
                          5
        Ser Val Lys Val Ser Cys Lys Ala Ser Gly Tyr Thr Phe Thr
                      20
                                           25
40
        <210>95
        <211> 30
        <212> PRT
        <213> Secuencia Artificial
```

```
<220>
        <223> Descripción de Secuencia Artificial: región estructural H1 para hTNF-40
        <400> 95
         Gln Ile Gln Leu Val Gln Ser Gly Pro Glu Leu Lys Lys Pro Gly Glu
                                                10
         Thr Val Lys Ile Ser Cys Lys Ala Ser Gly Tyr Val Phe Thr
                      20
                                           25
 5
        <210>96
        <211> 14
        <212> PRT
        <213> Secuencia Artificial
        <220>
10
        <223> Descripción de Secuencia Artificial: región estructural H2 en consenso para grupo 1 humano
        <400> 96
         Trp Val Arg Gln Ala Pro Gly Gln Gly Leu Glu Trp Met Gly
        <210>97
        <211> 14
        <212> PRT
15
        <213> Secuencia Artificial
        <223> Descripción de Secuencia Artificial: región estructural H2 para hTNF-40
        <400> 97
         Trp Val Lys Gln Ala Pro Gly Lys Ala Phe Lys Trp Met Gly
20
                          5
                                                1.0
        <210>98
        <211> 32
        <212> PRT
        <213> Secuencia Artificial
25
        <220>
        <223> Descripción de Secuencia Artificial: región estructural H3 en consenso para grupo 1 humano
        <400> 98
         Arg Val Thr Ile Thr Arg Asp Thr Ser Thr Ser Thr Ala Tyr Met Glu
                                                10
         Leu Ser Ser Leu Arg Ser Glu Asp Thr Ala Val Tyr Tyr Cys Ala Arg
                                            25
        <210>99
30
        <211> 32
        <212> PRT
        <213> Secuencia Artificial
        <223> Descripción de Secuencia Artificial: región estructural H3 para hTNF-40
        <400> 99
35
         Arg Phe Ala Phe Ser Leu Glu Thr Ser Ala Ser Thr Ala Phe Leu Gln
                          5
         Ile Asn Asn Leu Lys Asn Glu Asp Thr Ala Thr Tyr Phe Cys Ala Arg
                      20
                                            25
        <210> 100
        <211> 11
        <212> PRT
40
        <213> Secuencia Artificial
        <220>
        <223> Descripción de Secuencia Artificial: región estructural H4 en consenso para grupo 1 humano
        <400> 100
```

```
Trp Gly Gln Gly Thr Leu Val Thr Val Ser Ser
                          5
        <210> 101
        <211> 11
        <212> PRT
 5
        <213> Secuencia Artificial
        <223> Descripción de Secuencia Artificial: región estructural H4 para hTNF-40
        Trp Gly Gln Gly Thr Thr Leu Thr Val Ser Ser
        <210> 102
10
        <211> 324
        <212> ADN
        <213> Mus musculus
        <220>
15
        <221> CDS
        <222> (1)..(324)
        <223> dominio variable de la cadena ligera de hTNF40 en ratón
        <400> 102
          gac att gtg atg acc cag tct caa aaa ttc atg tcc aca tca gta gga
                                                                                         48
          Asp Ile Val Met Thr Gln Ser Gln Lys Phe Met Ser Thr Ser Val Gly
          gac agg gtc agc gtc acc tgc aag gcc agt cag aat gtg ggt act aat
                                                                                         96
          Asp Arg Val Ser Val Thr Cys Lys Ala Ser Gln Asn Val Gly Thr Asn
                                                                                        144
          gta gcc tgg tat caa cag aaa cca gga caa tct cct aaa gca ctg att
          Val Ala Trp Tyr Gln Gln Lys Pro Gly Gln Ser Pro Lys Ala Leu Ile
                   35
                                         40
          tac tcg gca tcc ttc cta tat agt gga gtc cct tat cgc ttc aca ggc Tyr Ser Ala Ser Phe Leu Tyr Ser Gly Val Pro Tyr Arg Phe Thr Gly
                                                                                        192
                                                                                        240
          agt gga tot ggg aca gat tto act oto acc atc agc act gtg cag tot
          Ser Gly Ser Gly Thr Asp Phe Thr Leu Thr Ile Ser Thr Val Gln Ser
          gaa gac ttg gca gag tat ttc tgt cag caa tat aac atc tat cct ctc
                                                                                        288
          Glu Asp Leu Ala Glu Tyr Phe Cys Gln Gln Tyr Asn Ile Tyr Pro Leu
          acg ttc ggt gct ggg acc aag ctg gag ctg aaa cgt
                                                                                        324
          Thr Phe Gly Ala Gly Thr Lys Leu Glu Leu Lys Arg
                       100
                                             105
        <210> 103
20
        <211> 108
        <212> PRT
        <213> Mus musculus
        <400> 103
```

	Asp 1	Ile	Val	Met	Thr 5	Gln	Ser	Gln	Lys	Phe 10	Met	Ser	Thr	Ser	Val 15	Gly		
	Asp	Arg	Val	Ser 20	Val	Thr	Cys	Lys	Ala 25	Ser	Gln	Asn	Val	Gly 30	Thr	Asn		
	Val	Ala	Trp 35	Tyr	Gln	Gln	Lys	Pro 40	Gly	Gln	Ser	Pro	Lys 45	Ala	Leu	Ile		
	Tyr	Ser 50	Ala	Ser	Phe	Leu	Tyr 55	Ser	Gly	Val	Pro	Tyr 60	Arg	Phe	Thr	Gly		
	Ser 65	Gly	Ser	Gly	Thr	Asp 70	Phe	Thr	Leu	Thr	Ile 75	Ser	Thr	Val	Gln	Ser 80		
	Glu	Asp	Leu	Ala	Glu 85	Tyr	Phe	Cys	Gln	Gln 90	Tyr	Asn	Ile	Tyr	Pro 95	Leu		
	Thr	Phe	Gly	Ala 100	Gly	Thr	Lys	Leu	Glu 105	Leu	Lys	Arg						
5	<211 <212)> 10 l> 35 2> AE 3> Mu	4)N	ieciil	i i e													
3	<220 <221 <222)> I> C[<u>?</u> > (1))S)(35	4)		de la	cade	ena p	esad	la de	hTN	F40 (en ra	tón				
10)> 10 atc		ttg	gtg	cag	tct	gga	cct	gag	ctg	aag	aag	cct	gga	gag	4 8	3
	Gln 1	Ile	Gln	Leu	Val 5	Gln	Ser	Gly	Pro	Glu 10	Leu	Lys	Lys	Pro	Gly 15	Glu		
	aca Thr	gtc Val	aag Lys	atc Ile 20	tcc Ser	tgc Cys	aag Lys	gct Ala	tct Ser 25	gga Gly	tat Tyr	gtt Val	ttc Phe	aca Thr 30	gac Asp	tat Tyr	96	5
						aag Lys											144	Ł
						tac Tyr											192	3
						ttc Phe 70											240)
	_	_				ctc Leu					_	_					288	3
						tcc Ser											336	5
		gtc Val		-													354	Ŀ
15	<211 <212)> 10 l> 11 2> PF 3> Mu	8 RT	uscul	us													
	<400)> 10	5															

```
Gln Ile Gln Leu Val Gln Ser Gly Pro Glu Leu Lys Lys Pro Gly Glu
        Thr Val Lys Ile Ser Cys Lys Ala Ser Gly Tyr Val Phe Thr Asp Tyr
        Gly Met Asn Trp Val Lys Gln Ala Pro Gly Lys Ala Phe Lys Trp Met
                                      40
        Gly Trp Ile Asn Thr Tyr Ile Gly Glu Pro Ile Tyr Val Asp Asp Phe
        Lys Gly Arg Phe Ala Phe Ser Leu Glu Thr Ser Ala Ser Thr Ala Phe
                             70
                                                  75
        Leu Gln Ile Asn Asn Leu Lys Asn Glu Asp Thr Ala Thr Tyr Phe Cys
        Ala Arg Gly Tyr Arg Ser Tyr Ala Met Asp Tyr Trp Gly Gln Gly Thr
                                          105
        Ser Val Thr Val Ser Ser
                115
        <210> 106
        <211> 84
        <212> ADN
5
        <213> Secuencia Artificial
        <223> Descripción de Secuencia Artificial: adaptador de oligonucleótido OmpA
        <220>
        <221> CDS
10
        <222> (29)..(67)
        <400> 106
        tcgagttcta gataacgagg cgtaaaaa atg aaa aag aca gct atc gca att
                                                                                    52
                                         Met Lys Lys Thr Ala Ile Ala Ile
        gca gtg gcc ttg gct ctgacgtacg agtcagg
                                                                                    84
        Ala Val Ala Leu Ala
            10
        <210> 107
        <211> 13
        <212> PRT
15
        <213> Secuencia Artificial
        <220>
        <223> Constructo Sintético
        <400> 107
        Met Lys Lys Thr Ala Ile Ala Ile Ala Val Ala Leu Ala
20
                         5
        <210> 108
        <211> 67
        <212> ADN
        <213> Secuencia Artificial
25
        <223> Descripción de Secuencia Artificial: cassette-1 de IGS
        <221> CDS
        <222> (2)..(40)
```

```
<220>
        <221> CDS
        <222> (43)..(66)
        <400> 108
        g agc tca cca gta aca aaa agt ttt aat aga gga gag tgt ta atg aag
                                                                                     48
          Ser Ser Pro Val Thr Lys Ser Phe Asn Arg Gly Glu Cys
                                                                     Met Lys
                           5
                                                10
        aag act gct ata gca att g
                                                                                     67
        Lys Thr Ala Ile Ala Ile
5
                         20
        <210> 109
        <211> 13
        <212> PRT
        <213> Secuencia Artificial
10
        <220>
        <223> Constructo Sintético
        <400> 109
        Ser Ser Pro Val Thr Lys Ser Phe Asn Arg Gly Glu Cys
                                              10
        <210> 110
15
        <211>8
        <212> PRT
        <213> Secuencia Artificial
        <223> Constructo Sintético
20
        <400> 110
        Met Lys Lys Thr Ala Ile Ala Ile
                         5
        <210> 111
        <211>69
        <212> ADN
25
        <213> Secuencia Artificial
        <223> Descripción de Secuencia Artificial: cassette-2 de IGS
        <221> CDS
        <222> (2)..(43)
30
        <220>
        <221> CDS
        <222> (45)..(68)
        <400> 111
                                                                                     47
        g agc tca cca gta aca aaa agt ttt aat aga ggg gag tgt taa a atg
          Ser Ser Pro Val Thr Lys Ser Phe Asn Arg Gly Glu Cys
                                                                        Met
                           5
                                                 10
                                                                                     69
        aag aag act gct ata gca att g
        Lys Lys Thr Ala Ile Ala Ile
35
                              20
        <210> 112
        <211> 13
        <212> PRT
        <213> Secuencia Artificial
        <220>
40
        <223> Constructo Sintético
        <400> 112
        Ser Ser Pro Val Thr Lys Ser Phe Asn Arg Gly Glu Cys
                         5
        <210> 113
45
        <211> 8
```

```
<212> PRT
        <213> Secuencia Artificial
        <220>
        <223> Constructo Sintético
5
        <400> 113
        Met Lys Lys Thr Ala Ile Ala Ile
        <210> 114
        <211> 81
        <212> ADN
10
        <213> Secuencia Artificial
        <223> Descripción de Secuencia Artificial: cassette-3 de IGS
        <220>
        <221> CDS
15
        <222> (2)..(43)
        <220>
        <221> CDS
        <222> (57)..(80)
        g agc tca cca gta aca aaa agc ttt aat aga gga gag tgt tga
                                                                                       43
           Ser Ser Pro Val Thr Lys Ser Phe Asn Arg Gly Glu Cys
                            5
        ggaggaaaaa aaa atg aag aaa act gct ata gca att g
                                                                                       81
                         Met Lys Lys Thr Ala Ile Ala Ile
20
                                                   2.0
                             15
        <210> 115
        <211> 13
        <212> PRT
        <213> Secuencia Artificial
25
        <220>
        <223> Constructo Sintético
        <400> 115
        Ser Ser Pro Val Thr Lys Ser Phe Asn Arg Gly Glu Cys
                          5
                                                10
        <210> 116
30
        <211> 8
        <212> PRT
        <213> Secuencia Artificial
        <220>
        <223> Constructo Sintético
        <400> 116
35
        Met Lys Lys Thr Ala Ile Ala Ile
        <210> 117
        <211>81
        <212> ADN
40
        <213> Secuencia Artificial
        <223> Descripción de Secuencia Artificial: cassette-4 de IGS
        <220>
        <221> CDS
45
        <222> (2)..(43)
        <220>
        <221> CDS
        <222> (57)..(80)
```

```
<400> 117
                                                                                       43
        g agc tca cca gta aca aaa agt ttt aat aga gga gag tgt tga
          Ser Ser Pro Val Thr Lys Ser Phe Asn Arg Gly Glu Cys
        cgaggattat ata atg aag aaa act gct ata gca att g
                                                                                       81
                        Met Lys Lys Thr Ala Ile Ala Ile
                             15
                                                   20
        <210> 118
        <211> 13
 5
        <212> PRT
        <213> Secuencia Artificial
        <220>
        <223> Constructo Sintético
        <400> 118
        Ser Ser Pro Val Thr Lys Ser Phe Asn Arg Gly Glu Cys
10
        <210> 119
        <211>8
        <212> PRT
        <213> Secuencia Artificial
15
        <220>
        <223> Constructo Sintético
        <400> 119
        Met Lys Lys Thr Ala Ile Ala Ile
        1
                          5
        <210> 120
20
        <211>30
        <212> PRT
        <213> Secuencia Artificial
        <223> Descripción de Secuencia Artificial: región estructural H1 en consenso con grupo 3 humano
25
        Glu Val Gln Leu Val Glu Ser Gly Gly Gly Leu Val Gln Pro Gly Gly
                                               10
        Ser Leu Arg Leu Ser Cys Ala Ala Ser Gly Phe Thr Phe Ser
        <210> 121
        <211> 14
        <212> PRT
30
        <213> Secuencia Artificial
        <223> Descripción de Secuencia Artificial: región estructural H2 en consenso con grupo 3 humano
        <400> 121
        Trp Val Arg Gln Ala Pro Gly Lys Gly Leu Glu Trp Val Ser
                                               10
        <210> 122
35
        <211> 32
        <212> PRT
        <213> Secuencia Artificial
40
        <223> Descripción de Secuencia Artificial: región estructural H3 en consenso con grupo 3 humano
        <400> 122
```

```
Arg Phe Thr Ile Ser Arg Asp Asn Ser Lys Asn Thr Leu Tyr Leu Gln
        Met Asn Ser Leu Arg Ala Glu Asp Thr Ala Val Tyr Tyr Cys Ala Arg
                                          25
        <210> 123
        <211> 11
        <212> PRT
 5
        <213> Secuencia Artificial
        <223> Descripción de Secuencia Artificial: región estructural H4 en consenso con grupo 3 humano
        Trp Gly Gln Gly Thr Leu Val Thr Val Ser Ser
                         5
10
        <210> 124
        <211> 648
        <212> ADN
        <213> Secuencia Artificial
        <220>
        <223> Cadena pesada injertada
15
        <400> 124
                                                                                   60
        gaggttcagc tggtcgagtc aggaggcggt ctcgtgcagc ctggcggatc actgagattg
        tcctgtgctg catctggtta cgtcttcaca gactatggaa tgaattgggt tagacaggcc
                                                                                  120
        ccgggaaagg gcctggaatg gatgggttgg attaatactt acattggaga gcctatttat
                                                                                  180
        gctgacagcg tcaagggcag attcacgttc tctctagaca catccaagtc aacagcatac
                                                                                  240
        ctccaaatga atagcctgag agcagaggac accgcagtgt actattgtgc tagaggatac
                                                                                  300
                                                                                  360
        agatettatg ccatggacta etggggecag ggtaccetag teacagtete etcagettee
        accaagggcc categgtett ecceetggca eccteeteca agageacete tgggggcaca
                                                                                  420
        gcggccctgg gctgcctggt caaggactac ttccccgaac cggtgacggt gtcgtggaac
                                                                                  480
        teaggegeee tgaceagegg egtgeacace tteeeggetg teetacagte eteaggacte
                                                                                  540
        tactccctca gcagcgtggt gaccgtgccc tccagcagct tgggcaccca gacctacatc
                                                                                  600
                                                                                  648
        tgcaacgtga atcacaagcc cagcaacacc aaggtcgaca agaaagtt
        <210> 125
        <211> 216
20
        <212> PRT
        <213> Secuencia Artificial
        <223> Cadena pesada injertada
        <400> 125
        Glu Val Gln Leu Val Glu Ser Gly Gly Gly Leu Val Gln Pro Gly Gly
25
                         5
                                              10
                                                                  15
```

Ser	Leu	Arg	Leu 20	Ser	Cys	Ala	Ala	Ser 25	Gly	Tyr	Val	Phe	Thr 30	Asp	Tyr
Gly	Met	Asn 35	Trp	Val	Arg	Gln	Ala 40	Pro	Gly	Lys	Gly	Leu 45	Glu	Trp	Met

Lys Gly Arg Phe Thr Phe Ser Leu Asp Thr Ser Lys Ser Thr Ala Tyr 65 70 75 80

Leu Gln Met Asn Ser Leu Arg Ala Glu Asp Thr Ala Val Tyr Tyr Cys \$85\$ 90 95

Ala Arg Gly Tyr Arg Ser Tyr Ala Met Asp Tyr Trp Gly Gln Gly Thr $100 \,$ $105 \,$ $110 \,$

Leu Val Thr Val Ser Ser Ala Ser Thr Lys Gly Pro Ser Val Phe Pro 115 120 125

Leu Ala Pro Ser Ser Lys Ser Thr Ser Gly Gly Thr Ala Ala Leu Gly 130 135 140

Ser Gly Ala Leu Thr Ser Gly Val His Thr Phe Pro Ala Val Leu Gln \$165\$ \$170\$ \$175\$

Ser Ser Gly Leu Tyr Ser Leu Ser Ser Val Val Thr Val Pro Ser Ser 180 \$185\$

Ser Leu Gly Thr Gln Thr Tyr Ile Cys Asn Val Asn His Lys Pro Ser 195 200 205

Asn Thr Lys Val Asp Lys Lys Val 210 215

<210> 126

<211> 642

<212> ADN

<213> Secuencia Artificial

<220>

5

<223> Cadena ligera injertada

<400> 126

gaca	ttca	aa t	gaco	caga	g cc	cato	cago	ctg	agcg	cat	ctgt	agga	ga	ccggg	tcacc	60
atca	cttg	ta a	agco	agto	a ga	acgt	aggt	act	aacg	tag	cctg	gtat	ca	gcaaa	aacca	120
ggta	aagc	cc c	caaaa	gccc	t ca	atcta	cagt	gcc	tctt	tcc	tcta	tagt	gg	tgtac	catac	180
aggt	tcag	cg g	gatco	ggta	g to	ggtac	tgat	tto	acco	tca	cgat	cagt	ag	cctcc	agcca	240
gaag	attt	cg o	ccact	tatt	a ct	gtca	acag	tat	aaca	tct	acco	acto	ac	attcg	gtcag	300
ggta	ctaa	ag t	agaa	atca	a ac	gtac	ggta	gcg	gccc	cat	ctgt	cttc	at	cttcc	cgcca	36
tctg	atga	gc a	agtto	jaaat	c tç	ggaac	etgee	tct	gttg	jtgt	gcct	gctg	Jaa	taact	tctat	42
ccca	gaga	gg (ccaaa	gtac	a gt	ggaa	aggtg	gat	aacc	ccc	tcca	atcg	199	taact	cccag	480
gaga	gtgt	ca d	cagag	cagg	a ca	agcaa	aggac	ago	acct	aca	gcct	cago	ag	cacco	tgacg	540
ctga	gcaa	ag d	cagac	tacg	a ga	aaaca	acaaa	gto	taco	cct	gcga	agto	ac	ccato	agggc	600
ctga	gctc	ac d	cagta	acaa	a aa	agctt	taat	aga	ıggaç	agt	gt					642
<210 <211 <212 <213	> PR	T	ıcia A	rtifici	al											
<220 <223		dena	a ligei	a inje	ertad	а										
<400			Met	Thr	Gln	Ser	Pro	Ser	Ser	Leu	Ser	Ala	Ser	Val	Gly	
1				5					10					15	-	
Asp	Arg `	Val	Thr 20	Ile	Thr	Cys	Lys	Ala 25	Ser	Gln	Asn	Val	Gly 30	Thr	Asn	
Val		Trp 35	Tyr	Gln	Gln	Lys	Pro 40	Gly	Lys	Ala	Pro	Lys 45	Ala	Leu	Ile	
	Ser . 50	Ala	Ser	Phe	Leu	Tyr 55	Ser	Gly	Val	Pro	Tyr 60	Arg	Phe	Ser	Gly	
Ser 65	Gly	Ser	Gly	Thr	Asp 70	Phe	Thr	Leu	Thr	Ile 75	Ser	Ser	Leu	Gln	Pro 80	
Glu	Asp	Phe	Ala	Thr 85	Tyr	Tyr	Cys	Gln	Gln 90	Tyr	Asn	Ile	Tyr	Pro 95	Leu	
Thr	Phe (Gly	Gln 100	Gly	Thr	Lys		Glu 105		Lys	Arg	Thr	Val	Ala	Ala	

Pro	Ser	Val 115	Phe	Ile	Phe	Pro	Pro 120	Ser	Asp	Glu	Gln	Leu 125	Lys	Ser	Gly		
Thr	Ala 130	Ser	Val	Val	Cys	Leu 135	Leu	Asn	Asn	Phe	Tyr 140	Pro	Arg	Glu	Ala		
Lys 145	Val	Gln	Trp	Lys	Val 150	Asp	Asn	Ala	Leu	Gln 155	Ser	Gly	Asn	Ser	Gln 160		
Glu	Ser	Val	Thr	Glu 165	Gln	Asp	Ser	Lys	Asp 170	Ser	Thr	Tyr	Ser	Leu 175	Ser		
Ser	Thr	Leu	Thr 180	Leu	Ser	Lys	Ala	Asp 185	Tyr	Glu	Lys	His	Lys 190	Val	Tyr		
Ala	Cys	Glu 195	Val	Thr	His	Gln	Gly 200	Leu	Ser	Ser	Pro	Val 205	Thr	Lys	Ser		
Phe	Asn 210	Arg	Gly	Glu	Cys												
<211 <212)> 12 > 68 2> AE	7 DN	ncia <i>F</i>	Artific	ial												
<220 <223	-	adena	a pes	ada i	injert	ada											
)> 12 aatt	-	taa	t.cga	atc	agga	aaca	at c	tcat	gcag	c ct	.aacc	gato	act	.gaga	tta	60
_		_		_					_						acag		120
	_	_				-		_			_			_	tatt	_	180
					_										agca		240
ct	ccaa	atga	ata	gcct	gag	agca	gagg	ac a	ccgc	agtg	t ac	tatt	gtgc	tag	agga	tac	300
									_						agct		360
ac	caag	ggcc	cat	cggt	ctt	cccc	 ctgg	ca c	cctc	ctcc	a ag	agca	cctc	tgg	gggc	aca	420
gc	ggcc	ctgg	gct	gcct	ggt	caag	gact	ac t	tccc	cgaa	.c cg	ıgtga	cggt	gto	gtgg	aac	480
															agga		540
ta	ctcc	ctca	gca	gcgt	ggt	gacc	gtgc	cc t	ccag	cago	t tg	ıggca	ссса	gac	ctac	atc	600
tg	caac	gtga	atc	acaa	gcc	cagc	aaca	cc a	aggt	cgac	a ag	aaag	ıttga	gcc	caaa	tct	660
tg	tgac	aaaa	ctc	acac	atg	cgcc	gcg										687
<211 <212)> 12 > 22 > PF }> Se	9 RT	ncia <i>F</i>	Artific	ial												
<220 <223	-	adena	a pes	ada i	injert	ada											
- 400			•		•												

Glu 1	Val	Gln	Leu	Val 5	Glu	Ser	Gly	Gly	Gly 10	Leu	Val	Gln	Pro	Gly 15	Gly
Ser	Leu	Arg	Leu 20	Ser	Cys	Ala	Ala	Ser 25	Gly	Tyr	Val	Phe	Thr 30	Asp	Tyr
Gly	Met	Asn 35	Trp	Val	Arg	Gln	Ala 40	Pro	Gly	Lys	Gly	Leu 45	Glu	Trp	Met
Gly	Trp 50	Ile	Asn	Thr	Tyr	Ile 55	Gly	Glu	Pro	Ile	Tyr 60	Ala	Asp	Ser	Val
Lys 65	Gly	Arg	Phe	Thr	Phe 70	Ser	Leu	Asp	Thr	Ser 75	Lys	Ser	Thr	Ala	Tyr 80
Leu	Gln	Met	Asn	Ser 85	Leu	Arg	Ala	Glu	Asp 90	Thr	Ala	Val	Tyr	Tyr 95	Cys
Ala	Arg	Gly	Tyr 100	Arg	Ser	Туг	Ala	Met 105	Asp	туг	Trp	Gly	Gln 110	Gly	Thr
Leu	Val	Thr 115	Val	Ser	Ser	Ala	Ser 120	Thr	Lys	Gly	Pro	Ser 125	Val	Phe	Pro
Leu	Ala 130	Pro	Ser	Ser	Lys	Ser 135	Thr	Ser	Gly	Gly	Thr 140	Ala	Ala	Leu	Gly
Cys 145	Leu	Val	Lys	Asp	Tyr 150	Phe	Pro	Glu	Pro	Val 155	Thr	Val	Ser	Trp	Asn 160
Ser	Gly	Ala	Leu	Thr 165	Ser	Gly	Val	His	Thr 170	Phe	Pro	Ala	Val	Leu 175	Gln
Ser	Ser	Gly	Leu 180	Tyr	Ser	Leu	Ser	Ser 185	Val	Val	Thr	Val	Pro 190	Ser	Ser
Ser	Leu	Gly	Thr	Gln	Thr	Tyr	Ile	Cys	Asn	Val	Asn	His	Lys	Pro	Ser
		195					200					205			
Asn	Thr 210	Lys	Val	Asp	Lys	Lys 215	Val	Glu	Pro	Lys	Ser 220	Cys	Asp	Lys	Thr
His 225	Thr	Cys	Ala	Ala											

REIVINDICACIONES

- 1. Una molécula de anticuerpo que tiene especificidad por el TNFα humano, que tiene una cadena ligera que tiene la secuencia dada en SEC ID NO:113 y una cadena pesada que tiene la secuencia dada en SEC ID NO:115 en donde una molécula efectora o reportera está unida al extremo C terminal de la cadena pesada.
- 5 2. La molécula de anticuerpo de la reivindicación 1, en donde la molécula efectora es una molécula de polímero.
 - 3. La molécula de anticuerpo de la reivindicación 2, en done la molécula de polímero es polímero polialquileno, polialquenileno o polioxialquileno de cadena lineal o ramificada o un polisacárido ramificado o sin ramificar.
 - 4. La molécula de anticuerpo de la reivindicación 3, en donde la molécula de polímero es poli(etilenglicol), poli(propilenglicol) o poli(alcohol vinílico) de cadena lineal o ramificada.
- La molécula de anticuerpo de la reivindicación 4, en donde la molécula de polímero es un poli(etilenglicol) sustituido.
 - 6. La molécula de anticuerpo de la reivindicación 5, en donde el poli(etilenglicol) sustituido es metoxipoli(etilenglicol).
 - 7. La molécula de anticuerpo de una cualquiera de las reivindicaciones 2 a 6, en donde el polímero tiene un peso molecular promedio en el intervalo de 500 Da a 50.000 Da.
- 15 8. La molécula de anticuerpo de la reivindicación 7, en donde el polímero tiene un peso molecular promedio en el intervalo de 25.000 Da a 40.000 Da.

20

25

- 9. La molécula de anticuerpo de la reivindicación 1, en donde un grupo maleimida está unido covalentemente a un solo grupo tiol en la región de bisagra modificada.
- 10. La molécula de anticuerpo de la reivindicación 9, en donde una lisina está unida covalentemente al grupo maleimida.
 - 11. La molécula de anticuerpo de la reivindicación 10, en donde un polímero metoxipoli(etilenglicol) que tiene un peso molecular de aproximadamente 20.000 Da está unido a cada uno de los grupos amino de la lisina.
 - 12. La molécula de anticuerpo de unacualquiera de las reivindicaciones 1 a 11, que tiene especificidad por el TNF α humano, para uso en el tratamiento de un trastorno inmune o inmunorregulador agudo o crónico, una infección, una enfermedad neurodegenerativa o una enfermedad maligna.
 - 13. La molécula de anticuerpo o compuesto para uso según la reivindicación 12, en donde el trastorno inmune o inmunorregulador agudo o crónico , es un trastorno inflamatorio o autoinmune.
 - 14. La molécula de anticuerpo o compuesto para uso según la reivindicación 13, en donde el trastorno inmune o inmunorregulador agudo o crónico es artritis, osteoartritis, enfermedad de Crohn o psoriasis.

FIG. 1

COMPARACIONES DE REGIONES ESTRUCTURALES DE CADENA LIGERA DE ANTICUERPO htmf40 Y SECUENCIAS CONSENSO HUMANAS DEL GRUPO 1

consenso Hu grupo 1 : DIOMTQSPSSLSASVGDRVTITC (SEC | D NO: 83)

htnf40 : DIVMTQSQKFMSTSVGDRVSVTC (SECID NO: 84)

consenso Hu grupo 1 : WYQQKPGKAPKLLIY (SEC (D NO: 85)

htnf40 : WYQQKPGQSPKALIY (SECID NO: 85)

Consenso Hu grupo 1 : GVPSRPSGSGSGTDFTLTISSLQPEDFATYYC (sec (D NO; 87)

htnf40 : Gypyrfigsgsgtdftltistyosedlaeyfc (sechd No. 88)

consenso Hu grupo 1 : FGQGTKVEIKR (SEC 10 NO: 89)

htnp40 : PGAGTKLELKR (SEC ID NO: 90)

FIG. 3 Secuencia de CDR de hTNF40

HI DYGMN (SEC ID NO:1)

H2 WINTYIGEPIYVDDFKG (SEC ID NO:7)

H2'WINTYIGEPIYADSYKG (SEC ID NO:2)

H3 GYRSYAMDY (SEC ID NO:3)

L1 KASONVGTNVA (SEC ID NO:4)

L2 SASFLYS (SEC ID NO:5)

L3 QQYNIYPLT (SEC ID NO:6)

FIG. 2

Comparaciones de regiones estructurales de cadena pesada del anticuerpo hTNF40 y secuencias consenso humanas del grupo 1 y del grupo 3

consenso Hu grupo 1

: QVQLWQSGAEVKKPGASVKVSCKASGYTFT (SEC ID NO: 91)

hTNF40

: OIOLVOSGPELKKPGETVKISCKASGYYFT (SECID NO: 82)

consenso Hu grupo 1

: WVROAPGOGLEMES (SEC ID NO: 93)

hTNP40

: WVKOAPGKAFKWAG (SEC ID NO: 94)

consenso Hu grupo 1

: RVTITXDTSTSTAYMKLSSLRSEDTAVYYCAR (SEC ID NO: 95)

hTMP40

: RFAFSLETSASTAFLOUNNLKNEDTATYFCAR (SEC ID NO: 96)

consenso Hu grupo 1

: WGQGTLVTVSS (SEC ID NO: 97)

HTNF40

: WGQGTTL/IVSS (SEC ID NO: 98)

consenso Hu grupo 3

: EVQLVESGGGLVQRGGSLRLSCAASGFTFS (SEC ID NO: 106)

hTNF40

: OTOLVOSGPELKKPGETVKISCKASGYVFT (SEC ID NO: 92)

consenso Hu grupo 3

: WVRQAPGKGLEWVS (SEC ID NO: 107)

hTNF40

: WVKOAPGKAFKWAG (SEC ID NO: 94)

consenso Hu grupo 3

: RFTISRDNSKNTLYLOMNSLRAEDTAVYYCAR (SEC ID NO: 108)

htNF40

:RFAFSLETSASTAFLOINNLKNEDTATYFCAR (SEC ID NO: 96)

consenso Hu grupo 3

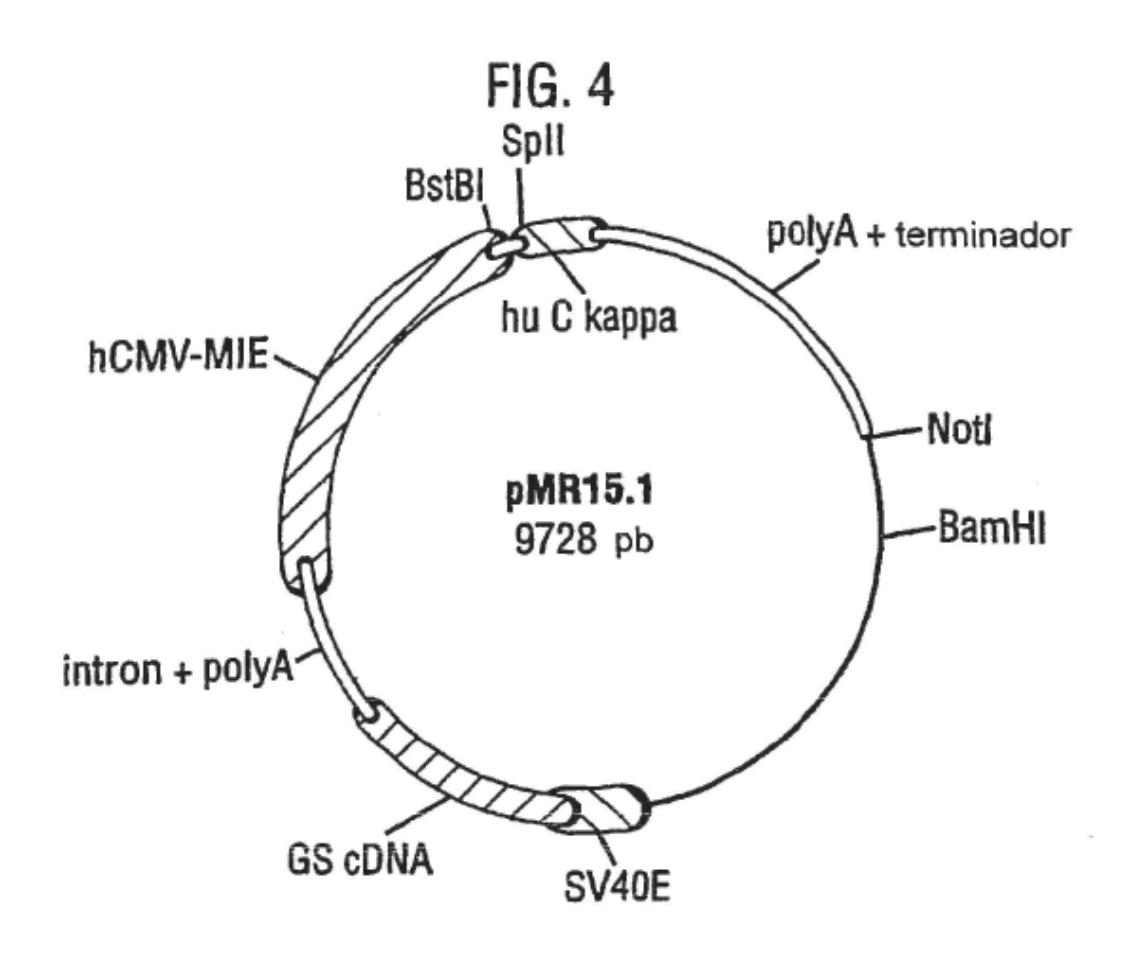
: WGOGTLVTVSS

(SEC ID NO: 109)

brie 40

: WGQGTTLTVSS

(SEC ID NO: 98)



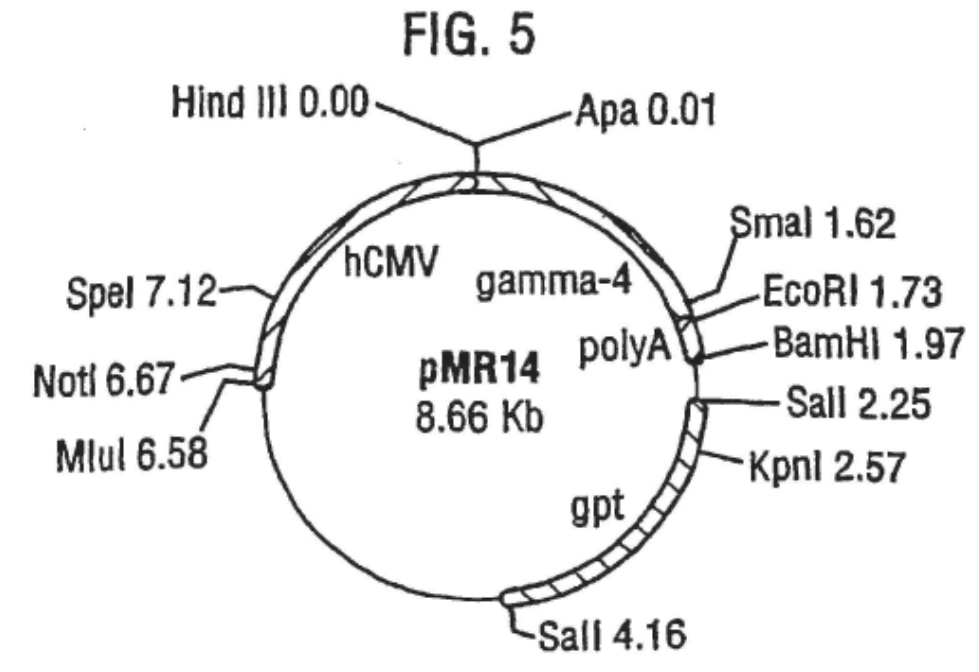


FIG. 6 Secuencia Murina VI de hTNF40 (SEC ID NO: 99)

35 V	TAT ATA	og Gra	7 5 t	9963	2 2 2
05 g a	TGG ACC	160 TTC CTA AAG GAT F LS	AAG	360	320 AAA TTT
6 00 0	000 000 000 000 000	2 5 8 8 8	CTA C	15 o	E SEC 13
CAT >	Grap >	\$ 55 ×	ACA TOT	260 TTC	2 C 2
O TEX	AAT TTA	150 703 8	සු වූ ප	"TATA Y	CTO CTO
255 -	TO T	TAC ATG	TCT AGA	CTC M	C ANG CT G TTC GA
70C 80G	S P S S	TAA TAA	૦ ધું છું	2 g g 4	ACC
TAC	SPS >	CTG	AGT TCA	250 TTG GC	999 000 000
NAG WAG	ATT	_ \$ 8 <	3 8 8 9	9 8 0	300 A 400 A
AN TEL	8 0 0 0 0 0 0 0 0	A TT	TC ACA GG	5 T =	త్త్ రై ల
260	AGT TCA	2 5 5 A	NAG ~	PCT PCT B	ANG P
20 TO 80	ÿ 8 <	TCT CC	8 8 8	8 6 0	ACG TGC
350	ANG TTC	A TE O	180 TAT ATA	£ 5 >	. 5 8 7
700	760 P	త్త్రి ద్ర్ ల	£ 8 ∞	ACT TGA	£ 8 €
10 ATG	166	120 661 70	5 5 5 ×	9 5 v	280 ATC TAT TAG ATA
_ 5 5 >	S 55 >	A EE ×	170 000 CCT	ATC	ATC
TINA TINA	8 100 100 100	S S O	φ 5 α	20 A	TITE
CTG	55 56 5	CAA	TAT ATA Y	CTC ACC	TAT

	5 G 5	¥ CC	TAC ATO	PARC PA	D 50 50	200 €	
6	150 P	ATT	ACC TO	P SS IN	S C M	320 TAC ATG	
. 10	S S M	ATG TAC	N. N.	ANG PAG	TEN H	_ 3g_a	
2	9000	o CC S	ATAT TAT	200	ANA TIT	ATAC	
	OCT OCT	TAT ATA	150 100 100	EN N	_ 55 g '3	0 0 0 K	
FIG. 7 Secuencia Murina Vh de hTNF40 (SEC ID NO: 100)	A SEX	950	989	S CO	MAC	TAT OR	
40	A DEL	8 A 15 to	ATG TAC	" KH	AAC TTG	NG B	
TN	2 2 3	NAG P	ACC NO.	A X	ZSO G ANC AN C TAG TT	800 ≈	
deh	C. T.C. III	£8>	M SE	o # 2 *	550	300 TAC ATG	550
Š	5 8 a	80 TATA XEA	ANG	35"	AAC	క్టర్ల కా	350 TCT NGA
rina	5 55 0	9000	MG GCT	CITA	240 240	AGE ×	£ 5 >
Σ	5 1 5 m	AGA B	2 E -	£ § >	S 8 <	× 8 8 8	100
ncia	380	5 8 8 ×	9890	180 TAT ATA	TON T	P S	340 T CNG
cne	S 5 >	L BAT	50 60 a	ATA TAT 1	230 700 8	DAM W	5 2 0
Se	TTG	100 p	A COST	5 g a	888	280 A TAT FF ATA	190
7	2860	NOG B	9 6 0	CAC CAC	75 A	3 5 5	6 55 0
윤	TONG	ATIC TAG	SE ×	3 5 0	220 NA ACC TT TOG	5 g <	SEE O
	S C C	ANG	STO CAC	TAA I	C. P.	TOC	880

FIG. 8 Secuencia Injertada VI de hTNF40 (SEC ID NO: 8)

జ్ స్ట్రో	TAT ATA	E G G G	5 5 4	5 8 8 V	
CTO CTO	TGG ACC	160 CT TTC CTC GA. AAG GAG B F Lo	NAG	85 60	320 ANA TTT K>
త్త్ ప్ర	0 0 0 0 0 0 0 0 0 0 0 0 0 0 0 0 0 0 0	TCT Aga	CTA CTA D	10 July 10	ATC TAG
CAT >	100 NG GTA GO NG CAT CO	00 gg	ACT TGA	ZAC ZAC ATG	GAA CTC
TCT AGA	AAC	150 AGT TCA	క్ట్రా ల	ATA X	OFF.
\$ 55 K	TGA F	TAC	200 AGT TCA	ACT TGA	310 T ANA GEN IN TIT CAN
Mac Too	8 6 2 9	ATC TAG	్ క్రై రై ల	္က ဗို ဗို ဇ	ACT TGA
GE CE	4 G 47 >	CTC CTC	Agg 8	TTC GO A AAG CGA	క్ట్ ట్రే ల
8 75 a	TTG	ပ္ထိ ဗ္ဗိ 🛪	දේ සි	550	CP CP O
700 860 8	8 g g	AFE R	190 TC AGC GG AG TCG CC	GET W	చ్చ్ క్రి
5 g g	కైర్లో బ	000 000 000 000 000 000 000 000 000 00	HA	240 040 700 700 700 700 700 700 700 700 7	AAG
5 55 a	8 8 €	130 AA GCC CC TT CGG GG K A P	A66 700 ≈	8 g a	290 161
55 a	AAA TTT	AT.	180 TAC ATG	CTC CTC	_ 55 gg 1
5 5 F	A S C	ర్జ్ బ్రీ ల	55 g a	230 700 100 100 100	5 6 C
10 ATG	ACT TGB	120 000 000 000	4 PP >	AGT 8	TAC
2£ 0	ATC	AAA	0.00 pp	TAG	280 C ATC TA
TA TA	130 F	350	TO S	20 ACG TGC	TTO
GAC CTG	GTC CAG	CAG GTC	TAT ATA Y	220 CTC ACK GAG TGK	TAT

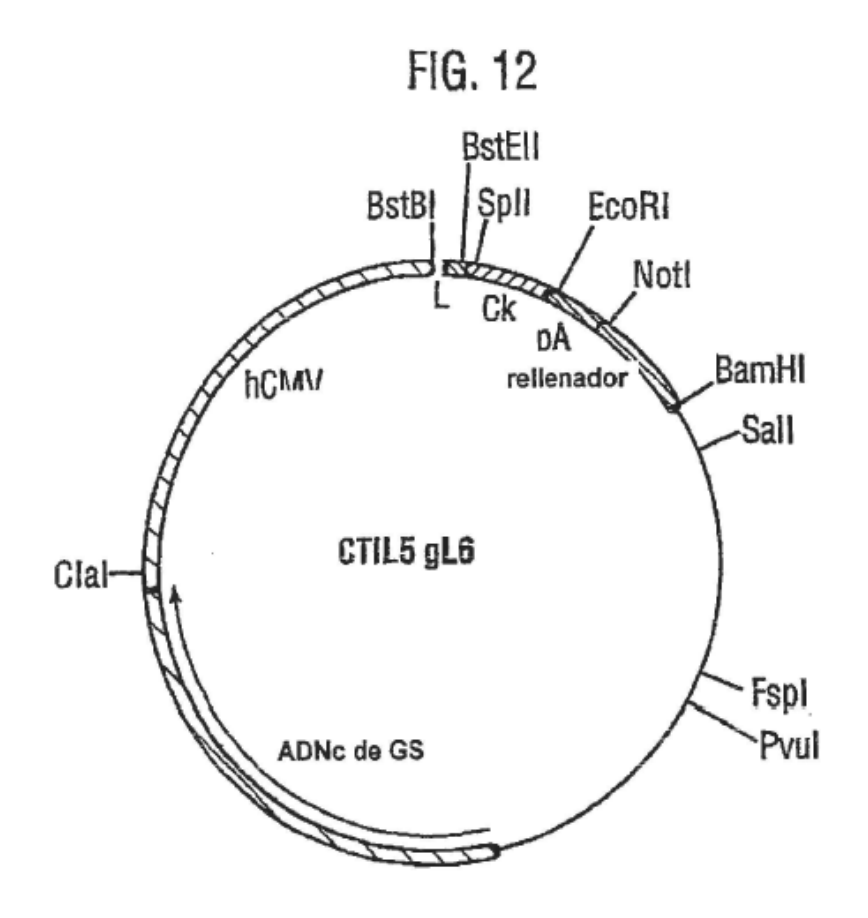
FIG. 9 Secuencia Injertada VI de hTNF40 (SEC ID NO: 9)

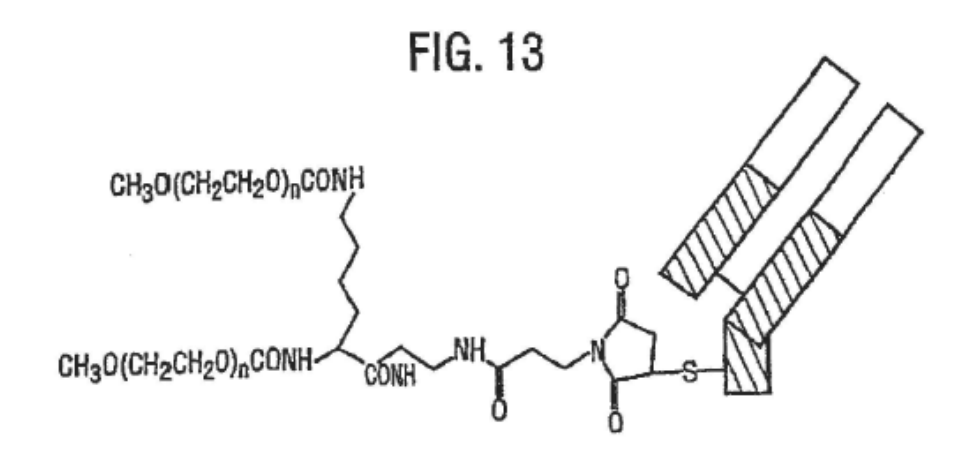
	8 8 %	ATA Y	5 8 4	350	975 975 9	
20	o Geo	TOG	160 TTC CTC AAG GAG F L>	AAG	ST 0	320 ANA TIT
	o CCI	0 00 e	AGA B	CTA CTA D	TGT U	AIC TAG
	cat cat	GIA G	S S ≪	TO TO	Z60 TAC ATG	A CT a
0	P. AGA	AAC TTG	S TCA	క్ర్టర్లో ల	A A A	CATA >
4	5 6 €	TGA TGA	TAC	S AGE	TO TO	AAA GI
	Ago Tog	ទី មី ម៉ូ ១	ATC TAG	్లక్ట్ టై ల	000 e	ACT TGA
	CTG CAG	4 P.	140 CIC GAG	AGG B	TTC GC	క్ట్ ర్లో ల
30	70g	AAC TTG	_ 515 548 1	රී දුරු දුරු දැ	CIPA C	300 CNG GTC
	700 8	8 B C C	AM TIT	150 150 170 170 180 180 180 180 180 180 180 180 180 18	E G	కై రై ల
	5 6 v	P S	0 0 pp 4	AAG A	240 GGT P	TTC AAG
20	5 5 8	ಬ್ಬಿ ಕ್ಷ	130 NA GCC CCI IT CGG GG	AGG TCC	5 6 0	ACA TGT
	SE C	of AFF ×	AE X	180 TAC ATG	CTC GAG	CTC CTC
	13G	15 A	9 00	55 P	AGC TCG	ర్టే క్లే 🗻
07	TAC	TGA T	222 664 664	GIA V	75 P. S.	280 C TAC G ATG
	ar o	ATC TAG	AT: ×	CCA CCA	TAG	ATC TAG
	TAS I	766 166	360	S TCA	ACG TGC	AAC TTG
	CAC DIO	GTC CAG	CAG GTC	TAT ATA Y	220 CTC AC GAG TG	TAT ATA Y

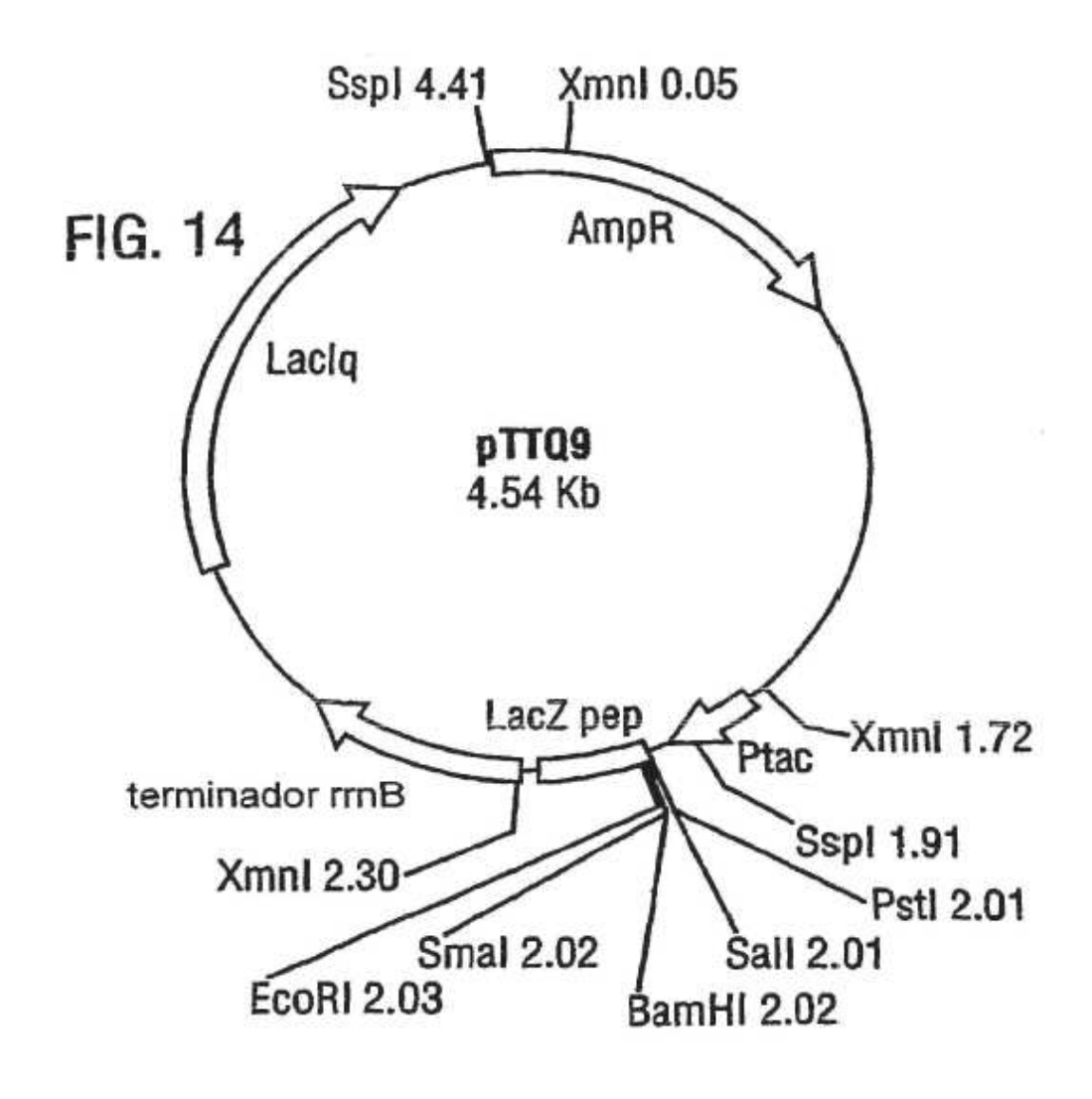
6	555	A CC	NATO ANTO	553	970 CTG 0570	300	
FIG. 10 Secuencia injertada Vh de hTNF40 (SEC ID NO: 10)	NGC NGC	TATE IN	ក្នុង្គី ម	P. P.	S C M	320 TAC ATG	
Z	544	100 F ATA	A E	220	300 a	25 D	
2	AND AND CET GOT O	7 5 5 B	TA H	TOC P	3 1 E	TAC	
(S	10 S	PATA ATA	# AGG #	< 5.00 >	E 5 -	88.	
JF 40	N DIT	CTC	\$ 500	AGA TOT	NO.	ATAT CA	
hTA	2 SEX	SPE	ATC TAC	2000	CTV TCN GAC AGT L 8	1 1 1 m	
de	CTC CAN	DAK .	140 300	250	253	2 5 ×	
2	S. S.	G CAC	35 4	AMS TITE TITE ANG	CIVE N	300 770 A772	556
tada	200 4	TAC	COM	HEL	TAC	8 tj 5	STC TCC CNG AGG
injer	8 50	988	25.00	350	ATA X	A TOT K	, F 8 >
cia	ត្ត ថ្មី ៤	ST FO	583	58	86<	230 A	OTC ACA
nen	20 GNG GNG V Q	70 CBC K	0 88	SEE AL	PA PER IN	្តមិស្តិ	340 F CNG
Sec	2 5 g >	A DE	88 ~	E SH	102	ATA	CTA
0	200	E S u	120 000 000 000	5 g a	SE H	280 GTG TAC CAC ATG	200 6
S	380	5 5 m	200	5 8 m	NAGA BA	4 8 9 5	E 0 0
兰	5 gg >	3 E & >	2 5 ≈	200	220 IC ACC 12 TOG	884	2000
	2000	3E×	0110 0000 >	EN "	GANC ACC CITG TOG T	JOE P	5 S 5

-
-
-
Ċ
Š.
_
(SEC ID N
_
C
ш
S
$\overline{}$
4
TNF40
4
4
\leq
7
-
de
_
>
TO
rtada
g
3
injer
.=
ര
cia
9
3
Secue
S
_
_
٠.
- 1
<u>.</u>
T

E 5 3	3 × 50 €	OR A	£ £ 3	2 9 G a	₹ 8 3	
NGT B	ATT N	ACT TAC TGA ATG	TCT NGA B	25 H	320 ZAC ATG	
500	23 =	TTA	TIC	\$ 55 ×	ຶ ຊີຽ ລ	
ဗ္ဗ ဗ္ဗ ဗ	004 A	ANT H	TOG I	260 703 703	ATO	
0 0 0 0 0 0 0 0 0 0 0 0 0 0 0 0 0 0 0	AN X	150 700	ANG		2008.<	
380	5000	9 8 9	200 GGC AGA CCG TCT G R	20 a	TAT GC	
B 5 >	355	ATG TAC	9800	OKH	64-	
5 g 4	ANG	ACC MCC	AND TTC	ATG TAC	AGA TOT	
G CC B	OTC CAG	3 E =	5 P 8 >	APP o	300 TAC ATG	56.8
8 8 0	NATE A	CTG	TCG G	5 8 3	860	350 1700 8
త్త క్రి	p S o	္အစ္က စ္ဟ စ	O CTO	TAC ATG	A TO	_ 55 S
5 p g a	P S B	130 IN ANG 06 IT ITC CO	S CC	\$ \$ <	290	A PE P
GAG CTC	000	3 5 0	TAT ATA	P TGT	ည် g ပ	CIA OTC AC
5 5 ×	5 g <	0 00 A	EN H	ANG TCA TTC AGT X 8	ATA	E E E
CAG CTG GTC GAC Q L	F 20	120 000 000	i ge		ATAC *	TO E
_ 85 ° °	Naga Saga	3500	CTC CTC	NOG 8	4 6 8 g	500
4 g s	ANC J	A TO	880	A TOT	\$ t5 <	230
GANG	AGA TCT	011 40 >	ATT TAA I	CAC AC	TOG	8 8 9







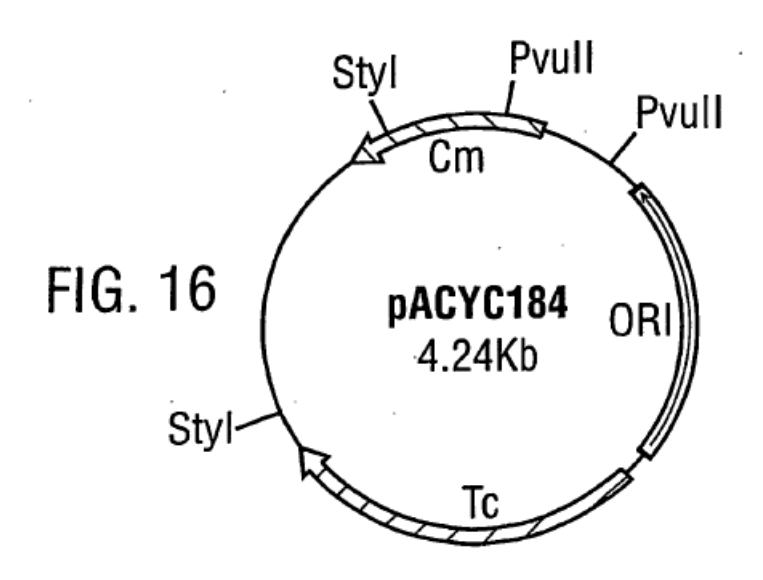
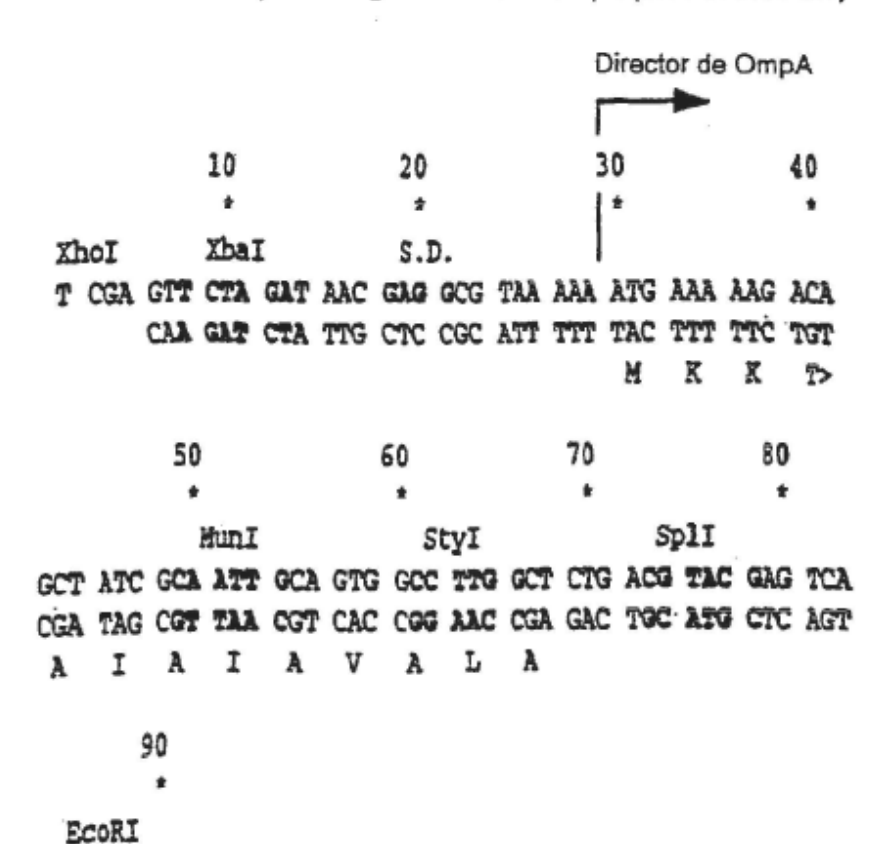


FIG. 15
Secuencia del adaptador oligonucleotídico OmpA (SEC ID NO: 101)



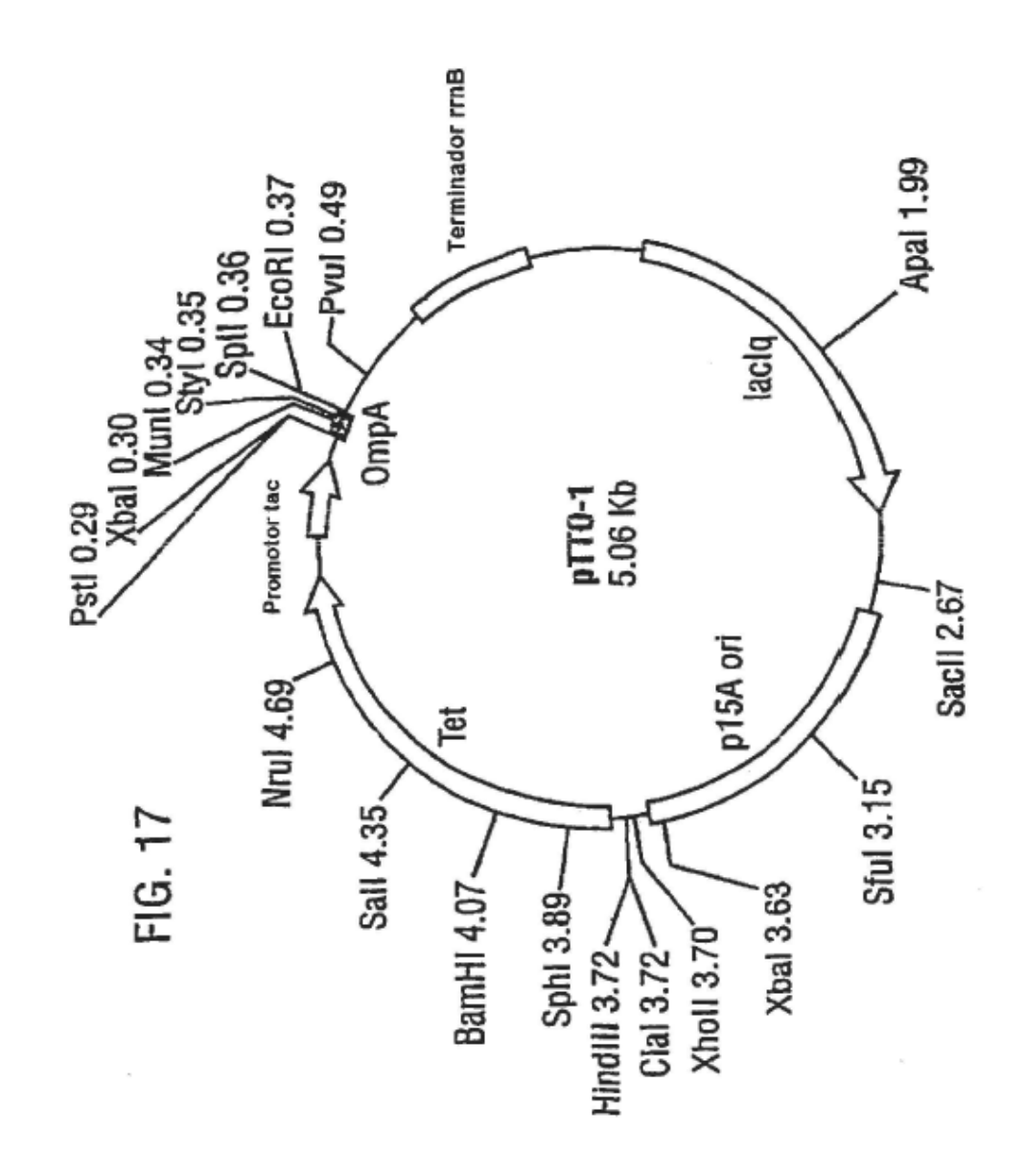
GG

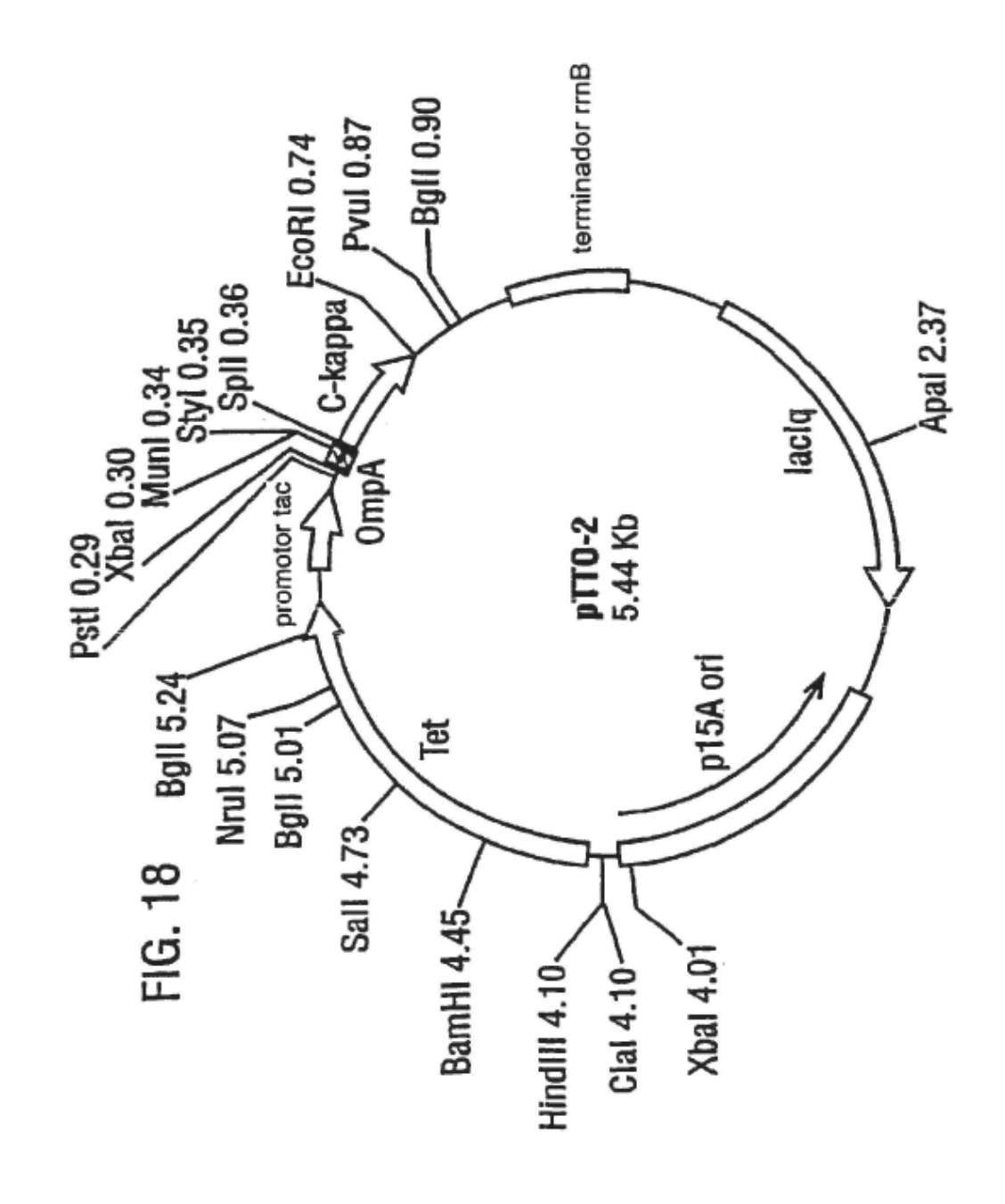
CCT TAA

⁻ Los sitios de restricción internos se muestran en negrita

⁻ Los extremos cohesivos 5'Xhol se unen al sitio Sall del vector, bloqueándolo

⁻ S.D. representa la secuencia de Shine Dalgamo OmpA





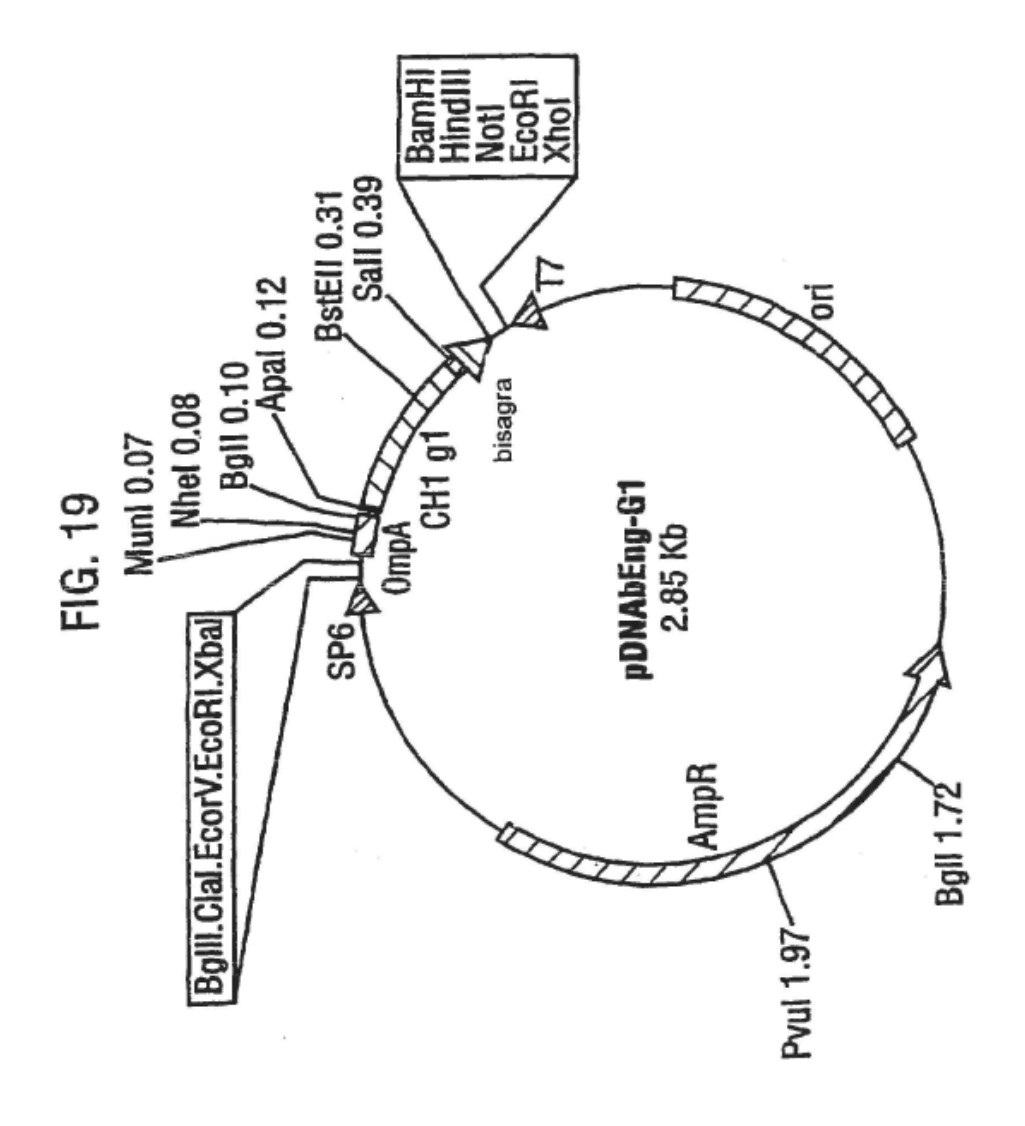


FIG. 20 CASSETTES DE OLIGONUCLEÓTIDOS QUE CODIFICAN DIFERENTES SECUENCIAS INTERGÉNICAS PARA LA EXPRESIÓN DE FAID' EN E. COI

E S								G, ACC, TCA, CCA, GTA, ACA, AAA, AGC, TTT, AAT, ACA, GGA, GAG, TGT, TGA GGAGGAAAAANAATG, AAG, AAA, ACT, GCT, ATA, GCA, ATT, G (SED)			G, AGC, TCA, CCA, GIA, ACA, AAA, AGI, TII, AAI, AGA, GGA, GAG, TGI, TGA CGAGGAITAIANANG, AAG, AAA, ACI, GCI, AIA, GCA, AII, G (SEO	
ē.					(B)			ā			õ	
DE Fa		Ø			Š.			AIT.	H		AT	I
NO.		9			8			5	~		8	~
PRES					53			ATA,	H		ATA	I
Enter Caroline de Control de Control de Control de Caroline de La Caroline de		و			G, AGC, TCA, CCA, GTA, ACA, AAA, AGT, TTT, AAT, AGA, GGG, GAG, TGT, TAA AATG, AAG, AA	н		13	KKTAIAI		CL	N K K T A I A I
§		ATT,	\bowtie		Š	~		CI,	₽-		Ę,	2-4
SAS		Ş	I V		13,	KKTAIA		SA.	M		SA.	×
GEN		ATA,	₩ ^		C,	×		MG, J	M		,9g	×
<u> </u>		EG.	A Adm		CT, G	M		IG.	×		16,	×
SAS		CI,	* N K K T A		AG, A	M		A.			MIN	
Ž.		MG,	N Necuel		AG, A	×		MAN			TTAT	
200		196,7	⊼ Se is		Ž	×		AGG.			AGG	
		2	ZZ OSPI		3	~		98			gı	
		E.	*		AT.	*		, TG	+		1	÷
Ę		E	ပ		15	٦		5	ပ		13	O.
Ě		GE	ы		3	243		GMC	pq		95	94
3		8	B.		8	ڧ	4.7	ই	5		8	Ö
, i	1	AG.	res	7	2	N R G. E C	= +13	P.	SFNRGE	7	AGA	×
<u> </u>		AAT,	Z		AAT,	Z		MI	×	8	AAT	×
		Ë	Pag	Jé nic	Ě	[ing	rgénik	É	Page 1	ngen	E	De.
	in the state of th	15	S	interc	757	K S F	o inte	AGC,	S	in te	AGT,	S
	Copper medianic	\$	≈ °	Espacio intergénico	A.A.	×	Espacio intergénico	A.A.	×	Espacio intergênico 🗷 +13	MA.	×
-	ĵ	5	S S P V T Final de la secuencia c-kappa	ដ្ឋា	3	ž-i	ш	Š	₽	w	Š	н
		TA,	> #		TA,	>	1	STA,	>		STA	>
΄,	1	a, S	a cneu	7	5	4	- 1	ğ	04	7	X	P4
ני ני ני	3	S, C.	5 B	CASSETTE IGS-2	5	ęs.	CASSETTE IGS-3	Ę.	S	CASSETTE IGS-4	5	S
		C, TC	. E	E	X,1	s	E	Ω,1	S	SET	C, 1	20
	-001 11 100-1	G, AGC, ICA, CCA, GIA, ACA, AAA, AGI, TII, AAI, A <u>GA, GG</u> A, GAG, TGI, IA <u>NIG</u> , AAG, AAG, ACI, GCI, AIA, GCA, AIII, G (SKO ID No: 102)	SE	CASS	G, AK	33	CASS	6,3		8	G, A	
	•											

